UNIVERSIDADE FEDERAL DO PARA CURSO DE PÓS-GRADUAÇÃO EM CIÊNCIAS GEOFÍSICAS E GEOLÓGICAS

EVOLUÇÃO GEOLÓGICA DA REGIÃO DE ARAGUACEMA - PEQUIZEIRO

GOIÁS - BRASIL

Tese Apresentada por

PAULO SÉRGIO DE SOUSA GORAYEB

como requisito parcial à obtenção do grau em

MESTRE EM CIÊNCIAS

Na área de

GEOLOGIA

Conferido pelo Programa de Pós-Graduação em Ciências Geofísicas e Geológicas da Universidade Federal do Pará

Aprovado: em 21 de dezembro de 1981

Ca Rde allace censes
CARLOS ALBERTO R. ALBUQUERQUE (ORIENTADOR)
YOCITERU HASOT AND WELLON HOUSE
ROBERTO DALL AGNOL
The state of the s

À Barbara e Julia, Olga Carmem e José Gorayeb

AGRADECIMENTOS

A realização deste trabalho foi possível graças a colaboração que deram de uma ou outra maneira, várias pessoas e instituições. A estas deixamos aqui os mais sinceros agradecimentos e, em especial:

Ao Núcleo de Ciências Geofísicas e Geológicas da Univers<u>i</u> dade Federal do Pará pelo apoio material e humano, garantindo a realização integral do trabalho.

Ao Conselho Nacional de Desenvolvimento Científico e Te<u>c</u>nológico (CNPq) e Financiadora de Estudos e Projetos (FINEP) que através do Projeto Faixa Orogênica forneceu o apoio financeiro p<u>a</u>ra a realização desta pesquisa.

Ao PRONUCLEAR pela concessão de bolsa de estudo no perío do da realização do trabalho.

À Prefeitura de Araguacema na pessoa do sr. Janari Cunha, que, com o empréstimo de viaturas e barcos à motor, facilitou a realização dos trabalhos de campo, deixando-nos à vontade na referida cidade.

Ao Professor Doutor Yociteru Hasui do Instituto de Pesqui sas Tecnológicas do Estado de São Paulo (IPT) que, em etapas di versas do desenvolvimento do trabalho, dedicou-nos especial atenção, visitando a área de trabalho, dando sugestões e levantando questionamentos que em muito contribuiram para as conclusões a qui apresentadas.

Ao Professor Doutor Gary Richard Lowell que orientou-nos nas etapas iniciais do trabalho, papel este posteriormente ass<u>u</u> mido pelo Professor Doutor Carlos Alberto Ribeiro de Albuquerque que em muito contribuiu com críticas e sugestões para os result<u>a</u> dos aqui apresentados.

Ao Professor Doutor Raimundo Netuno Nobre Villas, Coorde nador do Núcleo de Ciências Geofísicas e Geológicas pelo apoio e estímulo.

Ao Professor Doutor Roberto Dall'Agnol, Coordenador do Curso de Pós-Graduação do Núcleo de Ciências Geofísicas e Geol<u>ó</u> gicas pelas discussões a nível técnico-científico, sugestões e

pela confiança depositada no autor.

Ao colega João Batista Sena Costa, Coordenador do Projeto Faixa Orogênica Araguaia-Tocantins que acompanhou o trabalho des de as primeiras etapas. Suas discussões e críticas em muito auxiliaram para a melhor compreensão geológica da área.

Ao sr. Luis Marques de Aguiar, sr. João Coelho e família e aos demais moradores da região pela cordial hospitabilidade e amizade que sempre era-nos dedicada.

Aos alunos Claudio José dos Santos Moura, Michel Sauma Filho e Raul Meireles do Vale, do Curso de Graduação do Departa mento de Geologia da UFPa, pela colaboração durante os trabalhos de campo.

Aos colegas do curso de pósgraduação do Núcleo de Ciên cias Geofísicas e Geológicas e do Departamento de Geologia pelo clima amigável de trabalho e discussões levantadas ao longo do desenvolvimento do trabalho.

A estas e a muitas outras não diretamente envolvidas estendemos os nossos agradecimentos.

LISTA DE ILUSTRAÇÕES

		Pág
FIGUF	RAS	
1	Mapa de localização da área	7
2	Coluna estratigráfica da região de Araguacema-Pequ <u>i</u>	16
	zeiro.	
3	Fotografia. Concentrações de magnetita ocorrendo s <u>u</u>	22
	perficialmente, encontradas no domínio dos xistos e	
	filitos da Formação Pequizeiro. Estrada Goianorte -	
	Araguacema, Km 24.	
4	Fotografia. Aspecto mosqueado característico dos	22
	magnetita-moscovita filitos da Formação Pequizeiro,	
	dado pela presença de cristais de magnetita. Estra-	
	da Goianorte-Araguacema. PFO-G-35.	
5	Fotografia. Aspecto típico dos metamorfitos da Fo <u>r</u>	24
	mação Pequizeiro, formando resaltos topográficos.Ob	
	serva-se também a crenulação da xistosidade. Fazen-	
	da Areia, proximidade de Pequizeiro.	
6	Fotografia. Bandeamento quartzo-micaceo crenulado ,	24
	em quartzo-mica-xisto da Formação Pequizeiro. PFO -	
	G-100.	
7	Fotografia. Feições topográficas características dos	26
	terrenos ardosianos e filíticos da Formação Couto	
	Magalhães. Adjacências de Araguacema.	
8	Fotografia. Coloração típica de ardósias intemperi-	26
	zadas da Formação Couto Magalhães. Arredores de Ar <u>a</u>	
	guacema.	
9.	Fotomicrografia. Cristal de pirita cristalizado pr <u>e</u>	29
	cocemente ao metamorfismo regional (M $_1$) com $$ dese $\overline{ ext{n}}$	
	volvimento de sombras de pressão (preenchidas por	
	quartzol em F ₁ -M ₁ em ardósia da Formação Couto Ma <u>ga</u>	
	lhães. (PFO-G-118). NX.160X.	•
10	Fotomicrografia. Metagrauvaca da Formação Couto M <u>a</u>	29
	galhães. Vê-se grânulos clásticos de quartzo e pl <u>a</u>	
	gioclásio microfraturados (sub-grãos), elongados por	
	deformação em F ₁ . Observam-se também cristais de	
	moscovita em matriz foliada (clivagem ardosianal com	

- clorita, biotita e quartzo. (PFO-G-18).
- 11 Fotografia. Estratificação plano-paralela, inclinada 31 e suavemente ondulada, desenvolvida em metargilitos e metassiltitos intercalados da Formação Couto Magalhães. Note a laminação subparalela ã estratifica ção. Proximidade de Araguacema, margem do rio Araguaia.
- 12 Fotografia. Corpos serpentiníticos lentiformes (ao 34 fundo) formando serra alinhadas submeridianamente. Morros do Salto e Pau Ferrado.
- 13 Fotografia. Venulações irregulares de quartzo inte<u>r</u> 34 sectando silexito hematítico ("Stockwork"),tipicame<u>n</u> te desenvolvidos nas partes superiores dos corpos se<u>r</u> pentiníticos. Morro do Agostinho.
- 14 Fotomicrografia. Pseudomorfos de antigorita a partir 36 de olívina e piroxênio, acentuados por opacos (exsolução de óxidos de ferro) em serpentinitos. (PFO-G 661. NX,100X.
- 15 Fotomicrografia. Textura típica dos serpentinitos da 36 região, formada pelo intercrescimento de antigoritas fibrolamelares. (PFO-G-81). NX,100 X.
- 16 Fotografia. Aspecto anastomoseado da xistosidade, de 38 senvolvida ao longo de zonas de cizalhamento em ser pentinitos do maciço do Morro Grande.
- 17 Fotografia. Espelho e estrias de falha desenvolvidas 38 em serpentinitos do Morro Grande.
- 18 Fotomicrografia. Cristais "cumulus" hipidiomórficos 41 de olivina serpentinizada com "intercumulus" de clino piroxênio xenomórficos em hornblenda peridotito.

 (PFO-G-122). NX,100 X.
- 19 Fotomicrografia. Textura poiquilítica desenvolvida 41 em hornblenda peridotito, com grande cristal xenomór fico de augita envolvendo olivinas parcialmente ser pentinizadas. Observa-se também fraturamentos nos cristais. (PFO-G-27). NX, 40X.
- 20 Fotografia. Contato discordante entre mica xistos da 42

	,	
	Formação Pequizeiro e conglomerados da Formação Rio	
	das Barreiras. Rodovia GO-70 entre Pequizeiro e Co <u>u</u>	
	to Magalhães.	
21	Diagrama. Representação Polar das principais fe <u>i</u>	49
	ções estruturais do Grupo Tocantins.	
22	Fotografia. Clivagem de crenulação (S₃), resultante	52
	da intensa transposição da xistosidade (S ₁ l e do	
	bandeamento (A ₁) desenvolvida em quartzo-mica-xisto	
	da Formação Pequizeiro. Rodovia GO-70, próximo a N <u>o</u>	
	vo Plano.	
23	Fotografia. Clivagem de crenulação (S ₃) desenvolv <u>i</u>	53
	da em mica xisto (intemperizados) da Formação Pequ <u>i</u>	
	zeiro. Observa-se a ondulação da xistosidade devido	
	aos movimentos relativos ao longo dos planos de cr <u>e</u>	
	nulação. Rodovia GO-70 entre Pequizeiro e Couto M <u>a</u>	
	galhães.	
24	Fotografia. Dobras abertas da estratificação, dese <u>n</u>	55
	volvidas em metassiltitos e metargilitos intercal <u>a</u>	
	dos da Formação Couto Magalhães. Araguacema.	
25	Fotografia. Dobras "en chevron" desenvolvidas em	5 <i>7</i>
	metachert associado com rochas ultramáficas. Not <u>a</u>	
	se o mergulho subvertical de seus eixos. Morro do	
	Pau Ferrado.	
26	Fotografia. Dobras da xistosidade - bandeamento com	58
	ápices pouco espessados, desenvolvidas em F2, em	
	xistos (intemperizados) da Formação Pequizeiro. Ro	
	dovia GO-70 entre Pequizeiro e Couto Magalhães.	
27	Diagrama. Esquema evolutivo da deformação.	61
28	Metamorfitos do Grupo Tocantins (Tabela 1) projet <u>a</u>	66
	dos em diagramas ACF e A'KF.	
29	Rochas ultramáficas da tabela 2 projetadas em di <u>a</u>	. 70:
	gramas ACF e A'KF.	
30	Fotomicrografia. Porfiroblasto de biotita da segu <u>n</u>	75
	da fase do metamorfismo ($ exttt{M}_2$), cristalizado em $ exttt{F}_3$.	
	Vê-se a foliação S₃ truncando S₁. (PFO-G-101). ◯NX,	
	40X.	

Pág

- 31 Fotomicrografia. Porfiroblasto de biotita da segunda 77 fase do metamorfismo (M_2) , pós- F_3 . Nota-se as inclu sões de minerais da matriz definindo uma foliação (Si), paralela a S₃. (PFO-G-32). NX,40X.
- Fotomicrografia. Porfiroblasto mal formado de bioti- 78 ta da segunda fase do metamorfismo (M_2) , pós- F_3 . No tam-se inclusões de minerais da matriz levemente orientadas (Si) paralelamente a S_3 . Algumas inclusões (rutilo?), definem franjas de alteração (PFO-G-32). NX,40X.
- 33 Fotomicrografia. Intercrescimento porfiroblástico de clorita e biotita da segunda fase do metamorfismo (M2)
 Intercrescimento semelhante pode ser observado entre moscovita e clorita na matriz, representando equilíbrio no crescimento desses minerais. Observe ainda pontos tríplices entre os cristais de quartzo. (PFO-G-105). N//,40%.
- Fotomicrografia. Dobramento de S₁ por efeito da cr<u>e</u> 81 nulação. Quartzo, plagioclásio, moscovita, clorita e epidoto que formam a xistosidade, acham-se dobrados, elongados, parcialmente poligonizados e recristaliza dos por efeito de F₃. (PFO-G-105). NX,40X.
- 35 Diagrama. Evolução microtextural das rochas do Grupo 82 Tocantins.
- 36 Crescimento mineral associado às fases de deformação 83 em rochas do Grupo Tocantins.

TABELAS

- 1 Análises químicas dos metamorfitos do Grupo Tocantins 64
- 2 Análises químicas das rochas ultramáficas da área 68
- 3 Análises químicas dos elementos traços das rochas u $\underline{1}$ 72 tramáficas.

SUMÁRIO

	Pág
DEDICATÓRIA	
AGRADECIMENTOS	
LISTA DE ILUSTRAÇÕES	
RESUMO	1
ABSTRACT	3
1 INTRODUÇÃO	5
1.1 Proposição do Estudo	5
1.2 Localização e Acesso	5
1.3 Metodologia	6
2 ASPECTOS GEOLÓGICOS REGIONAIS	10
3 ESTRATIGRAFIA E PETROGRAFIA	15
3.1 Introdução	15
3.2 Descrição das Unidades	17
3.2.1 Grupo Tocantins	17
3.2.1.1 Formação Pequizeiro	.17
3.2.1.2 Formação Couto Magalhães	25
3.2.2 Corpos Ultramáficos Metamorfizados	32
3.2.3 Peridotitos	40
3.2.4 Diques Máficos	42
3.2.5 Formação Rio das Barreiras	44
3.3 Aspectos Geocronológicos	46
4 ESTRUTURAS	48
4.1 Introdução	48
4.2 Estruturas Primárias	48
4.3 Estruturas Tectógenas	48
4.3.1 Foliações	50
4.3.1.1 Xistosidade	50
4.3.1.2 Bandeamento	• 50
4.3.1.3 Clivagem de Crenulação	50
4.3.2 Lineações	51
4.3.2.1 Lineação Mineral	51
4.3.2.2 lineação de Interseção	54

•	Pág
4.3.2.3 Lineação B	54
4.3.3 Dobras	54
4.3.3.1 Dobras da Estratificação	54
4.3.3.2 Dobras da Xistosidade	56
4.3.3.3 Crenulação	56
4.3.4 Descontinuidades	59
4.3.4.1 Falhas e Fraturas	59
4.3,4.2 Veios de Quartzo	60
4.4 <u>História Deformacional</u>	60
5 GEOQUÍMICA	63
5.1 <u>Metamorfitos das Formações Pequizeiro e Coutó</u> Maga	- -
lhães	63
5.2 Metaultramafitos	67
6 METAMORFISMO	73
6.1 Distribuição Espacial do Metamorfismo	73 73
6.2 Distribuição Temporal	74
6.3 Deformação X Metamorfismo	7 7 7 6
7 DISCUSSÃO DOS RESULTADOS	84
8 EVOLUÇÃO GEOLÓGICA	91
9 CONCLUSÕES,	9.4
10 REFERÊNCIAS BIBLIOGRÁFICAS	96
11 ANEXOS	100
1 - Mapa de Amostragem	
2 - Mapa Geológico	

RESUMO

A área compreendida entre as cidades de Araguacema, Pequizeiro e Conceição do Araguaia, faz parte da Faixa de Dobramento Araguaia, onde engloba uma variedade litológica submetida a processos sedimentares, magmáticos, metamórficos e deformacionais.

O levantamento geológico envolvendo estudos estruturaisestratigráficos, petrográfico-petrológicos e químicos, permitiu
a elaboração do quadro geológico-evolutivo da região. As seqüên
cias litológicas são incluídas no Grupo Tocantins, representado
pelas Formações Pequizeiro e Couto Magalhães. Corpos ultramáfi
cos metamorfizados e máficos e ultramáficos representam respectivamente eventos pré ou sin e também pós-tectônicos. A Formação Rio
das Barreiras assenta-se discordantemente ao conjunto Tocantins.

A Formação Pequizeiro é constituída principalmente por micaxistos com intercalações subordinadas de quartzitos, calcoxistos e magnetita-moscovita filitos, caracterizando uma seqüência metassedimentar com derivação predominante de pelitos e grauvacas. Na Formação Couto Magalhães predominam filitos e ardósias e em menor proporção metapsamitos, metapelitos, cherts, lentes de calcário e metagrauvacas, intercalados. Esta seqüência deriva-se essencialmente de pelitos.

Corpos ultramáficos lentiformes de natureza dunítica, foram induzidos tectonicamente no domínio da Formação Couto Magalhães. Encontram-se associados a zona de falhas, alinhados submeridianamente. Suas feições assemelham-se a corpos do tipo alpino mas podem representar corpos ofiolíticos dentro da conceituação moderna.

À deposição do Grupo Tocantins e manifestações ultramáficas, seguiram-se processos de deformação e metamorfismo polifásicos, vinculados possivelmente ao Proterozóico Superior (Ciclo Brasiliano). A evolução estrutural compreende três fases de deformação plásticas (F1, F2 e F3) gerando dobras, feições planares e lineares e, sincronicamente à fase de deformação F1 implantou- se o metamorfismo Regional (M1) variando de graus arquimetamórficos à fácies xisto-verde, crescente no sentido leste. Qautro zonas metamórficas foram reconhecidas, representadas pelas isógradas da sericita, clorita e biotita pareadas submeridianamente. O segun

do episódio blástico (M_2) se deu durante o desenvolvimento da crenulação (F_3) , resultando na formação de micro-porfiroblastos de filossilicatos (moscovita, clorita e biotita) durante esta fase e de biotita pós- F_3 .

No Proterozóico Superior ainda uma tectônica ruptural, foi responsável pela reativação de falhas antigas do embasamento e geração de falhas e fraturas. Intrusão de hornblenda-peridotitos e injeção de diques de diabásio e "stocks" de gabros datam dessa época. Pequenos "grabens" acolheu os sedimentos conglomeráticos e sílticos da Formação Rio das Barreiras, refletindo o relevo criado pela tectônica brasiliana.

Nos tempos Fanerozóicos desenvolveu-se um intenso proces so de laterização e intemperismo em extensas áreas, sedimentando areias e argilas ao longo dos principais rios que drenam a recta gião.

ABSTRACT

The region around Araguacema, Pequizeiro and Conceição do Araguaia, belongs to the Araguaia Fold Belt and exhibits a metasedimentary litological sequence which was subjected to deformation and metamorphism at least in the Upper Proterozoic.

Geological mapping, structural-stratigraphic, petrographic and chemical analises permit the elucidation of the geological evolution of the area. The sequences have been included in the Tocantins. Group constituted of Pequizeiro and Couto Magalhães Formations. Ultramafic and mafic-ultramafic bodies represent both pre and post-tectonic magmatic events. The Rio das Barreiras Formation overlays with an angular unconformity the Tocantins sequences.

Pequizeiro Formation is the lower unit of the Tocantins Group and is litogically composed of micaschists, with some quartzites, calcschits, and magnetite-muscovite-phyllites. These rocks represente a metasedimentary sequence derived mostly of pelite and graywacks. The unit Couto Magalhães comprises essentially phyllites and slates with minor metapsammites, metapelites, cherts, lenses of limestones and metagraywackes. Most of these rocks represent any original pelitic sequence.

Lenticular serpentinitic bodies of dunitic nature have been introduced in the Couto Magalhães Formation by tectonic processes. All of these bodies are associeted to fault zones and have N-S trends. They are of alpine type but, they may represent ophiolitic bodies.

These sequences underwent poliphasic deformational and metamorphic processes during the Middle Proterozoic and up to the Brasiliano Cycle. The structural evolution comprised three plastic deformation phases called F_1 , F_2 and F_3 . The metamorphic history included two different events called M_1 and M_2 with synchronical relation between M_1 - F_1 and M_2 - F_3 , and has a large variation from ankimetamorphism (west) to greenschist facies (east). Three isograds (sericite, chlorite and biotite) have been defined from W to E, as the temperature grows.

In the Upper Proterozoic (Brasiliano Event) ruptural

tectonic processes reactived ancient basement faults and formed new normal faults and fractures. Hornblends Peridotite plutons, diabase dikes and gabbro stocks were emplaced in the Couto Maga lhães Formation, representing post-tectonic magmatic events. Polymitic conglomerates and siltstones of Rio das Barreiras Formation acumulated in grabens, reflecting the Brasiliano tectonic relief.

In the Phanerozoic, intensive laterization and weathering have developed in an extensive area in the Araguaia valley with sandy and argillaceous sedimentation along the rivers.

1 INTRODUÇÃO

1.1 Proposição do Estudo

As primeiras observações sistemáticas desenvolvidas regiões centro e norte do Brasil (Barbosa et alii, 1966; Almeida, 1967a; Puty et alii, 1972; Silva et alii, 1974; e Schobbenhaus et alii, 1975), envolveram estudos de caráter regionais do Amazônico, da Faixa de Dobramento Araguaia, do Maciço Mediano de Goiás e da Bacia do Parnaíba, sem visarem diretamente a referida faixa. A partir de 1977, com a implantação do Projeto Faixa gênica (Núcleo de Ciências Geofísicas e Geológicas- Universidade Federal do Pará) as pesquisas concentraram-se na Faixa de mentos Araguaia. Os primeiros trabalhos, realizados a nível reconhecimento (Abreu, 1978 e Silva, 1980), levantaram questões extremamente relevantes quanto aos possíveis modelos de evolução geológica. Com a necessidade da continuidade das pesquisas, ciou-se estudo em semi-detalhe de diversas áreas-chave e, contexto se insere este trabalho. O objetivo básico deste lho é o de realizar investigações geológicas para melhor conheci mento do Grupo Tocantins, constituído pelas formações Pequizeiro e Couto Magalhães, mediante análise integrada de aspectos tigráficos, estruturais e petrológicos. O detalhamento das unida des geológicas ocorrentes na área envolveu os seguintes aspectos:

- a) Mapeamento geológico em semi-detalhe;
- b) definição do empilhamento estratigráfico e caracteriza ção mais precisa das unidades;
- c) caracterização petrográfico-petrológica das formações Pequizeiro e Couto Magalhães;
- d) estudo dos eventos de deformação e de suas relações com o metamorfismo;
 - e) definição dos eventos magmáticos incidentes na área;
- f) estudo petrológico e posicionamento tectônico dos corpos ultramáficos.

1.2 <u>Localização e Acesso</u>

O trabalho foi desenvolvido numa porção da Faixa de Dobr<u>a</u>

mentos Araguaia, tendo sido mapeada uma área de cerca de 3000 km², localizada no norte do estado de Goiás, limitada pelas das geográficas de 49º00' e 49º34' de longitude oeste e 8º30' 9000' de latitude sul (fig. 1). A noroeste, a área é limitada na turalmente pelo rio Araguaia, de navegabilidade razoável barcos de pequeno calado. Outros dois rios de médio porte, o Ρi ranhas e o Bananal, afluentes do Araguaia, compõem a rede de drenagem da área. As cidades goianas de Pequizeiro e Ara guacema nas extremidades este e oeste da área, são pontos de а poio para a penetração, que é feita principalmente a partir da rodovia BR-153 (Belém-Brasília) e GO-70. O acesso interno, é fa cilitado pelas estradas que levam para as inúmeras fazendas aí existentes e, também pela vegetação típica de cerrado que forne ce as melhores condições de acessibilidade. Apenas nos vales, nas encostas de serras e nas adjacências dos rios é que a vegetação torna-se mais densa, chegando a ser exuberante em certos com predominância de árvores de médio a grande porte, como o Ьa baçu e o jatobá entre outras.

1.3 <u>Metodologia</u>

O trabalho, constou de três atividades principais:

al Os trabalhos de campo, que constaram do levantamento de seções geológico-estruturais por caminhamentos geralmente versais à orientação da faixa de dobramentos através das pais estradas da região. Ao longo dos perfís fizeram-se ções geológicas, amostragem de rochas e solos estruturados, além de observações detalhadas sobre a geometria dos elementos res e lineares. A peculiaridade da região, no que diz a carência generalizada de afloramentos, laterização e intempe rismo intenso, forçou-nos a utilização de técnicas especiais auxílio ao mapeamento, como a complementação dos perfis nas adja cências norte e sul para melhor continuidade e integração dos da dos obtidos, a confecção de trincheiras em áreas sem afloramentos e a utilização da magnetita no solo para delimitar-se a área ocorrência da Formação Pequizeiro. Detalhamentos locais efetuados quando necessários e principalmente nos corpos ultramá ficos.

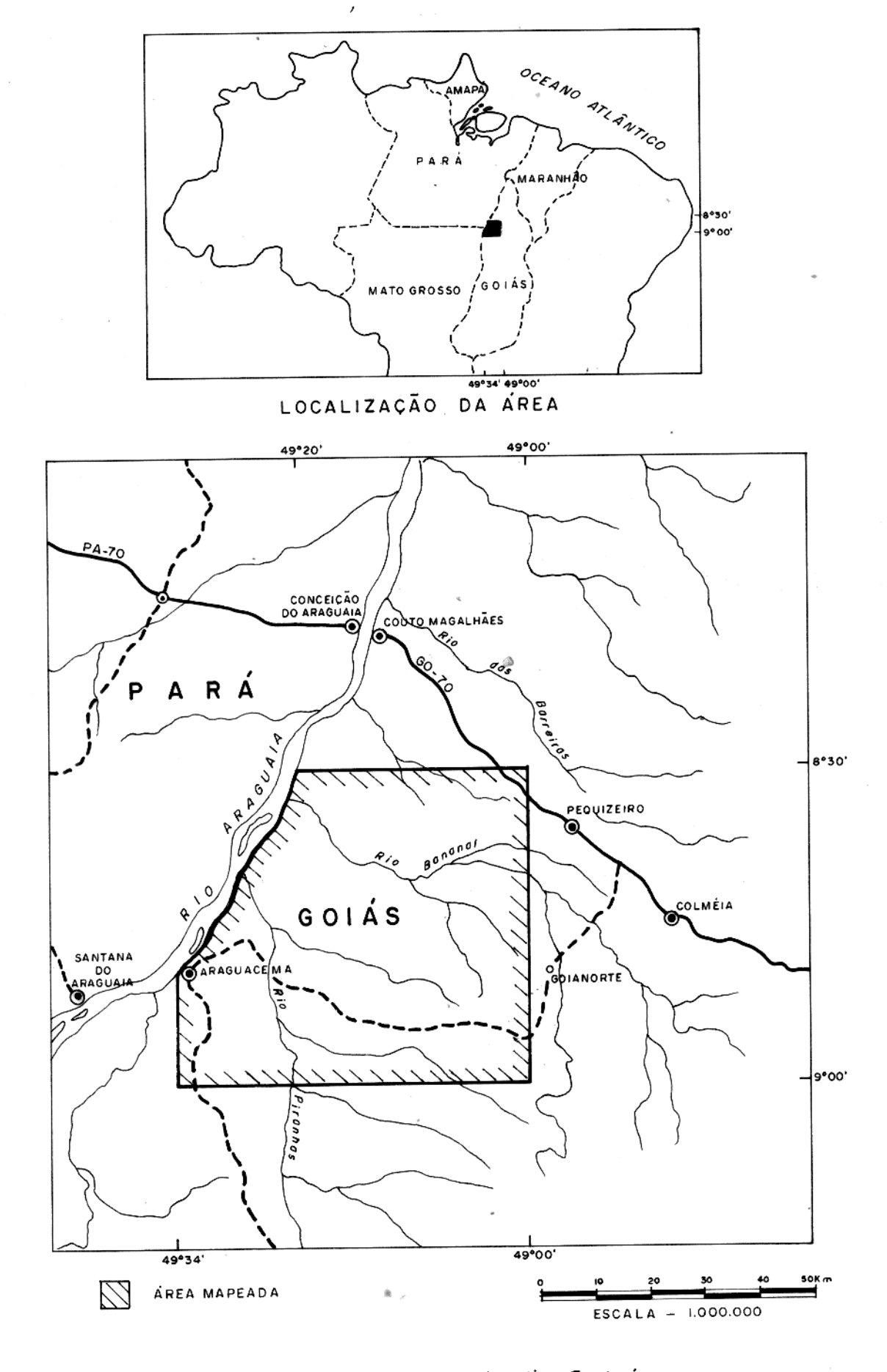


Figura 1 - Mapa de localização da área.

- b) as atividades no escritório estiveram voltadas para a interpretação detalhada de mosaicos semi-controlados de imagem SLAR em 1:100.000 e fotografias aéreas verticais em 1:45.000, do Projeto Araguaia (1958-1962) fornecidos pela PROSPEC S/A. O mapa base foi obtido por restituição direta a partir dos mosaicos, fotografias aéreas e bases planimétricas em 1:100.000 do Projeto A raguaia. Compilações e integração dos dados resultaram no mapa geológico final apresentado neste trabalho (Anexo 2). Este mapa na escala 1:200.000, mostra a distribuição das unidades estratigráficas, as estruturas mais importantes e outras feições da área de trabalho. Acompanha uma seção geológica-estrutural esquemática mostrando as relações de contato e disposição das unidades estudadas além dos aspectos estruturais mais relevantes.
- c) os trabalhos de laboratório, consistiram de estudos petrográficos e químicos. Um total de cento e vinte e duas (122) amostras foram coletadas ao longo dos perfis (Anexo 1). Petrograficamente foram analisadas em detalhe setenta e três (73) seções delgadas, tendo o estudo sido dirigido para a caracterização dos tipos litológicos e das suas respectivas associações mineralógicas, identificação das fases minerais e das feições microestruturais, para definir as relações entre os fenômenos de crescimento mineral e as fases de deformação. Vinte e sete amostras (27), livres de alteração intempérica, foram submetidas a análises química através da fluorescência de raios X e espectrometria de absorção atômica para a determinação dos elementos maiores, menores e traços. Análises por difratometria de raios-X complementaram os estudos petrográficos para a definição mais precisa da mineralogia.

A terminologia adotada neste trabalho, segue o exposto por diversos autores e é de uso corrente no estudo de áreas de formadas. A terminologia estrutural e microtextural, seguiu 05 princípios constantes em Spry (1969) e em Hobbs et alii Usa-se com frequência a simbologia de letras como segue: S, qualquer superfície planar (estratificação, xistosidade, gem ardosiana etc...); L representa as estruturas lineares (li neação mineral, lineações de interseção etc...); D, significa as dobras com seus respectivos eixos B; A, simbolizá bandeadas e f, as fases de deformação. A ordenação cronológica é efetuada por meio de algarismos com o índice representando

ventos sucessivos com gerações distintas (Ex.: S_1 , S_2 ...; L_1 , L_2 ...; D_1 , D_2 ... etc...).

Para a classificação e caracterização mineralógica- petro gráfica das rochas, optou-se pelas nomenclaturas de Spry (1969), Williams et alii (1970), Winkler (1976), e, para as rochas magmáticas adotou-se a classificação de Streckeisen (1973 e 1978).

2 ASPECTOS GEOLÓGICOS REGIONAIS

O cinturão de dobramento que ocupa a porção centro- norte extendendo-se para norte do país, onde é recoberto por tos Fanerozóicos, tem sido objeto de estudo por muitos dores desde o século passado, sendo Moraes Rego (1933) o ro no estudo da geologia da região. Trabalhos importantes à ní vel regional foram elaborados a partir da década de (Barbosa et alii, 1966; Puty et alii, 1972; Silva et alii, 1974; Hasui et alii, 1977; Abreu, 1978 e Silva, 1980 entre outros) dentre os diversos trabalhos, algumas obras merecem destaque рe lo conteúdo significativo em que tratam a geologia desta área. A Faixa de Dobramento Paraguai-Araguaia, foi inicialmente definida por Almeida (1967a), que a considerou como se do desde o rio Apa até o vale do rio Tocantins por mais de 2.500 km contornando a margem do Craton do Guaporé. Silva alii (1974) introduziram a denominação Faixa Orogênica Araguaia-Tocantins apenas para enfatizar a situação geográfica do segmento setentrional dessa faixa. Hasui et alii (1980) propuseram esta porção a denominação de Faixa de Dobramento Araguaia, não acreditarem na continuidade física, proposta por Almeida (1967a), achando também mais apropriado o termo faixa de mento ao invés de faixa orogênica. Almeida (1974) caracterizou o sistema tectônico marginal do Craton do Guaporé, considerando que os limites do Craton e da Faixa de Dobramentos à sua periferia, se daria por uma geossutura marginal denominada . Tocantins-Ara guaia.

Moraes Rego (1933) reconheceu um conjunto de rochas de baixo grau metamórfico nas confluências dos rios Tocantins e Araguaia, denominando-o de "Série do Tocantins" sendo que reconheceu duas seqüências, correlacionando a mais velha à Série Minas. Barbosa et alii (1966) no Projeto Araguaia extendem a designação Araxá para a seqüência inferior descrita por Moraes Rego (1933) e, advogam a existência de discordância entre as duas unidades (Tocantins e Araxá) com base no grau metamórfico, fato este anteriormente não admitido por Hembold (1960). Estes autores descreveram a série Tocantins como "um conjunto de epimetamorfitos da fácies xisto-verde, constituído essencialmente de filitos com intercalações de quartzito-filitos, calcários e quartzo-itabiritos, cortados por diques de diabásio", admitindo ter sido deposi

tada "como um miogeossinclineo sobre um embasamento da série \underline{A} raxá e do Arqueano".

Puty et alii (1972) na região do Projeto Marabá reconhece ram a presença dos grupos Araxá e Tocantins, afirmando ser grada cional a passagem entre as duas unidades, pelo menos no metamor fismo. Descrevem o Grupo Tocantins como um pacote - metapelítico com filitos, clorita xistos, clorita-sericita xistos e tos citando ainda rochas ultramáficas associadas ao conjunto, e suspeitam da existência de um contato discordante e falhado te Grupo com o "Pré-Cambriano Indiferenciado". Silva et alii(1974) admitem a existência da discordância proposta por Barbosa alii (1966) sem no entanto caracterizá-la, ressaltando a dificul dade na definição do contato entre as unidades Tocantins e Araxá. Subdividem of Grupo Tocantins em quatro tipos petrográficos: tos de baixo grau, ardósias e filitos, metapsamitos e calcários. Schobbenhaus Filho et alii (1975) estudando a folha (SC.22) reconhece o Grupo Tocantins e substitui o termo Grupo Araxá por uma unidade a que denomina provisoriamente de quartzīfica", reafirmam também, a pas@agem gradual entre duas unidades. Hasui et alii (1975) propuseram a denominação Grupo Estrondo em substituição à unidade descrita como Araxá por não concordarem com a extensão daquela unidade ocorrente no te mineiro para norte. Efetuaram uma série de datações K-Ar indi cando idades Transamazônicas para o Craton do Guaporé e Brasilia nas para as rochas do Grupo Estrondo. Trow et alii (1976) dando a região de Tucurui, reconheceram uma falha de que lançou rochas do Grupo Tocantins sobre o Craton Amazônico.De finem também a Formação Tucurui constituída por grauvacas e saltos. Guerreiro e Silva (1976) na área do Projeto Guaraí- Con ceição, chamaram de Conglomerado Rio das Barreiras à cobertura se dimentar que ocorre entre as cidades de Pequizeiro e Couto lhães, assentados discordantemente sobre rochas do Grupo tins. Barbosa et alii (1966) haviam correlacionado esta cia a Formação Piauí, do que discordam inteiramente os primeiros autores, posicionando-os estratigraficamente abaixo dos sedimentos da bacia do Parnaíba. Hasui et alii (1977) estudando a Faixa Dobramento Araguaia, apresentaram um esquema estratigráfico, subs tituindo o termo Grupo Tocantins por duas unidades representadas pelas Formações Couto Magalhães, Pequizeiro e uma mais (Formação Estrondo) que constituem o Grupo Baixo Araguaia. Fazem

referência ao caráter transicional entre as unidades mas tam de uma discordância angular entre as Formações Estrondo e Pe quizeiro. Consideram como uma Formação os conglomerados descri tos por Guerreiro e Silva (1976). A Formação Pequizeiro para aqueles autores possui um caráter magmático-sedimentar associando-se à faixa ofiolítica. Abreu (1978) propõe novo arranjo estra tigráfico reunindo as várias litologias da Faixa Araguaia numa unidade chamada de Supergrupo Baixo Araguaia, composto na base pelo Grupo Estrondo (Formação Morro do Campo e Xambioá) e supe riormente, pelo Grupo Tocantins (Formação Couto Magalhães e Pе quizeiro). Ainda, segundo Abreu (1978) a Formação Morro do Campo é constituída de quartzitos e gnaisses na base da seqüência еn quanto que a Formação Xambioá por xistos variados, lentes de an fibolitos e quartzitos; a Formação Couto Magalhães constitui- se de filitos com quartzitos intercalados, lentes de calcário e ro chas máficas associadas e, a formação Pequizeiro engloba orto e para-metamórficas magnesianas constituindo uma plutono-vulcano-sedimentar, com corpos ultramáficos associados. Desenvolveu ainda um estudo estrutural onde reconhece, os sos tipos de estruturas do metamorfitos, definindo uma polifásica para os eventos deformacionais com quatro fases regio nais. Silva (1980) reconheceu nas rochas da Faixa de Araguaia, o metamorfismo de caráter regional enquadrando-o no ti po pressa média de Miyashito (1975) e uma blastese tardia, segui da de recristalização de micas em condições mais atenuadas; defi niu um zoneamento regional sequenciando o aparecimento das isó dradas da sericita, clorita e biotita no sentido oeste-leste circundando algumas braquianticlinais as isógradas da e estaurolita e, relacionou às fases de deformação de Abreu(1978) os eventos de crescimento mineral. Costa (1980) acrescenta Grupo Estrondo a Formação Canto da Vazante, superposta à ção Xambioá,composta de biotita gnaisses, biotita-quartzo xistos com quartzitos e talco xistos. Estudou também o núcleo da quianticlinal de Colméia, definindo o Complexo Colmeia de idades Arqueana, composto de rochas gnáissicas e granitóides migmatizado, anfibolitos, quartzitos e xistos associados. Hasui et (1980) baseando-se em estudos geocronológicos, propõem uma idade Uruaçuana e o termo Faixa de Dobramentos Araguaia para essa uni dade geotectônica.

Em relação ao magmatismo "básico-ultrabásico" incidente

na Faixa Araguaia, as primeiras referências são de Moraes (1935), Pecora e Barbosa (1944) e Scorza (1946) (In: Berbert, 1970). Com o desenvolvimento do Projeto Goiás (Berbert, 1970), foram 🤊 reco nhecidos (115) centro e quinze corpos, enquanto que anteriormente, apenas (8) oito eram conhecidos. Berbert (1970) cita a rência de (130) cento e trinta corpos e classifica-os provisória mente em cinco grupos com base em suas características gerais.Pu ty et alii (1972) citam a ocorrência de corpos ultramáficos ex, serra do Tapa) encaixados em rochas do Grupo Tocantins, quais estariam relacionados com um "serpentine belt" de Goiás com idades em torno de 1100 m.a. (Almeida, 1967b). Silva et alii (1974) mapeiam corpos maiores de composição dunítica, denominan do-os "Faixa de Serpentinitos do Araguaia-Tocantins". Evocam ain da condições eugeossinclinais para as rochas da fácies xisto-ver de (Grupo Tocantins) a eles associados, as quais interpretam mo produto de retrometamorfismo. Almeida (1974) define a geossutura Tocantins-Araguaia:como uma zona de falhamentos ao Craton do Guaporé (Amazônico) e, a ela, relaciona a colocação dos referidos corpos, citando como exemplo a serra Taina- Recan, alinhada segundo norte-sul. Cordeiro e McCandless (1976) ram o maciço ultramáfico de Quatipuru (Taina-Recan), no sul Pará, encaixando em rochas do Grupo Tocantins, composto de peridotitos e dunitos serpentinizados. Guerreiro e Silva (1976) pearam alguns corpos serpentiníticos encaixados tanto em do Grupo Tocantins como do Grupo Estrondo. Hasúi et alii classificam como ofiólitos, no sentido clássico, os corpos ricamente chamados básicos-ultrabásicos introduzidos mente na Formação Couto Magalhães. Consideram haver uma genética entre essas intrusões e a sequência Pequizeiro, tando ainda que a polaridade desse magmatismo não se encaixa nos modelos clássicos, relacionando-os à geossutura definida por meida (1974).

A seqüência estratigráfica da região, apresenta portanto ainda vários problemas, relacionados à definição dos contatos e ordenação estratigráfica entre as unidades. As litologias e suas relações entre si acham-se apenas em um nível razoável, necessitando estudos petrográficos e geocronológicos sistemáticos. Estudos voltados para a caracterização química de rochas com ênfase nos seus aspectos petrológicos são incipientes, dispersos e muitas vezes ficando no nível de especulação. O magmatismo fora tra

tado muito superficialmenté pelos diversos autores, incluíndo-se confusamente eventos de natureza e cronología distintos em um único, genericamente denominado "básico-ultrabásico". Esses as pectos todos dificultam a organização e definição mais coerente dos fenômenos geológicos que se estabeleceram na região em estudo.

3 ESTRATIGRAFIA E PETROGRÁFIA

3.1 Introdução

O estudo litoestratigráfico aqui apresentado tomou como base o esquema estratigráfico proposto por Abreu (1978) para Faixa de Dobramento Araguaia com uma subdivisão nos grupos trondo e Tocantins. Na área em que se insere o estudo, estão еχ postas unicamente rochas pertencentes ao Grupo Tocantins e às nidades mais jovens. A Formação Pequizeiro ocupa a porção da área e é composta principalmente por micaxistos pelíticos com intercalações de calcoxistos, quartzitos e filitos magnetíticos. A Formação Couto Magalhães situa-se no domínio ceste constituindo-se predominantemente de filitos e ardósias, com intercalações de quartzitos metagrauvacas metargilitos e lentes de calcário. Es sas formações dispõem-se em faixas submeridianas pareadas. pos ultramáficos lentiformes, de caráter pré-tectônico, alinhamse segundo uma direção norte-sul encaixados em filitos da ção Couto Magalhães, associados a zona de falhas. Também ocorrem "plutons" de hornblenda peridotitos, introduzidos pós-tectonicamente e, diques máficos formando enxames, ocupando a extremidade oeste, cortando a Formação Couto Magalhães.

A Formação Rio das Barreiras constituída de conglomerados polimíticos e siltitos subhorizontais sobrepõe-se ao conjunto, em discordância angular.

É dada na figura 2 a coluna estratigráfica que nós propomos sendo que a distribuição geográfica das unidades litoestratigráficas pode ser visualizada no mapa geológico (anexo 2). O empihamento estratigráfico apresentado neste trabalho, relativo às duas formações que compõem o Grupo Tocantins, difere daquele a presentado por Abreu (1978). Como nenhuma evidencia indicou que a Formação Pequizeiro esteja estratigraficamente acima da Formação Couto Magalhães e as litologias não mostram grandes diferenças composicionais, como será observado nos capítulos posterio res, é sugerido aqui tratar-se de uma mesma seqüência com variações faciológicas e com graus metamórficos diferentes, em que a Formação Pequizeiro apresenta grau mais elevado, refletindo possi velmente o nível estratigráfico mais baixo. Um conjunto de observações serão acrescidas ao longo do texto e, posteriormente, a

	I			,	:: 0		
DESCRIÇÃO LITOLÓGICA	Sedimentos arenosos e argilosos aluvionares lateritas e produtos intempéricos.	Conglomerados polimíticos em matriz síltico-argilosa; siltitos intercalados, levemente estratificados subhori- zontalmente.	Enxame de diques de diabásio, stocks intrusivos de gabro e leucoaabros.	Plutons intrusivos de horblenda peridotitos.	Filitos, ardósias, com intercalações de quartzitos, cherts, meta grauvacas, calcários e psamito-pelitos anquimeta-	morfizados. Serpentinitos, cromititos, actinolítitos, talco actinolita xistos, talco xistos, esteatitos e clorititos, cherts hematiticos estratificados, silexitos brechóides e cataclasitos	Quartzo-moscovita xistos, clorita-moscovita-quartzo-xistos, quartzo-moscovita xistos, biotita-clorita-quartzo-moscovita-xistos, magnetita-moscovita filitos intercalados, bandeados e intensamente crenulados, quartzitos e calco-xistos subordinados.
SÍMBOLO	\$ 0	perb	ьем	ьепм	petcm	4 0	p6 tp
UNIDADES	COBERTURAS FANEROZÓICAS	RIO DAS BARREIRAS	INTRUSÕES MÁFICAS	PLUTONS ULTRAMÁFICOS	FORMAÇÃO COUTO MAGALHÃES	CORPOS SERPENTINÍTICOS PRÉ - TECTÔNICOS Z	FORMAÇÃO BEQUIZEIRO
	55			PLI	AIA	UDARA OXI	SUPER GRUPO BA
PERIODO	FANEROZÓICO	0210208 08 80 0210203	IR39U	PROTEROZÓICO SUPERIOR SUPER			

Figura 2 - Coluna estratigráfica da região de Araguacema-Pequizeiro.

discussão será retomada, razão pela qual o empilhamento será \underline{a} presentado nessa ordem.

3.2 Descrição das Unidades

3.2.1 Grupo Tocantins

O Grupo Tocantins, definido por Moraes Rego (1933) é uma das mais extensas unidades da Faixa de Dobramento Araguaia em área aflorante, perfazendo mais de 60% de suas exposições. Tem sido dividido em duas Formações, Pequizeiro e Couto Magalhães que ocupam respectivamente, as partes leste e oeste da área estudada. Segundo as nossas observações a Formação Pequizeiro pode representar um nível estratigráfico mais baixo ou a formação inferior do Grupo e, portanto é descrita primeiro.

3.2.1.1 Formação Pequizeiro

Corresponde à parte oriental de ocorrência do Grupo Tocan tins, distribuindo-se em uma faixa submeridiana mais ou menos regular ocupando a extremidade leste da área mapeada, numa exten são E-W da ordem de 15 km. Suas melhores exposições podem ser observadas ao longo da rodovia GO-70, no trecho compreendido entre as cidades de Pequizeiro e Couto Magalhães (seção-tipo), nas estradas menores que ramificam a partir de Pequizeiro e Goianorte para oeste em direção ao rio Araguaia, na estrada Goianorte- Araguacema e nos leitos dos rios Cavalo Morto e Bananal.

As rochas da Formação Pequizeiro ocupam áreas mais ou me nos peneplanizadas, em que a sucessão de morros e vales dão um padrão tipicamente dendrítico a subretangular à sua rede de dre nagem.

Litologicamente, é constituída principalmente por quartzo moscovita xistos, clorita-moscovita-quartzo xistos, biotita-clorita-quartzo-moscovita xistos, quartzo xistos, com intercalações subordinadas de magnetita-moscovita filito e quartzitos. Local mente são encontrados níveis mais enriquecidos cem carbonatos formando-se calcoxistos.

al Mica xistos

Com referência aos xistos, são geralmente finos com varia

ções para mais grosseiros no sentido leste, e mostram sempre bons afloramentos que ressaltam na topografia formando superficies a bauladas. Suas colorações variam de verde escuro a cinza esverde ado com tonalidades mais claras. As tonalidades verde, cinza e branca são devidas respectivamente à presença, mais ou menos constante, de clorita, moscovita e quartzo nessas rochas. As varia ções nas percentagens desses minerais se traduzem em modifica ções concomitantes das colorações dos xistos e, quando intemperizados tornam-se sempre avermelhados.

Petrograficamente, os xistos tem uma composição mineraló gica bastante homogênea, com percentagens mais ou menos constantes e próximas entre si de quartzo, moscovita e clorita, que são os minerais mais frequentes nessas rochas. Não obstante, em tas rochas a quantidade de quartzo chega a exceder 50%. clásio (albita), epidoto, carbonatos e magnetita ocorrem em quan tidades subordinadas; só raramente os carbonatos ultrapassam 15% podendo estar ausente ou ser acessório em várias amostras, e n quanto que a magnetita atinge em certas rochas teores de até 30%. A biotita está presente apenas nos xistos do limite leste área e sua freqüência vai aumentando no sentido leste, isto é,pa ralelamente ao aumento do grau metamórfico. Os seus teores si tuam-se na faixa de 10 a 20% mas, localmente, ocorrem níveis mais enriquecidos nesse mineral. Em quantidades acessórios ocorre turmalina, titamita e apatita.

Texturalmente, os filitos e xistos são lepidoblásticos ou exibem texturas superimpostas pelas sucessivas deformações que lhes foram imprimidas, como foliações dobradas e cruzadas.

- Quartzo

É um mineral abundante nessas rochas, sendo suas percenta gens normalmente da ordem de 30 a 40% e podendo encontrarem-se teores até 50% (quartzo xistos). Comumente distingue-se pela mor fologia, dois tipos de cristais: 1) cristais relativamente grandes e; 2) cristais pequenos. Os primeiros ocorrem em faixas, qua se puras (bandeamento) definindo mosaicos granoblásticos indican do texturas de equilíbrio com o desenvolvimento de pontos tríplices entre os grãos e, em contato com os demais minerais seus limites são retos. Nas faixas micaceas, o quartzo toma outro as pecto (2º tipo), em que seus cristais pequenos são elongados e com limites de grão irregulares. Ocorrem entremeados às palhetas

dos filossilicatos definindo com estes a foliação S_1 . Nos cristais do segundo tipo a recristalização é pouco nítida ao passo que nos cristais do primeiro tipo encontra-se uma recristaliza - ção bem desenvolvida.

- Moscovita

A moscovita e sericita são os principais responsáveis, jun tamente com a clorita, pelas foliações impressas nos xistos e filitos. Ocorrem igualmente sob dois aspectos: ll cristais peque nos e 21 cristais relativamente grandes. Os primeiros sob a for ma de palhetas orientadas preferencialmente, definem a xistosidade, em associação com clorita e quartzo, todos dobrados e poligonizados. Na segunda feição a moscovita tem aspectos microporfitoblásticos tabulares orientados subparalelamente, definindo faixas lepidoblásticas (clivagem de crenulação). Nessas faixas os cristais de moscovita são retos, não deformados.

- Clorita

A clorita tem comportamento semelhante à moscovita com dois tamanhos preferenciais, apenas, eus cristais são menores e comumente apresenta-se intercrescida paralelamente com os cristais de moscovita e sericita, deficultando muitas vezes a sua individualização. Onde ocorre biotita associa-se também aos cristais desta mica, mostrando intercrescimentos gradativos e paralelos. Seu pleocroismo é forte variando de um verde garrafa (Z,Y) a verde claro (X).

- Plagioclásio

O plagioclásio tem composição albítica e ocorre em quantidades bem inferiores às dos minerais anteriores. Em algumas rochas perfaz 15% do total, mas na maioria deles, suas quantidades são pequenas. Forma cristais anedrais a subedrais com duas dimensões predominantes, à semelhança dos outros minerais, se bem que sempre menores que os cristais de quartzo a eles associados. Texturas de equilíbrio, ocorrem comparativamente em menor frequência e, principalmente nos cristais maiores. Estes cristais são normalmente geminados segundo a lei da albita, com lamelas polisis sintéticas de espessura bastante variada e descontínuas. Alguns cristais apresentam inclusões aciculares orientadas em três direções. "Kink bands" no maclamento e cristais elongados com a clivagem de crenulação, são efeitos devidos à deformação. Observa-

se ainda que o plagioclásio ocorre preferencialmente nas regiões micáceas.

- Epidoto

É um mineral de ampla ocorrência nos micaxistos como grânulos e aspectos colunares (euedrais e subeudrais). São normal mente incolores a verde amarelado com suas clivagens visiveis. A presenta birrefringência moderada a forte com cores de interferência anômalas de primeira ordem, principalmente em suas seções basais (amarelo avermelhado, azul, verde amarelado). Nas seções longitudinais suas cores já são mais amarelados a cinza azulado. Apresenta extinção paralela na maioria dos cristais. Esses cristais mostram-se orientados preferencialmente, conforme a xistosidade e clivagem de crenulação e muitos grãos acham-se fraturados e elongados por efeito dos dobramentos com alguma recristalização. Há uma preferência do epidoto ocorrer nas regiões mais micáceas.

- Biotita

A biotita ocorre nos xistos das regiões de grau metamórfi co mais elevado, formando cristais relativamente grandes, porfiroblásticos. Seu desenvolvimento está visivelmente relacio nado ao fenômeno de crenulação. Seus cristais como os demais nerais, ocorrem sob dois aspectos distintos: o primeiro, cristais tabulares que juntamente com moscovita e clorita crescidos paralelamente, formam faixas lepidoblásticas bem desen volvidas que definem a clivagem de crenulação; outras vezes, for mam cristais relativamente maiores, não orientados, ocupando prin cipalmente os ápices das microdobras. Estes cristais são mensionais e com contornos irregulares, muitas vezes com lização incompleta e com uma série de inclusões orientadas inter namente (S_f), paralelas à clivagem de crenulação (S₃). Essas clusões são principalmente de minerais da matriz como quartzo plagioclásio, epidoto, opacos, turmalina, titanita, rutilo (?) e biotita, que mostram reações com a biotita hospedeira. Frequente mente a biotita apresenta passagens graduais a partir da clorita em um único cristal, parecendo haver certa progressão na crista lização desses dois minerais em condições de extremo equilíbrio. Raros cristais de biotita mostram encurvamento, podendo haver bi otita crescidas anteriormente à deformação F3. À luz natural mos tram um pleocroísmo bastante forte, predominando cores verde oli

va e marrom (Z, Yl a yerde e amarelo claro (XI.

- Magnetita

A magnetita ocorre em quantidades reduzidas, mas é o principal acessório, formando microporfiroblástos euedrais comente quentes formas quadradas. Ao seu redor é comum a formação de franjas de pressão com crescimento de quartzo, clorita e biotita. Apesar de ocorrer em menor proporção nas rochas da Formação Pequizeiro, em certas rochas a magnetita pode atingir teores da ordem de 30%. A sua presença limita-se exclusivamente às rochas da Formação Pequizeiro e pode ser utilizada como um critério de mapeamento desta unidade. Nas regiões sem afloramento, a magnetita é facilmente detectada com a utilização de um imã nas valetas de chuva (fig. 3).

- Carbonato

Mostra aspectos semelhante aos do quartzo, definindo mo sáícos granoblásticos com pontos tríplices. Sua ocorrência limita-se às faixas quartzosas e, de um modo geral, ocupam proporções não superiores a 10%. Em alguns locais ocorrem mais concentrados formando os calcoxistos. Seus cristais são relativamente grandes, recristalizados, com três direções de clivagem bem definidas e, as geminações polissintéticas são comuns nesses minerais.

- Acessórios

Alguns dos minerais anteriormente descritos podem ocorrer como acessórios em várias rochas, mas a turmalina, a titanita, a patita e rutilo são os mais freqüentes, nas rochas da Formação Pequizeiro. Turmalina mostra-se sempre como pequenos cristais i dioblásticos esverdeados, com forte pleocroísmo. Suas seções lon gitudinais orientam-se segundo as foliações. A titanita forma a gregados irregulares, fragmentados, concentrados em alguns xis tos e ocorrem principalmente nas porções micáceas, onde se orien tam de acordo com as foliações. A titanita e o rutilo também ocorrem como inclusões nos cristais de biotita, onde mostram bor das de reação.

bl Filitos

Os xistos passam gradativamente para filitos onde a top<u>o</u> grafia suavizada e o predomínio de áreas peneplanizadas, com uma



Figura 3 - Concentrações de magnetita ocorrendo superficialmente, encontradas no domínio dos xistos e filitos da Formação Pequizeiro. Estrada Goianorte- Araguacema, Km 24.



Figura 4 - Aspecto mosqueado característico dos magnetita-moscovita-filitos da Formação Pequizeiro, dado pela presença de cristais de magnetita. Estrada Goianorte-Araguacema, PFO-G-35.

sucessão de morros e vales, suaves dão aspectos bastante nos, às feições geomorfológicas, típicas das regiões filíticas. Os afloramentos são muito escassos e quando ocorrem acham-se temperizados, mas suas estruturas ainda acham-se preservadas. Suas colorações predominantes são cinza esverdeados quando passando a colorações amarelo esbranquiçadas e marrom avermelhadas quando alterados. Um aspecto muito comum nessas rochas, é a presença de cristais de magnetita de dimensões milimétricas que, por vezes, acham-se concentrados (com teores da ordem de 30%) nas rochas, dando um aspecto mosqueado muito peculiar (fig. 4). certos locais, essas rochas formam blocos arredondados com estru turas concêntricas devidas a processos de silicificação. graficamente são compostos de quartzo, moscovita-sericita, clori ta e magnetita em percentagens variáveis. Quartzo e sericita são os minerais predominantes, podendo o primeiro ser acessório não ocorrer em certas rochas. Texturalmente são lepidoblásticos devido a orientação preferencial da sericita que define a xisto sidade. Esta mostra-se crenulada e intensamente transposta.

Três superfícies acham-se sempre presentes nos xistos, in cluindo: um bandeamento muito regular como faixas milimétricas alternadas, umas enriquecidas em clorita e micas, e outras fai xas ocupadas por minerais claros, especialmente quartzo, plagio clásio e carbonato; a xistosidade definida pela orientação de mi nerais placóides e tabulares e; uma clivagem de crenulação com orientação principalmente de moscovita, biotita e clorita, resultante da intensa transposição da xístosidade e bandeamento, mas, a feição estrutural mais marcante nas rochas da Formação Pequizeiro, é a acentuada crenulação, devido ao microdobramento de xistosidade e bandeamento (fig. 5 e 6).

A Formação Pequizeiro faz contato inferior com as rochas do Grupo Estrondo (Formação Xambioá) a leste das cidades de Pequizeiro e Goianorte e, segundo Abreu (1978) "não é observado quebra no estilo estrutural nem mudança brusca na gradação litológica", embora este autor suspeite de uma discordância devido ao contraste litológico. Para oeste, os xistos e filitos da Formação Pequizeiro gradam para filitos típicos de Formação Couto Magalhães. Não foi observada discordância entre essas unidades.

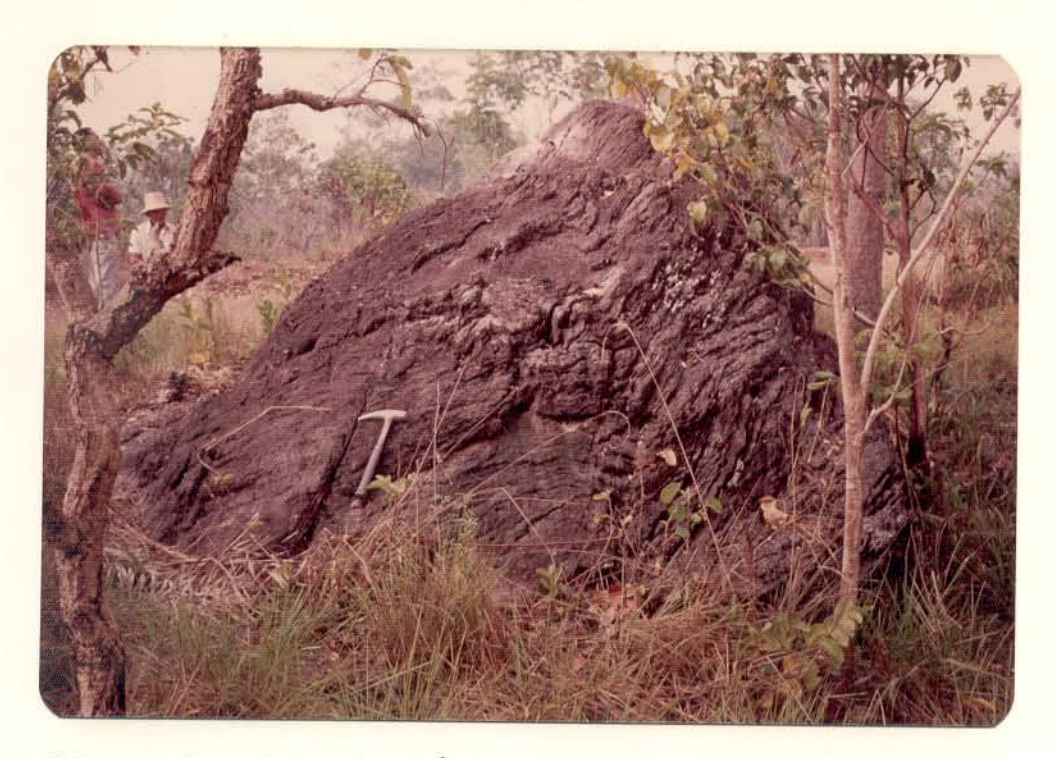


Figura 5 - Aspecto típico dos metamorfitos da Formação Pequizeiro, formando ressaltos topográficos. Observa - se também a crenulação da xistosidade. Fazenda Areia, proximidade de Pequizeiro.



Figura 6 - Bandeamento quartzo-micáceo crenulado, em quartzo-micaxisto da Formação Pequizeiro. PFO-G-100.

3.2.1.2 Formação Couto Magalhães

Corresponde a porção deste do Grupo Tocantins, ocupando aproximadamente 60% da área estudada. As melhores exposições desta unidade, situam-se nas margens do rio Araguaia, no trecho com preendido entre as cidades de Santana do Araguaia e Conceição do Araguaia e nas adjacências de Araguacema, Conceição do Araguaia e Couto Magalhães.

Os afloramentos desta unidade são escassos e, de um modo geral, suas rochas encontram-se em elevado estágio de alteração intempérica. A laterização ocupa grandes áreas e, nos períodos de cheias do rio Araguaia muitas áreas ficam submersas. Nas regiões de ocorrência dessa formação, dominam uma sucessão de mor ros e vales, dando um padrão tipicamente dendrítico à sua rede de drenagem (fig. 7).

Litologicamente é composta por uma sequência predominante mente pelítica de filitos e ardósias e, com intercalações menores (na parte oeste da área) de quartzito, chert, metassiltito, metagrauvaca e calcários. Uma série de corpos ultramá ficos serpentinizados, acham-se encaixados nos filitos e, silexitos hematíticos estão disseminados por toda a região de ocorrência de Formação Couto Magalhães.

O estudo petrográfico desta unidade foi prejudicado, pela precariedade de amostragem quando comparada com a das rochas de maior grau metamórfico da Formação Pequizeiro. O intenso intemperismo e a granulação predominantemente fina, são fatores que contribuiram para acentuar as dificuldades do estudo mais detalhado.

al Filitos e ardósias

Os filitos de granulação fina a muito fina, são as rochas dominantes, gradando para as rochas ardosianas. Em algumas regiões não se consegue distinguir se a rocha é um filito ou uma ardósia, pois apresenta feições mistas como o brilho característico dos filitos e, os aspectos texturais de clivagem ardosiana. Suas cores são normalmente pretos a cinzento quando frescos; se intemperizadas predominam tonalidades amareladas, avermelhadas, rosadas e, muitas vezes, tornam-se multicoloridas sob ação do intemperismo mais intenso (fig. 8). A ocorrência de extensas capas lateríticas, dificulta o estudo em grandes áreas mas, a presença



Figura 7 - Feições topográficas características dos terrenos ardosianos e filíticos da Formação Couto Magalhães. Adjacências de Araguacema.

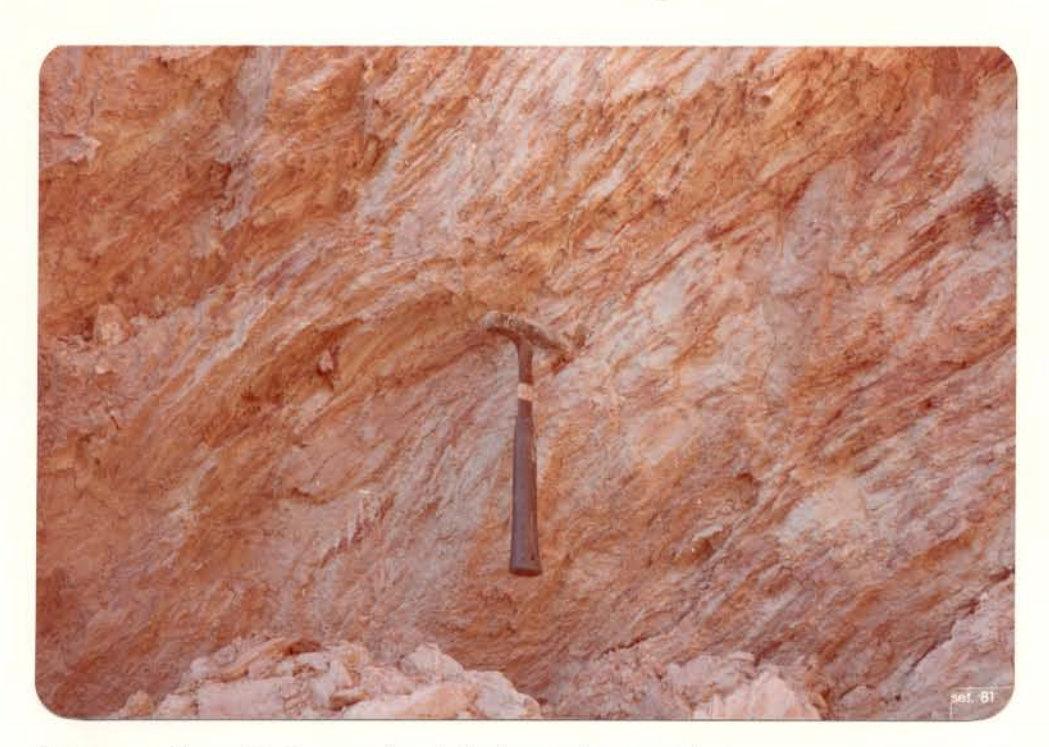


Figura 8 - Coloração típica de ardósias intemperiz<u>a</u> das da Formação Couto Magalhães. Arredores de Ar<u>a</u> guacema.

de fragmentos filíticos, fácilita a definição da litologia. Es ses filitos são distinguidos daquelas da Formação Pequizeiro pe la presença de cristais de pirita e hematita pulverulenta - ao in vés da magnetita - e pela sua mineralogia mais variada com ocor rência de quartzo, carbonatos, sericita, clorita, plagioclásio, turmalina, rutilo, titanita, apatita, hematita, pirita etc... Di vergem ainda nas suas composições químicas e nos seus aspectos gerais.

Os filitos e ardósias exibem normalmente texturas lepido blásticas com orientação de minerais micáceos, assim como, de grânulos lenticulares de quartzo. Nas gradações filito - àrdósia-metassedimentos, os grânulos clásticos dão aspectos particulares à essas texturas, já que são envolvidos pelas foliações, definin do clivagens ardosianas típicas.

Mineralogicamente, predominam sericita e quartzo; opacos (cristais de pirita, microporfiroblásticos e hematita), plagio clásio, carbonatos, clorita, titanita e apatita são constituin tes acessórios. Óxido de ferro pulverulento (hematita) acentua a foliação.

O quartzo apresenta-se em cristais xenomórficos associado com sericita. Nas regiões de menor grau metamórfico, ocorrem como grânulos reliqueares (clastos) que são envolvidos pela foliação. Estes grânulos têm formas variáveis, mas são predominantemente lentiformes com o maior comprimento acompanhando a foliação. Extinção ondulante e fraturamentos incipientes (subgrão) são feições muito marcantes. Grânulos menores de quartzo ocorrem principalmente na matriz, associados com sericita e são irregulares com recristalizações mais proeminentes.

A sericita, apresenta-se também com granulação bastante fina, aumentando suas dimensões concomitantemente com o aumento do grau metamórfico. A orientação desses cristais é responsável pela xistosidade e clivagem ardosiana que envolvem os grânulos clásticos. Em certas regiões formam cristais maiores, orientados, definindo uma clivagem mais desenvolvida.

A clorita não é frequente nessas rochas.Dispõe-se como p<u>a</u> lhetas finissimas na matriz de certas rochas e, alternância com a sericita incolor, torna dificil individualizá-las sofvendo e<u>s</u> ta, grande influência da coloração verde da clorita.

As quantidades de carbonatos são variáveis e eles ocorrem apenas em certas amostras, sendo raros nos filitos mais grossei ros. Quando ocorrem dispõem-se entre os minerais da matriz como material secundário recristalizado. Os opacos presentes em quan tidades acessórias, são representados por pirita, que forma cristais idiomórficos microporfiroblásticos predominantemente quadráticas, e dimensões que chegam a 2 mm. São facilmente caracteriza dos em amostras de mão por seus cubos de coloração amarelada e comumente definem franjas de pressão, com desenvolvimento de quartzo ao redor (fig. 91. Hematita ocorre disseminada acentuado a foliação devido seus aspectos pulverulentos entremeando-se entre os demais minerais.

A maioria dos grânulos clásticos mostra efeitos de deformação. Extinção ondulante, formação de subgrão, fraturamentos e elongamentos são frequentes nos grânulos de quartzo. Estes pos suem dimensões da ordem de 1,5 mm, com formas variadas, alguns irregulares, outros arredondados, mas com predomínio no geral, de aspectos lentiformes. Nas rochas mais foliadas esses grânulos se acham mais elongados e orientados. Seu comportamento na matriz é bastante diferente pois formam pequenos cristais irregulares, associados aos outros minerais da matriz, e mostram recristalização mais intensa.

Duas foliações observáveis em escalas mesoscópica; e mi croscópica são facilmente reconhecidas. A primeira, definida рe la orientação de minerais micáceos e/ou pelo alongamento de cer tos minerais, forma a xistosidade ou clivagem ardosiana, o que se reflete em amostra de mão pela fissilidade ao longo de deter minados planos. A segunda foliação não é penetrativa e, corta 0 bliquamente a primeira, caracterizando-se por uma clivagem de crenulação ou clivagem de fratura, com espaçamentos regulares de aproximadamente 5 mm. Microscopicamente definem deslocamentos tênues rompimentos (cisalhamentos) que afetaram a primeira folia ção. Em algumas rochas desenvolvem-se "kink bands" e recristali zações incipientes de sericita ao longo desses planos.

bl Metagrauvacas

As metagrauvacas têm ocorrência limitada à porção oeste da área e, aparentemente se avizinham dos calcários em ocorrência, intercalam-se em ardósias. São rochas claras com tonalidades esverdeadas, comumente foliadas e de granulação média. Textu

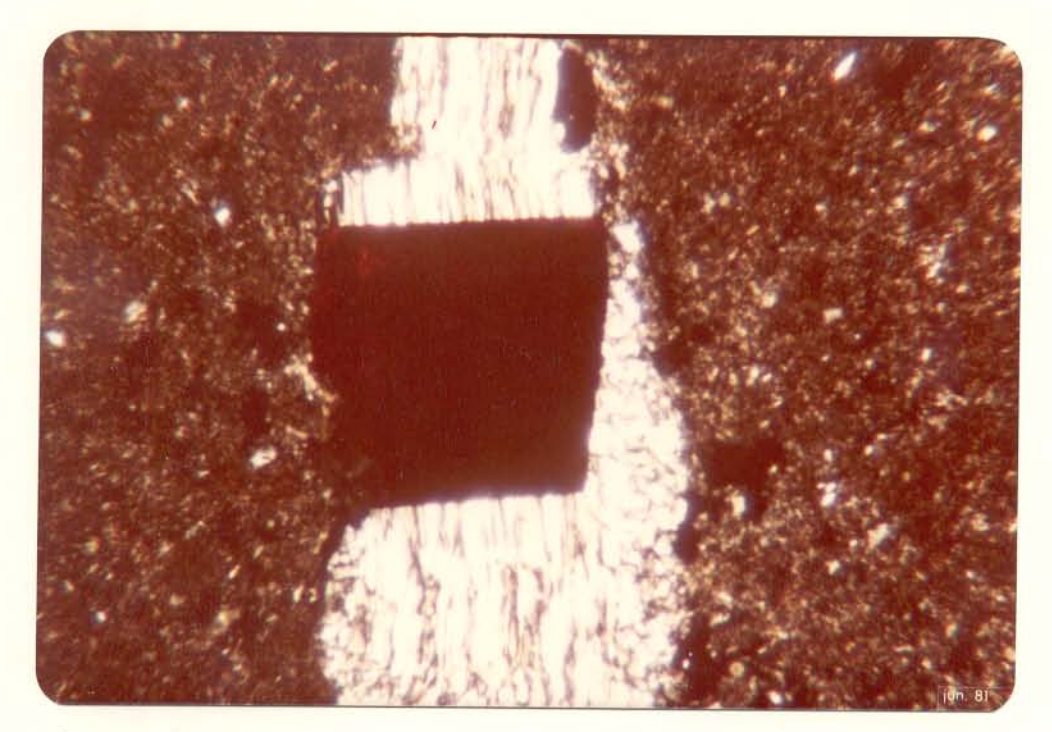


Figura 9 - Fotomicrografia. Cristal de pirita cristal \underline{i} zado precocemente ao mteamorfismo regional (M_1) , com desenvolvimento de sombras de pressão (preenchidas por quartzol em F1- M_1 em ardósia da Formação Couto Magalhães. (PFO-G-118). NX, 160 X.

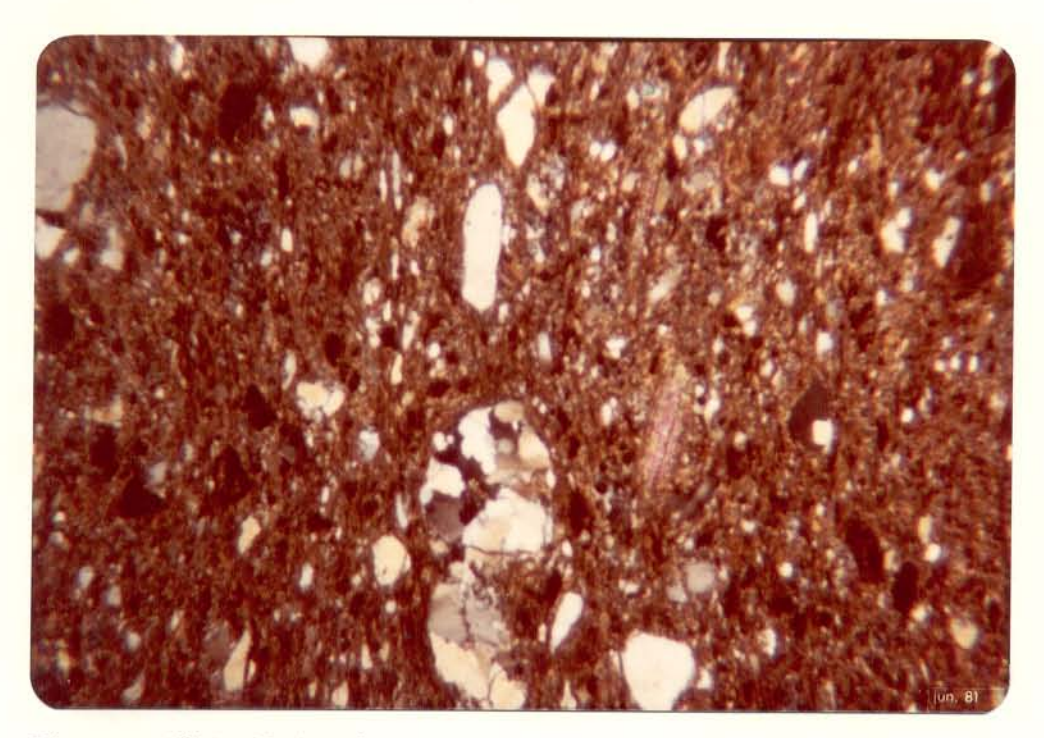


Figura 10 - Fotomicrografia. Metagrauvaca da Formação Couto Magalhães. Vê-se grânulos clásticos de quartzo e plagioclásio microfraturados (subgrãos), elongados por deformação em F1. Observam-se também cristais de moscovita em matriz foliada (clivagem ardosiana) com clorita, biotita e quartzo. (PFO-G-18). NX, 100 X.

ralmente domina a clivagem/ardosiana com a presença de grânulos clásticos, envolvidos por uma matriz lepidoblástica (fig. 10). Os grânulos clásticos, bem destacados na matriz mais fina, formas variadas, representadas predominantemente por quartzo, pla gioclásio e carbonatos e, quantidades menores de moscovita, rita, biotita e raros fragmentos de rochas, como cherts e dos de quartzo-microclina. Apesar da diversidade de formas des ses grânulos, há o predomínio dos lentiformes cujos comprimentos são paralelos a subparalelos à foliação envolvente. A matriz, granulação bem mais fina, é constituída de clorita, biotita, carbonatos com predomínio de um ou outro desses minerais. Em gumas rochas predominam biotitas cloritizadas e, em outras, as ma trizmé essencialmente carbonática. Quartzo, plagioclásio e seri cita ocorrem em quantidades variadas. Acessoriamente estão pre sentes titanita, turmalina, epidoto, apatita e opacos. O epidoto forma pequenos grânulos detríticos envolvidos pelas foliações.

O plagioclásio assemelha-se em vários aspectos ao quartzo, mas suas dimensões e a sua freqüência na rocha, são relativame<u>n</u> te menores. Mostra-se comumente geminado polissinteticamente e suas maclas estão muitas vezes curvadas e com "kink bands". Observa-se por vezes sericitização parcial de seus grãos.

O carbonato, possivelmente calcita, é abundante em certas rochas, predominando na matriz, onde ocorre como pequenos cristais xenoblásticos a subidioblásticos, em clastos ou em agrega dos microgranulares e cristais maiores. Nestes verifica-se claramente suas três direções de clivagem e, normalmente, exibem, geminações polissintéticas. A recristalização na matriz é acentuada, ao contrário dos seus outros aspectos.

Minerais micáceos representados pela biotita e mica branca (sericita e moscovita) e clorita, ocorrem em quantidades variáveis. A biotita é rara nas rochas enriquecidas em carbonatos mas, em outras, ela torna-se abundante, principalmente na matriz, onde desenvolve palhetas orientadas ou não, intimamente associadas com clorita. Esta juntamente com os cristais de sericita, define a foliação que torna-se mais acentuada quando a recristalização de sericita é maior. Moscovita e clorita também ocorrem em quantidades subordinadas como clastos. Acham-se envolvidas pela foliação e mostram-se curvadas e recristalizadas.

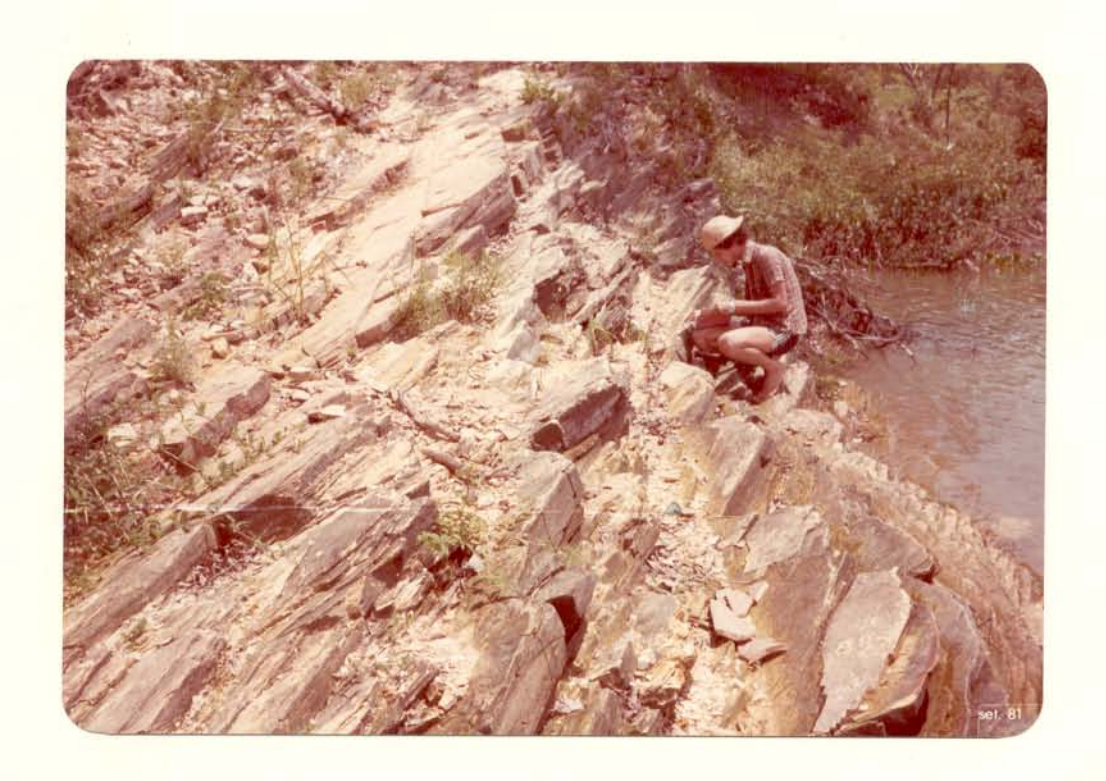


Figura 11 - Estratificação plano-paralela, inclinada e suavemente ondulada, desenvolvida em metargilitos e metassiltitos intercalados da Formação Couto Magalhães. Note a laminação subparalela à estratificação. Proximidade de Araguacema. Margem do rio Araguaia.

cl Metargilitos e metassiltitos

Na porção oeste da área intercala se na seqüência uma sé rie de metassedimentos com espessuras de poucos metros, incluindo metassiltitos e metargilitos avermelhados a amarelados, ní veis de cherts esbranquiçados a amarelados, bem estratificados, e metagrauvacas. Lentes de calcário com cores amareladas a esbranquiçadas formam frequentes cavidades e, as vezes, pequenas grutas como a NE de Araguacema. Todas essas rochas se apresentam em bons afloramentos ao longo do rio Araguaia, nas adjacências de Araguacema. Elas mostram feições tipicamente sedimentares bem preservadas como por exemplo, estratificações plano-paralelæ com mergulhos suaves ou dobras abertas (fig. 11), foliação meta mórfica incipiente é paralela a subparalela à estratificação.

Os contatos inferiores da Formação Couto Magalhães são de dois tipos. A leste é feito com rochas da Formação Pequizeiro sem que se observe qualquer mudança estrutural na passagem entre duas formações. Em relação ao metamorfismo, a passagem também gradual, havendo apenas mudanças litológicas, pois os da Formação Pequizeiro são predominantemente sericíticas e quecidos em magnetita. Pode ser que haja certa contemporaneidade na sedimentação das duas unidades, onde seus contatos seriam gra dativos ou, interdigitados parcialmente daí a dificuldade na sua caracterização. A oeste, a Formação Couto Magalhães repousa cordantemente sobre rochas do Complexo Xingu (Silva et alii, 1974; Puty et alii, 1972) contato este não observado na área já que aí não aflora esta unidade. As rochas da Formação Couto Magalhães na extremidade oeste da área, assemelham-se a coberturas formais, devido as suas características anquimetamórficas, estru turas subhorizontais com deformações incipientes.

3.2.2 Corpos Ultramáficos Metamorfizados

Ocorrem na área uma série de corpos ultramáficos localiza dos principalmente na sua metade oeste, no domínio da Formação Couto Magalhães, destacando-se mesmo a distâncias consideráveis, pelo fato de se destacarem topograficamente, formando morros e serras alongadas, com desníveis da ordem de 100 metros (fig. 12). A maioria dos corpos tem formato lentiforme, bem evidenciado pelos corpos das serras do Jacu, Morro do Salto, Pau Ferrado e Tra

vessão. Estes possuem dimensões médias da ordem de 4 km dimensãol por 500 metros. Alguns destes compõem-se da união pequenas lentes estreitas, alinhadas subparalelamente, corpos aparentemente maiores, que atingem dimensões da ordem 8 km. Os corpos maiores, como os de Morro Grande no centro da área e Morro do Agostinho, a poucos quilômetros a NE de Araguace ma, apresentam formatos mais irregulares, assemelhando-se "stocks" com dimensões de aproximadamente 10 km por 2-3 km, cons tatando-se sempre a tendência de suas dimensões maiores a rem posicionamentos submeridianos, concordantes com as estrutu ras dos filitos encaixantes. Além destes, há uma série de nos corpos disseminados, também na porção oeste da área. No tro da área onde há a maior predominância desses corpos e onde se encontram os corpos de dimensões maiores, há uma intima asso ciação com grandes falhamentos (zonas de falhas). Além disso, а grande maioria dos corpos da área ocorrem em zonas bastante tec tonizadas que os acompanham.

A maioria das observações foram obtidas nos corpos res, já que apresentam as melhores exposições das rochas ultramá ficas. Estes são representados principalmente por serpentinitos e outras rochas metamórficas, mostrando seu alojamento pré sin-tectônico. A maioria desses maciços mostra fácies de borda constituídos por metaultramafitos foliados, que se dispõem еm faixas métricas em torno do núcleo serpentinítico. Essas parecem descontínuas pois acham-se ausentes em certas partes.Com põem-se de rochas ricas em actinolita, talco e clorita. Observase gradações mineralógicas a partir dos núcleos dos corpos foliados e essencialmente serpentínicos, até as suas bordas clo ríticas e foliadas, definindo um zoneamento litológico. Não encontrou rochas máficas associadas a esses corpos.

Alguns corpos como o de morro do Pau Ferrado, são compos tos fundamentalmente por clorititos. Em todos, é encontrada uma capa silicosa, às vezes amorfa, comumente com hematita e magnetita disseminadas. Seus aspectos texturais são complexos, com foliações e venulações de quartzo irregulares e descontínuas e, "stockwork" (fig. 13). Em certos corpos, esses silexitos apresentam dezenas de metros de espessura como no morro do Agostinho, protegendo-os da erosão e dificultando a sua caracterização pois não afloram as rochas ultramáficas. Pequenas incrustações esver deadas de garnierita são às vezes encontradas no material silico



Figura 12 - Corpos serpentiníticos lentiformes (ao fundo) formando serras alinhadas submeridianamente. Morros do Salto e Pau Ferrado.



Figura 13 - Venulações irregulares de quartzo intersectando silexito hematítico ("stockwork"), tipicamente desenvolvidos nas partes superiores dos corpos serpentiníticos. Morro do Agostinho.

so. Petrograficamente são compostos principalmente por mosáicos granofilásticos de quartzo com lâm≹nas orientadas de hematita tergranular e pequenos cristais de magnetita disseminados. Algu mas vezes formam níveis centimétricos de hematita compacta. Suas colorações são predominantemente avermelhadas a rosadas e, ne gras. Acredita-se que esses silexitos resultem da liberação dе sílica durante os processos de serpentinização atuante nas ro chas ultramáficas, já que ocorrem intimamente ligados a esses corpos, ocupando preferencialmente as porções superiores. Turner e Verhoogen (1960) acentuam a existência de certo número de ca sos de silicificação regional em zonas de serpentinitos.

Em contato direto com as rochas ultramáficas, ocorrem leitos de espessuras métricas de cherts hematíticos às vezes itabiríticos com colorações predominantemente avermelhadas. São microcristalinos e compõem-se essencialmente de quartzo, hematita e magnetita. Alguns são compactos, muito silicificados e outros mostram-se friáveis, com quartzo finíssimo, pulverulento. Apresentam uma laminação muito bem desenvolvida (estratificação) e que formam dobras apertadas "en chevron" com eixos subverticais.

al Serpentinitos

A serpentinização atuou de maneira generalizada nestes corpos, sendo muito difícil encontrar vestígios da rocha nal. Apenas em algumas rochas, texturas reliqueares seus caracteres pretéritos ultramáficos. Os serpentinitos ocupam frequentemente o núcleo dos corpos e são rochas esverdeadas tonalidades variando de um verde escuro a verde claro e nantemente maciças. São compostas essencialmente por antigorita, espinelio e opacos (raramente talco e carbonato em alguns serpen tinitos), cortados por veios de crisotila. Muitas vezes é vel distinguir-se feições dos minerais originais como fos de olivina e piroxênio (fig. 14), acentuados por segregações de óxidos de ferro (exsolução) que ocupam as fraturas e gens dos minerais primitivos. No entanto, no caso geral tal ocorre, e as rochas são constituídas predominantemente por agre gados fibrolamelares de antigorita, intercrescidos ao acaso (fig. 151. Carbonato (secundário) ocorre raramente, assim como Essas rochas são cortadas por falhamentos, transformando-as calmente em serpentinitos xistosos (cataclásticos), que exibem uma xistosidade grosseira Canastomoseadal e, nas adjacências des

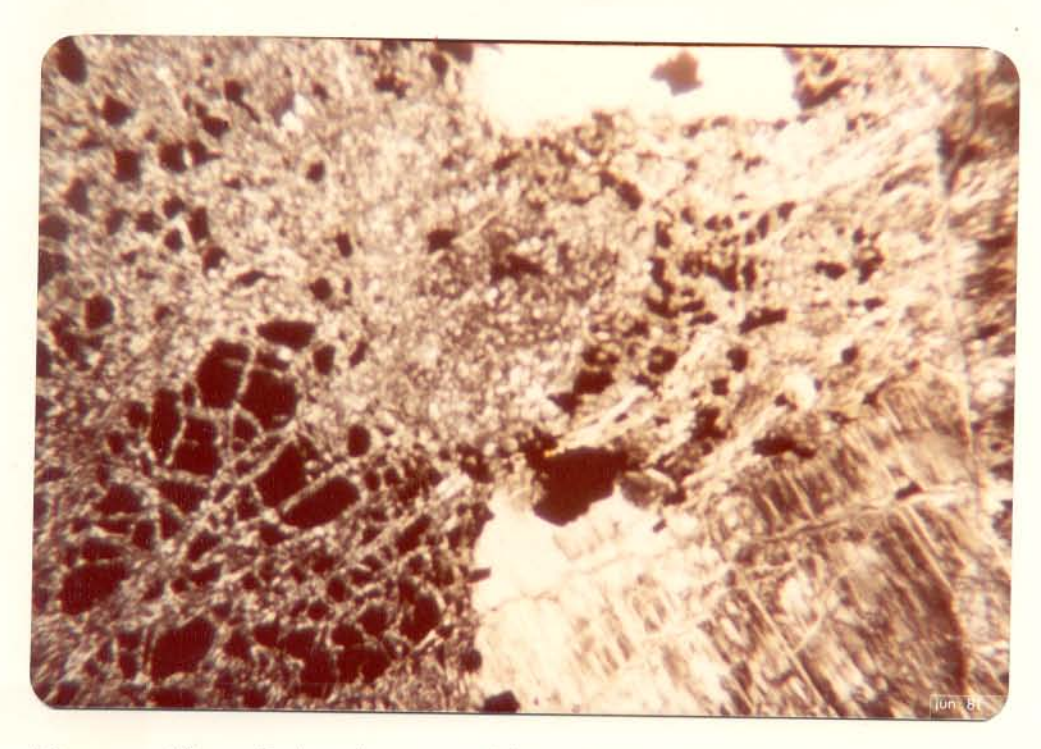


Figura 14 - Fotomicrografia. Pseudomorfos de antigorita a partir de olivina e piroxênio, acentuados por opacos (exsolução de óxidos de ferro) em serpentinitos. (PFO -G-661. NX, 188 X.



Figura 15 - Fotomicrografía. Textura típica dos serpentinitos da região, formada pelo intercrescimento de antigoritas fibrolamelares. (PFO-G-81). NX, 100 X.

tes, espelhos e estrias de falhas estão bem desenvolvidas (fig. 16 e 17).

bl Actinolititos, talco-actinolita xistos, talco xistos e esteatitos

Os actinolititos são rochas amareladas a esverdeadas quando intemperizadas tendem a colorações avermelhadas. Suas tex turas são nematoblásticas com orientação paralela a subparalela de cristais de actinolita, que é o mineral predominante, rendo em quantidades subordinadas talco e opacos. A nessas rochas forma cristais prismáticos, ripiformes a fibrosos com comprimentos centimétricos. Seu pleocroismo é fraco, de incolor (X) a verde pálido (Y,Z) e, seu ângulo de ção oscila em torno de 14º. Finas geminações polissintéticas são frequentes nesses cristais. Alguns cristais mostram-se curvados, com extinção ondulante e são frequentes fraturamentos ortogonais as clivagens (bem desenvolvidas) assim como "kink bands". O co forma agregados lamelares entre os cristais de actinolita, mos trando transformações de substituição quando está ao redor cristais de actinolita. Com o aumento⊕do teor em talco, e a dimi nuição concomitante de actinolita, essas rochas gradam para talco actinolita xistos e,em um estágio mais avançado transforma-se em esteatītos. Com esse aumento de talco, as rochas tornam-se foliadas, a actinolita assume aspecto mais fibroso e a sua granu lação diminui. Suas texturas são predominantemente nematoblásti cas, passando a lepidoblásticas com o predomínio do talco. Essas rochas têm colorações amareladas, semelhante às das demais ro chas. São compostas essencialmente de actinolita fibrosa e co, assemelhando-se às rochas anteriores. Nestes talco-actinolita xistos inicia-se o aparecimento da clorita, que forma lenticulares, descontínuas ou agregados lamelares. Raramente se encontram cristais de antigorita nesses talco-xistos. Leves cre nulações são bem evidenciadas, havendo recristalização de nolita. Acessoriamente ocorrem opacos, titanita e espinélio. Len tes de talco maciço (esteatito), de colorações predominantemente amareladas, acompanham as bordas dos corpos, sendo compostos talco lamelar, notando-se o desenvolvimento acessório de magneti ta perfeitamente cristalizadas.

cl Clorititos

As rochas junto à borda são representadas por clorititos,



Figura 16 - Aspecto anastomoseado da xistosidade desenvolvido ao longo de zonas de cizalhamento em serpentinitos, do Maciço de Morro Grande.



Figura 17 - Espelho e estrias de falha desenvolvidas em serpentinitos. Maciço de Morro Grande.

São rochas bastante densas, com xistosidade bem desenvolvida, apesar da granulação fina, e possuem colorações dominantemente es verdeadas (tonalidades escurasI que, com o intemperismo, tornando mais claras. Assemelham-se ao talco em função de brilho lustroso e untuosidades ao tato (sedosos quando intemperi zados). Em certos corpos verificam-se gradações para os metapelíticos encaixantes notando-se comportamentos estruturais concordantes, inclusive com microcrenulação e clivagem de ras associadas. São rochas lepidoblásticas compostas fundamental mente por clorita, na forma de pequenas palhetas orientadas, que definem foliações incipientes, mas penetrativa. Microporfiroblas tos de opacos, com formas retangulares ou quadrados, orientam-se paralela a subparalelamente à foliação. Vênulas de quartzo ou gregados microcristalinos associados com titanita, acompanham foliação. Há uma foliação obliqua a esta, que representa uma transposição, com "kinks" e recristalizações incipientes de clo rîta, parecendo pequenos cisalhamentos. Estes são amplamente senvolvidos nessas rochas e, em amostra de mão definem uma linea ção de interseção com os planos de xistosidade.

Em certos corpos, como no Morro Grande, além do talco e actinolita, ocorrem acessoriamente nessas rochas pequenos cristais prismáticos de turmalina disseminados, sendo que a maioria se dispõe paralela a subparalelamente à foliação. Suas cores variam de marrom rosado (X1 a verde escuro (Y, Z1 com forte pleo croísmo, tratando-se possivelmente de turmalina magnesiana (dravita). Titanita, apatita e zircão são os demais acessórios. Nos corpos menores a rocha dominante é cloritito, cujas foliações são mais incipientes, com características anastomoseadas, sem de finirem superfícies regulares. Talvez representem clorititos cataclásticos, já que, a rocha é parcialmente foliada, com agregados granulares de clorita-actinolita.

No maciço de Morro Grande são encontrados veios irregulares de turmalina, atravessando principalmente as rochas serpentiníticas do núcleo do complexo. Esses veios são constituídos es sencialmente por turmalina, que se apresenta em agregados de cristais bem desenvolvidos.

Rochas máficas não foram encontradas até o momento nesses corpos.

3.2.3 Peridotitos

No leito do río Araguaia, ocorre uma rocha ultramáfica com características bastante distintas das anteriores, tratandose de peridotito com serpentinização incipiente. Na serra de São José em Conceição do Araguaia, foi encontrado o mesmo tipo lito lógico. Ali trata-se de um corpo ultramáfico relativamente grande, intrusivo em quartzitos do Grupo Tocantins que formam a referida serra. No contato, os quartzitos acham-se bastante fraturados e, efeitos térmicos são evidentes com desenvolvimento de metamorfismo de contato, tornando o quartzito bem recristalizado, escurecido, e bastante maciço. A rocha ultramáfica é negra sendo cortada por veios milimétricos de crisotila.

Texturalmente são identificáveis "cumulus" de olivina "intercumulus" de clinopiroxênio e hornblenda (fig. 18). mente mostram aspectos poiquilíticos, com grandes cristais mórficos de hornblenda e clinopiroxênio, envolvendo cristais idi omórficos a hipidiomórficos de olivina (fig. 19). Constituem- se de olivina parcial a totalmente serpentinizada, conservando suas morfologias originais e, facilmente identificadas por suas estru turas em "mesh" antigoritizadas. A hornblenda tem pleocroísmo mui to forte, com cores variando de marrom avermelhado (Y, Z) a rom claro (X),e com ângulos de extinção da ordem de 12º. Local e raramente mostram transformações a partir do clinopiroxênio coloração neutra, e, com alta birrefringência, tendendo a uma composição augítica. A flogopita tem cores similares à da com forte pleocroísmo, variando de amarelo pálido a 🦈 incolor (XI, rosa (Y) a marrom avermelhado (Z), ocorrendo em quantidades menores. Os opacos preenchem frequentemente as fraturas dos cris tais de olivina ou ocupam as clivagens da mica, anfibólio e piro xênio o que indica seu caráter tardio. A rocha como um todo apre senta-se intensamente fraturada, observável ao microscópio cipalmente nos cristais de piroxênio. Estes mostram além de turamento uniforme, forte extinção ondulante. Segundo estimativa aproximada das percentagens dos minerais originais, a olivina dominante, ocupando teores da ordem de 60% e os outros 40% ocupados predominantemente pelo clinopiroxênio, seguido pela horn blenda e, acessoriamente a flogopita e os minerais opacos, sificando-se a rocha como hornblenda peridotito.

Quando as relações de campo destes corpos, seus aspectos

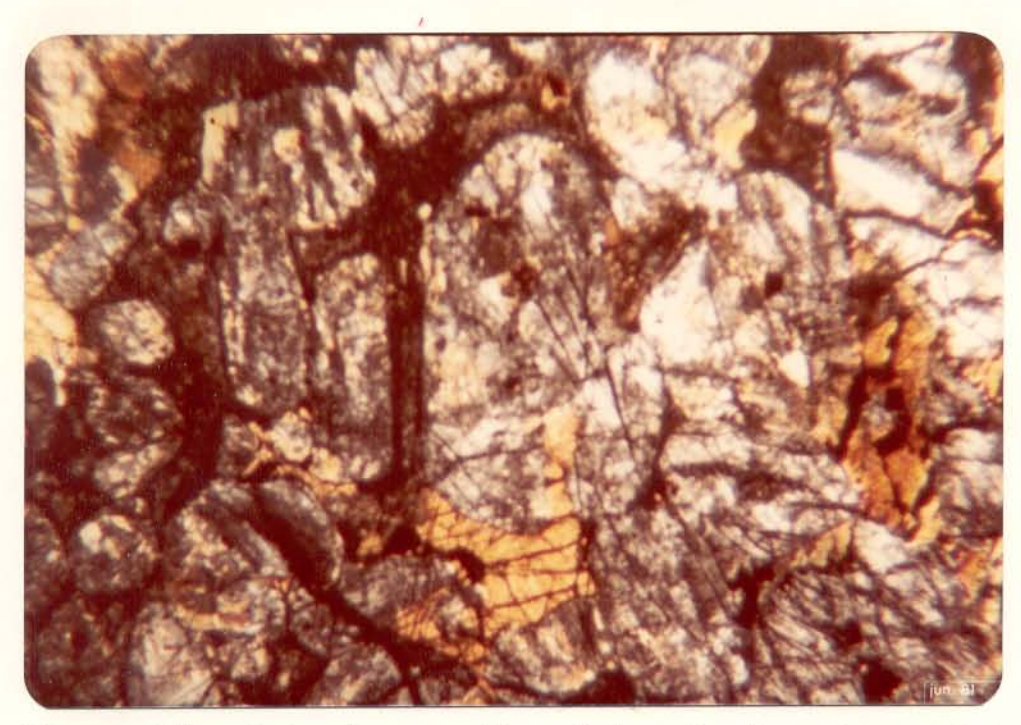


Figura 18 - Fotomicrografia. Cristais "cumulus" hipidiomórficos de olivina serpentinizada com "intercumulus" de clinopiroxênio xenomórficos em hornblenda-peridotito. (PFO-G-112). NX, 100 X.

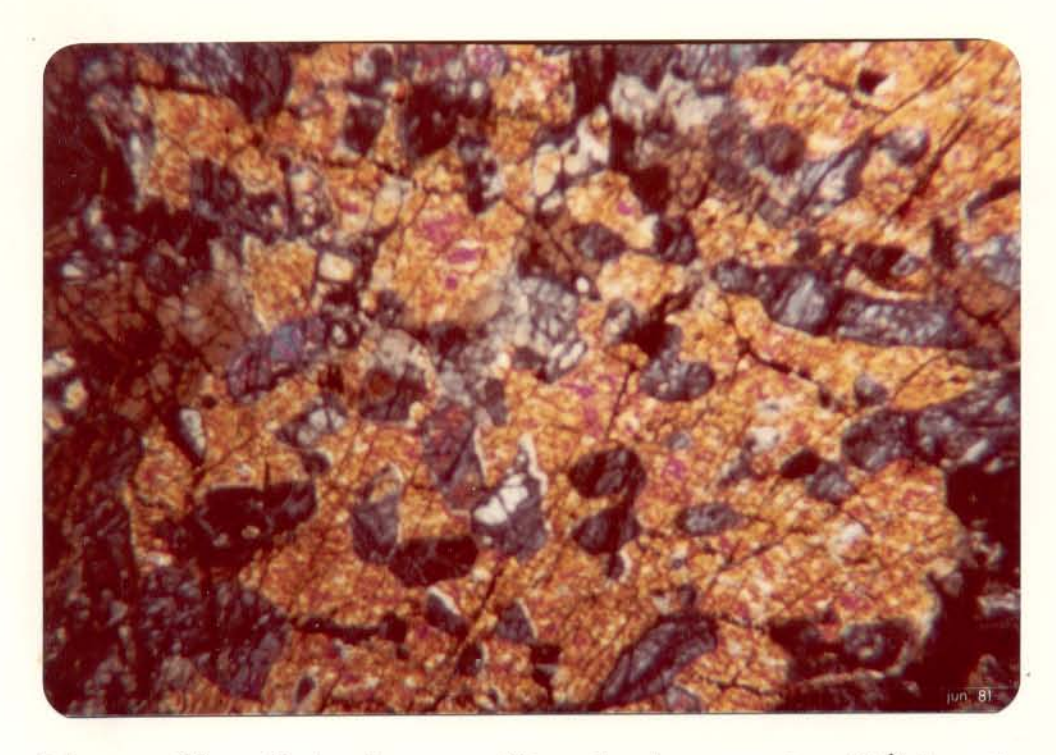


Figura 19 - Fotomicrografia. Textura poiquilítica de senvolvida em hornblenda-peridotito, com grande cristal xenomórfico de augita envolvendo olivinas parcialmente serpentinizadas. Observa-se também fratura-mentos nos cristais. (PFO-G-271. NX, 40 X.

petrográfico-mineralógico e composicionais são comparadas com as do centro da área, verificam-se diferenças acentuadas. Enquan to estas detem feições tipicamente de corpos tipo alpino com "emplacement" pré ou sin-tectônico, aqueles claramente foram alo jados em condições rígidas, pós-tectônicas, já que afetam termi camente os quartzitos encaixantes, É possível que estas intru sões tenham contribuido para o estabelecimento de feições anôma las como a da serra de São José, onde ocorrem fortes lineamentos na direção N30°W a N50°W, que aparecem isoladamente e contrastam com a direção normal dos lineamentos regionais submeridianos.

3.2.4 Diques Máficos

A presença de corpos máficos cortando rochas do Grupo To cantins já fora documentada por Barbosa et alii (1966), nos balhos do Projeto Araguaia. Ocorrem sob a forma de diques ou cor pos relativamente maiores (pequenos "stocks"), que se por vários quilômetros com espessuras da ordem de 100 metros.For mam enxames de diques subparalelos com disposição geral NNW. sub verticais. Suas regiões de ocorrência são, preferencialmente, porção oeste do Grupo Tocantins e raramente a região mais cen tral da área. Seus afloramentos são facilmente localizados leito do rio Araguaia, desde a cidade de Santana do Araguaia, até Conceição do Araguaia, onde, nas estações secas formam os dos "travessões do Araguaia", encachoeirando-o. Em terra, ocor rem mais frequentemente como "boulders" negros grosseiramente linhados, com frequente esfoliação esferoidal, compondo-se predo minantemente de diabásios finos a médios, gabros e leucogabros grosseiros.

al Diabásios

São rochas de coloração negra, mesocráticas, com textura subofítica bem definida e raros fenocristais de plagioclásio. São formados essencialmente por plagioclásio e clinopiroxênio e, a cessoriamente, por apatita, minerais opacos e quartzo, os dois últimos ocorrendo intersticialmente. O plagioclásio, de composição labradorítica (Ansa-62) forma cristais hipidiomórficos, ripifor mes exibindo zoneamento (mais evidente) nos cristais maiores. Suas geminações obedecem as leis da albita-carlabad e mais raramente periclina. Sericitização é rara e ausente na maioria das rochas.

O piroxênio é a pigeonita, que ocorre como cristais xenomórficos dispostos entre as ripas de plagioclásio; é incolor a amarelo pá lido, com birrefringência moderada inferior a superior e pequeno ângulo 2V. Alguns cristais mostram-se geminados e, leve uralitização transforma as suas bordas em hornblenda verde e biotita. A olivina é rara e, quando ocorre, mostra-se totalmente transforma da para iddingsita.

bl Gabros

Os gabros e leucogabros são menos frequentes que os diabá sios. Formam corpos relativamente maiores, mais largos e com com primentos menores, configurando pequenos "stocks". Estão xados em filitos que nos contatos se tornam endurecidos e silici ficados formando-se finas auréolas metamórficas. São rochas granulação grosseira com cristais de plagioclásio ripiformes de até 5 cm de comprimento. Exibem textura granular hipidiomórfica localmente offitica. Mineralogicamente, são bastante semelhantes aos diabásios, mas são rochas mais claras, acinzentadas, com ten dência leucocrática, (índice de cor na faixa de 30 a 40) aos seus teores elevados de plagioclásio e menores de piroxênio. O plagioclásio é subédrico, exibindo forte zoneamento e com clusões de outros minerais principalmente piroxênio e Seus núcleos são mais cálcicos com composição bytownita (An₇₅) e bordas de labradoríta (Anso). O piroxênio é menos frequente mostra comumente uma transformação para hornblenda e mais rara mente aparece biotita a partir da hornblenda. A olivina é mais freqüente que nos diabásios. Alguns cristais estão mente transformados para iddingsita, sendo mais frequentes alte rações parciais, limitadas às fraturas dos cristais. Minerais pacos, quartzo e apatita são os acessórios comuns, sendo os dois primeiros minerais intersticiais e estando o quartzo intercres cido graficamente possivelmente com o feldspato potássico.

Datações radiométricas K/Ar, efetuadas em três amostras de gabros da região de Conceição do Araguaia, forneceram idades de 780 ± 12 ma.; 480 ± 22 ma., e 565 ± 6 ma. citadas por Hasui et alii (1980). Uma datação de K/Ar efetuada por nós em amostra da borda resfriada de um dique da área, forneceu idade de 547±15 ma. Apesar da não homogeneidade desses valores, parece tratar-se de eventos que datam do final do Ciclo Brasiliano, permitindo des cartar qualquer relação cogenética com o magmatismo basáltico to

leítico da bacia do Parnaíba de idades Jurássico-Cretáceo como havia sido sugerido por exemplo, por Abreu (1978).

Não foi possível estabelecer a cronologia relativa entre esses corpos e os sedimentos da Formação Rio das Barreiras pois ocorrem em áreas distintas e restritas. Como ambos se acham relacionados a eventos rupturais tardios, suas idades devem ser próximas. Na coluna estratigráfica, apresentada os corpos peridotíticos e máficos são situados abaixo da Formação Rio das Barreiras por questão de opção.

3.2.5 Formação Rio das Barreiras

Esta unidade foi inicialmente caracterizada durante os trabalhos do Projeto Guaraí-Conceição (convênio DNPM-UFPa), por Guerreiro e Silva (1976) que a denominaram informalmente de "conglomerado Rio das Barreiras". Hasui et alii (1977) consideram-na como uma Formação.

É composta essencialmente de conglomerados polimíticos com uma variedade de seixos das rochas adjacentes como filitos crenu lados, quartzo de veio, quartzitos, silexitos e cherts ferrugino sos e brechóides. Sua matriz é síltico-argilosa. Abreu (1978) ci ta a existência de cimento carbonático. Esses conglomerados alternados por níveis métricos de siltitos conglomeráticos e sil titos, que predominam no topo da sequência. Distribuem-se línguas irregulares na porção centro-leste da área, envolvendo áreas de alguns quilômetros quadrados, parecendo representar res tos de uma bacia alongada submeridianamente, como bem acentua A breu (1978). Sua espessura parece não ser grande, variando de pou cos metros a um máximo de 50 metros. Assenta discordantemente so bre as rochas do Grupo Tocantins (fig. 20) e dispõe-se preferen cialmente nas adjacências do limite entre as formações ro e Couto Magalhães e sempre a leste dos corpos serpentiníticos. Os seus limites laterais são feitos por pequenos falhamentos gravidade estando as seqüências encaixadas em pequenos "grabens", bem evidenciados na pequena bacia a leste do Morro do Jacu. estratificação não é clara mas pode ser caracterizada pela alter nância de estratos conglomeráticos e sílticos, observando-se al gumas vezes estratificação gradativa de um extremo para

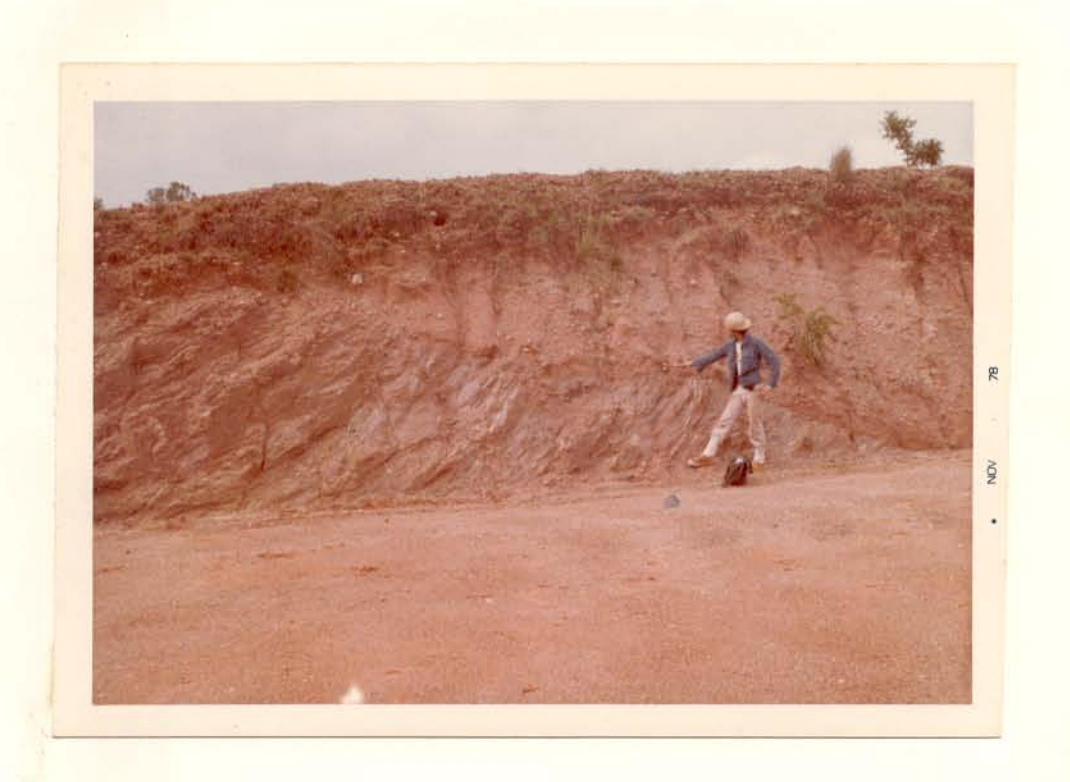


Figura 20 - Contato discordante entre mica-xistos da Formação Pequizeiro e conglomerados da Formação Rio das Barreiras. Rodovia GO-70 entre Pequizeiro e Couto Magalhães.

pela diminuição mais ou menos regular dos seixos. Os níveis de seixos dentro dos siltitos, a estratificação nos materiais finos e o empacotamento de seixos tabulares de filitos, evidenciam a disposição horizontal a subhorizontal da estratificação nessas rochas. Não mostram qualquer efeito de metamorfismo ou deformação possuindo compactação média e sendo algumas vezes friáveis. Os siltitos apresentam colorações predominantemente avermelhadas e algumas vezes amareladas.

Essas rochas são facilmente identificadas tanto em foto grafias aéreas, como no campo por apresentarem padrões dentríticos com alta densidade que ressaltam nas fotos e podem ser veri ficadas no campo. Nas áreas sílticas, desenvolvem-se extensos areais planos, formando "plateaus". Árvores de mangabeira volvem-se preferencialmente nessas regiões, podendo a sua ça funcionar como um critério auxiliar de mapeamento. Barbosa alii (1966) correlacionaram esta unidade à Formação Piauí, Abreu (1978) acentuado a flagrante diferença, entre elas e, segun do o último autor, a Formação Rio das Barreiras parece tar "restos de uma seqüência desenvolvada numa fase final do clo que edificou a faixa de dobramentos (Brasiliano) em uma bacia intermontana".

3.3 Aspectos Geocronológicos

Os dados radiométricos disponíveis até o presente para o Grupo Tocantins são ainda incipientes para se estabelecerem con clusões definitivas a respeito da idade desta unidade, mas as $d\underline{a}$ tações existentes permitem algumas considerações.

Na região de Tucuruí foram datados filitos da Formação Couto Magalhães que forneceram isócrona Rb-Sr de 850 m.a., idade esta que Hasui et alii (1980) consideram como resultante do rea quecimento induzido pela falha de empurrão de Tucuruí. Datações K-Ar realizadas no plagioclásio de gabros da região de Conceição do Araguaia, indicaram valores de 780, 560 e 480 m.a. (Hasui et alii, 1980]. Uma nova datação efetuada em material da borda res friada de um dique de diabásio forneceu idade de 547±15 m.a. As datações K-Ar efetuadas em rochas do Grupo Estrondo dão valores que variam de 426 a 581 m.a. (Hasui et alii, 1975]. Os resultados mais recentes em rochas do Grupo Estrondo apresentam um isó

crona Rb-Sr com valor de 1.050 m.a, atribuído ao metamorfismo regional que afetou esta unidade (Hasui et alii, 1980).

Assim, o quadro geocronológico para o Grupo Tocantins não se acha bem estabelecido, mas em vista dos resultados regionais é possível caracterizar importante evento térmico no Ciclo Brasi liano que afetou as rochas do Supergrupo Baixo Araguaia. As data ções nos corpos máficos indicam idades Brasilianas e, como tam rochas do Grupo Tocantins e não mostram efeitos nais ou metamórficos, pode-se assumir como a idade mínima para esta unidade. O significado daquele valor mais elevado para corpo não se acha bem estabelecido mas pode representar um to magmático mais antigo, o que carece ainda de confirmação. valor isocrônico de 1.050 m.a. atribuível ao metamorfismo nal e a isócrona obtida em Tucurui de 850 m.a., sugere a ca de eventos mais antigos (Uruaçuano) afetando rochas do grupo Baixo Araguaia mas, devem-se tratar esses valores com re salvas até que novos dados sejam acrescidos.

4 ESTRUTURAS

4.1 Introdução

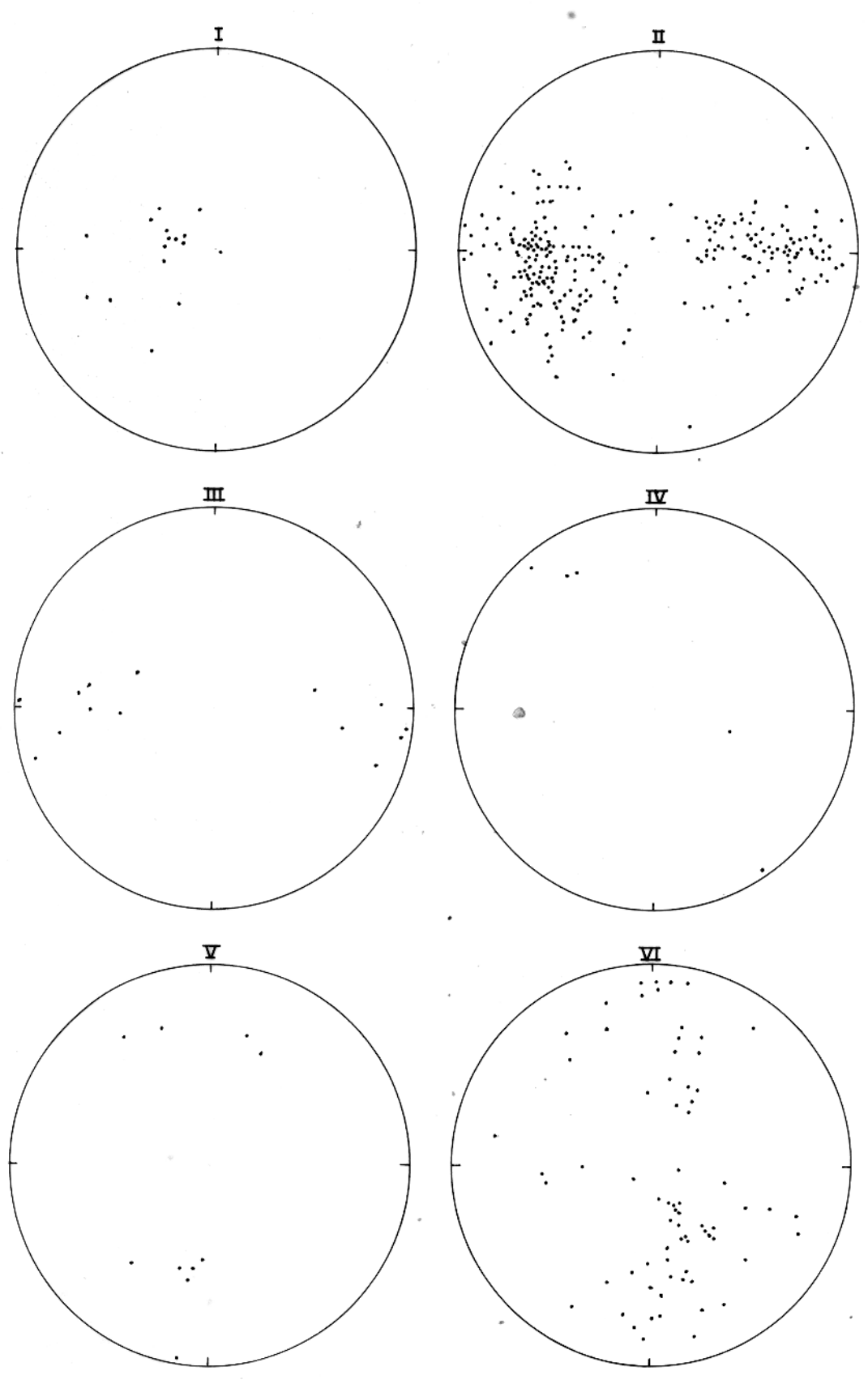
As observações efetuadas ao longo dos caminhamentos se de tiveram em parte nas feições estruturais desenvolvidas nos meta morfitos. As estruturas reconhecidas serão aqui tratadas separa damente em dois grupos: estruturas primárias e tectógenas.

4.2 <u>Estruturas Primárias</u>

São representadas especialmente pela estratificação (So). Essa estrutura é visível apenas nas regiões de menor grau mórfico, isto é, no limite oeste da área e, vai desaparecendo gra dualmente no sentido leste, obscurecida pelas recristalização deformação superimpostas. As estruturas primárias são muito regu lares, destacando-se entre elas as estratificações plano- parale las, com espaçamentos centimétricos em um mesmo material que,por sua vez, possui intercalações métricas com materiais mais ou de composição diferente (alternância de metassiltito, metargi lito, calcário e chert). Nas regiões onde ocorrem rochas mais pelíticas, níveis centimétricos a métricos de quartzitos repre sentam variações na sedimentação dos materiais originais. mente, níveis de chert hematítico e itabirítico, associados corpos serpentiníticos, são bastante laminados paralelamente.Con centrações de cromita (cromitito) e texturas ígneas reliquiares, representam estruturas magmáticas preservadas. As poucas medidas do acamamento obtidas, provém principalmente do domínio oeste da área e acham-se representadas na fig.21 I.Nesta observa-se certa regularidade, com concentração dos polos no domínio WNW,in dicando am direção preferencial NNE-SSW com caimentos entre 20 e 40⁰ para SW. A dispersão de algumas medidas é devida às ondula cões.

4.3 Estruturas Tectógenas

Estruturas planares e lineares de diferentes tipos e gerações, estão bem desenvolvidas nas rochas do Grupo Tocantins. São representadas pela xistosidade, bandeamento, clivagem ardosiana



- Polos da estratificação. Formação Couto Magalhães. Área de Araguacema Polos da xistosidade. Grupo Tocantins Padrão Regional Polos da clivagem de crenulação. Formação Pequizeiro

- III Polos da crivagem de crenulação. Formação Pequizeiro
 IV Lineação mineral. Formação Pequizeiro
 V Eixos de dobras da xistosidade Grupo Tocantins
 VI Eixos de dobras da crenulação Formação Pequizeiro

Figura 21 - Representação polar das principais feições estruturais do Grupo Tocantins.

clivagem de crenulação, clivagem de fratura, lineações minerais, lineações de interseção, dobras e descontinuidades.

4.3.1 Foliações

4.3.1.1 Xistosidade

É uma estrutura penetrativa e de caráter regional no domínio do Grupo Tocantins, sendo definida pela orientação paralela a subparalela de minerais micáceos, prismáticos e grânulos elongados de outros minerais. Pode ser facilmente observada nos micaxistos da Formação Pequizeiro, passando gradativamente para uma clivagem ardosiana nos materiais de granulação mais fina representados pelos filitos, ardósia e metagrauvaca no extremo oes te da área, tornando-se incipiente e, às vezes reconhecível apenas microscopicamente.

4.3.1.2 Bandeamento

É uma estrutura planar que ocofre apenas nos micaxistos da Formação Pequizeiro (fig. 5). Definida pela presença de microlei tos contínuos, com alternância de faixas de composição diferen te. Existem bandas de cor, cinza esverdeada em que os filossilicatos (especialmente clorita e moscovita) e epidoto, e bandas claras, dominadas por quartzo, plagioclásio e carbonato. Essa estrutura é definida por alguns autores (Hobbs et alii,1976) como aleitamento diferenciado - "differentiated layering" do formada por processos metamórficos durante a deformação, se descartando a possibilidade de representarem estruturas resul tantes do processo de transposição por dobramento da estratifica ção (So), estabelecendo-se dessa forma uma pseudo-estratificação, (S₁), (Hobbs et alii, 1976). Na área têm sempre atitudes la à xistosidade. A figura 21.II mostra o comportamento geral da xistosidade e bandeamento na área. Observa-se uma orientação pre ferencial submeridiana com caimentos variáveis para este e oeste, refletindo a fase principal de dobramento. A grande dispersão dos polos evidencia dobramentos posteriores.

4.3.1.3 Clivagem de Crenulação

É uma estrutura penetrativa de caráter regional, desenvol

vida nos metamorfitos. A clivagem de crenulação forma superfícies mais ou menos regulares responsáveis pela transposição de xistosi dade estando associada ao evento deformacional F3. Quando se senvolve o plano de cizalhamento, há uma orientação dos minerais (mecanicamente) que leva à transposição da xistosidade. Nestes pla nos muitas vezes há o desenvolvimento de cristais de micas orientados paralela à subparalelamente. Nos casos em que não se festa planos de cizalhamento há como que um adelgaçamento dos flan cos e espessamento nos ápices das microdobras. Nas áreas de maior grau metamórfico, formam superfícies de até 1 cm, dominadas faixas quartzosas e micaceas (fig. 22 e 23). Essa clivagem dimi nui gradativamente de intensidade para oeste, ocorrendo o com as dobras de crenulação. Constatam-se também incipientes ciza lhamentos e, aparentemente, o espaçamento entre os planos torna se mais denso para oeste. No domínio dos filitos, verificam-se di minutos deslocamentos ao longo dos planos de clivagem e, nas cas apenas encurvamento e recristalização incipientes. As gens de crenulação gradam para clivagens de fratura nos ardosianos.

O processo de crenulação em escala mesoscópica, gera dobras abertas, em consequência de pequenos deslocamentos da xistosidade ao longos dos planos de cizalhamento (fig. 23). Essas dobras apresentam dimensões desde decimétricas até decamétricas ou memos quilométricas. As poucas medidas obtidas dessas estruturas (fig. 21.III) mostram disposições predominantemente submeridianas e de caimento variável para leste e oeste.

4.3.2 Lineações

4.3.2.1 Lineação Mineral

Nas rochas do Grupo Tocantins é representada basicamente pela orientação de filossilicatos, especialmente moscovita e clorita, desenvolvida nas superfícies de xistosidade, estando melhor caracterizada nos planos entre leitos micáceos e quartzosos. As lineações minerais medidas estão representados na fig. 21.IV onde acusam um "trend" predominante NW-SE e mergulhos suaves, variando de subhorizontais até 200, para os dois quadrantes. Outra lineação mineral, encontrada somente nos domínios da Formação Pequizeiro, desenvolve-se nos planos de transposição, sendo possi velmente gerada pelos movimentos relativos ao longo dessas super



Figura 22 - Clivagem de crenulação (S₃) resultante da intensa transposição da xistosidade (S₁I e do bandeamento (A₁I desenvolvida em quartzo xisto da Formação Pequizeiro. Rodovia GO-70, próximo a Novo Plano.



Figura 23 - Clivagem de crenulação (S_3) desenvolvida em micaxistos (intemperizados) da Formação Pequizeiro. Observa-se a ondulação da xistosidade devido aos movimentos relativos ao longo dos planos de crenulação. Rodovia GO-70, entre Pequizeiro e Couto Magalhães.

fícies.

4.3.2.2 Lineação de Interseção

É uma forte lineação desenvolvida nas rochas das Forma ções Pequizeiro e Couto Magalhães dada pela interseção da xisto sidade com a clivagem de crenulação, tendo aproximadamente os mesmos comportamentos dos eixos das dobras de crenulação (figs.22, 23 e 21.VI), com atitude preferencial N-S. Possivelmente é para lela às feições lineares mais marcantes observadas nas fotografias aéreas.

4.3.2.3 Lineação B

Refere-se especificamente aos eixos de dobras desenhadas pela xistosidade, já que as dobras da estratificação são muito localizadas não permitindo compor diagramas representativos. Es sas dobras definem eixos submeridianos com caimentos varíáveis para norte e para sul, representando um conjunto de dobras que variam de dimensões métricas até crentilações microscópicas com comportamentos semelhantes (figuras 21.V e VI). As variações de algumas medidas refletem proximidade de falhas.

4.3.3 Dobras

Dobras de vários tipos, representando diferentes gerações desenvolvem-se em escalas variáveis, de milimétricas a quilom $\underline{\acute{e}}$ tricas, nas unidades estudadas.

4.3.3.1 Dobras da Estratificação (So)

São dobras locais, tendo sido observadas principalmente nas rochas da Formação Couto Magalhães das regiões de grau meta mórfico mais baixo e nos estratos mais competentes. Nestas regiões menos metamorfizadas, os estratos definem dobras abertas de dimensões métricas (fig. 24). A foliação (S_1), acompanha sub paralelamente a estratificação.

Já no domínio dos filitos da Formação Couto Magalhães, um pouco mais a leste, definem dobras isoclinais, localmente recu<u>m</u> bentes, com ápices espessados. Essas dobras atingem dimensões



Figura 24 - Dobras abertas da estratificação, desenvolvidas em metassiltitos e metargilitos intercalados da Formação Couto Magalhães. Araguacema.

decimétricas. Os dobramentos isoclinais têm seus planos axiais paralelos à xistosidade e vergência voltada para oeste. Seus ei xos têm orientação submeridiana, não sendo possível precisar seus caimentos, embora pareçam subhorizontais.

Dobras apertadas, "en chevron" (fig. 25) desenvolvem-se 10 calmente em níveis de chert hematítico, associados aos corpos ul tramáficos notando-se rompimentos plano axiais e eixos subverticais. Possivelmente estão relacionadas aos falhamentos adjacentes.

4.3.3.2 Dobras da Xistosidade

A presença de dobras desenhadas pela xistosidade e bande amento, é um fato marcante nas litologias do Grupo Tocantins e especialmente nas rochas da Formação Pequizeiro. São dobras as simétricas, com ápices pouco espessados. Trata-se de dobramento linear, holomórfico, com dobras de dimensões da ordem de metros, em alternância de pequenos anticlinais e sinclinais (fig. 26)que, possivelmente, compõem dobramentos majores de dimensões quilomé tricas. Seus planos axiais e eixos de dobra são facilmente visua lizados nos diagramas estereográficos (figuras 21.II e V), estan do orientados na direção NNE-SSW, com planos axiais voltados para oeste. As variações dos eixos para NW (fig. 21.V), correspon dem possivelmente a efeitos localizados, devidos à proximidade de falhas, ou a modificações por efeito da crenulação.

4.3.3.3 Crenulação

Essas dobras representam a feição mais conspícua nos meta morfitos da Formação Pequizeiro, caracterizando-se por microdo bramento, reconhecido desde escalas microscópicas até mesoscopicamente, que é mais acentuado no material essencialmente pelítico (fig. 5 e 6). A elas está associada uma forte clivagem de crenulação (fig. 22 e 23). Podem ser simétricas ou assimétricas, con forme localizem-se nos ápices ou flancos das dobras maiores. Seus eixos e planos axiais são predominantemente submeridianos, com algumas dispersões para SSE-NNW e NNE-SSW e caimentos para norte e para sul (fig. 21.III e VI), com planos axiais subverticais.

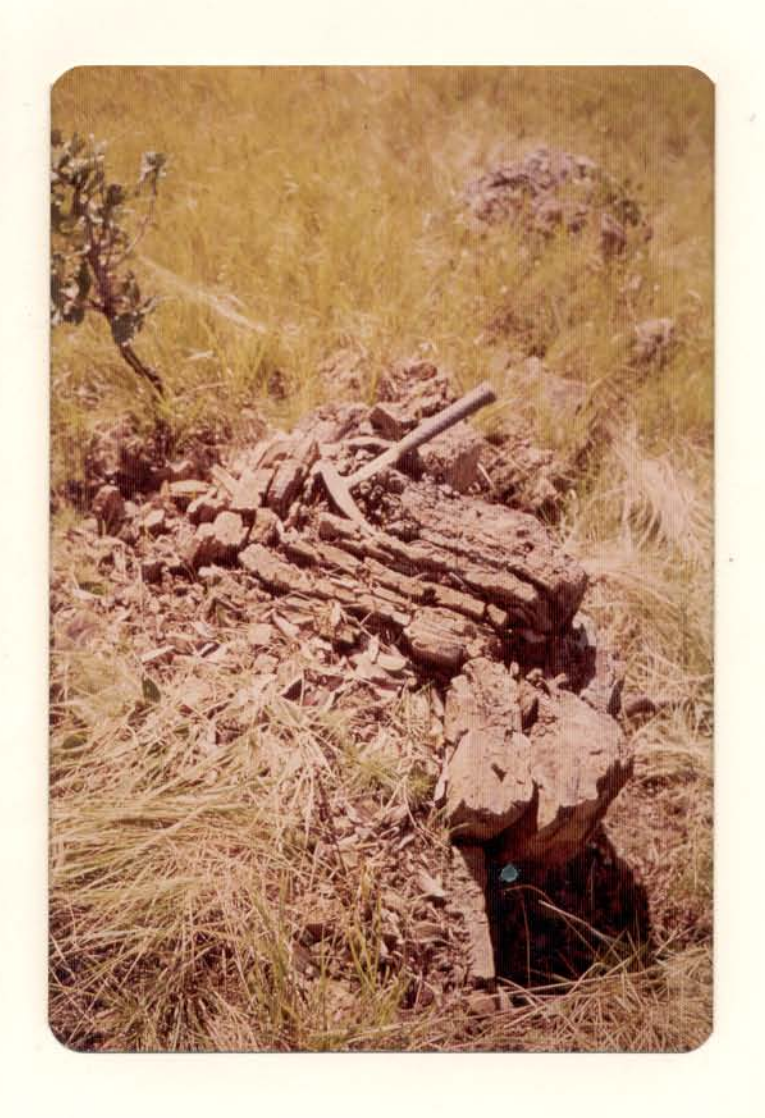


Figura 25 - Dobras "en chevron" desenvolvidos em metachert associado com rochas ultramáficas. No ta-se o mergulho subvertical de seus eixos. Mor ro do Pau Ferrado.

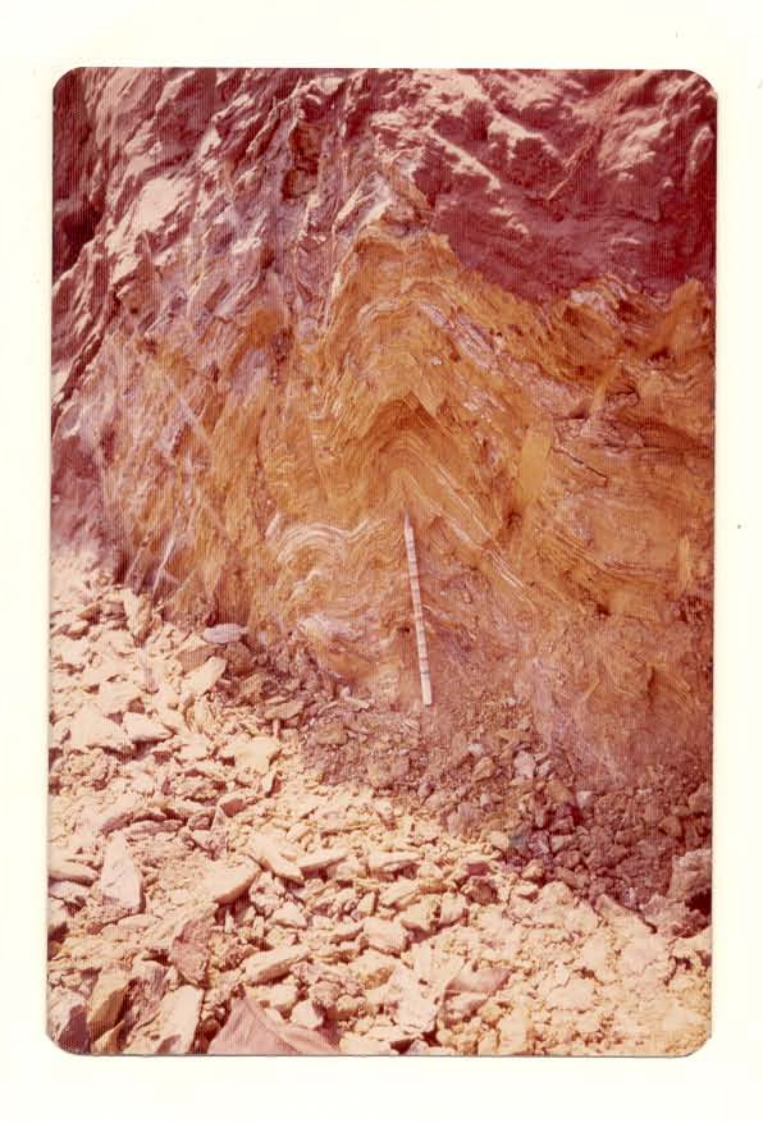


Figura 26 - Dobras da xistosidade-bandeamento com ápices pouco espessados, desenvolvidas em F2, em xistos (intemperizados) da Formação Pequizeiro. Rodovia GO-70 entre Pequizeiro e Couto Magalhães.

4.3.4 Descontinuidades

Representam as deformações finais que afetaram o Grupo Tocantins como falhamentos e fraturamentos.

4.3.4.1 Falhas e Fraturas

Dois conjuntos de falhas foram caracterizados na área. primeiro é representado por falhas de gravidade, possivelmente de alto ângulo, com direções principais N2OW e N1OE. Elas se dem por alguns quilômetros, formando pequenos "grabens" onde depositou a Formação Rio das Barreiras. Um outro falhamento, а travessando a área como um todo e, possivelmente com continuida de regional tem direção preferencial N10ºE subvertical e, um con junto de falhas menores acha-se associada, definindo uma deira zona de cizalhamento (Anexo 2). Estão intimamente nados a estas zonas, um conjunto de corpos ultramáficos lentifor mes, alinhados segundo a direção geral dos falhamentos. Espelhos, e estrias de falhas, com serpentina recristalizada e serpentini tos cizalhados, com uma xistosidade anastomoseada, evidenciam que os falhamentos atingiram os corpos. A disposição regular corpos e sua distribuição coincidente com os falhamentos uma relação genética entre eles. Na literatura geológica (Wyllie, 1967], é frequente a associação desses tipos de corpos com zonas tectonizadas, e persistem dúvidas a respeito do posicionamento temporal dessas falhas, isto é, se o falhamento condicionou o po sicionamento dos corpos ou se os corpos condicionaram os mentos. Possivelmente na área tratam-se de falhas pretéritas rea tivadas tardiamente na evolução da Faixa Araguaia porque os pos se alinham e são cortados por elas.

As rochas adjacentes às zonas de falhas mostram fortes "kink bands" ou dobramentos "en chevron" de suas foliações com rompimentos paralelos aos plano axiais, muitas vezes preenchidos por veios de quartzo relacionados aos falhamentos.

Duas famílias de juntas subverticais são facilmente distingüidas na área, uma com direção preferencial N15ºE a N30ºE e outra com direção variando de N10ºW a N25ºW. A esta última encontra-se associada uma série de diques máficos com direção N10ºW. Não foram efetuados trabalhos de maior detalhe nessas estruturas.

4.3.4.2 Veios de Quartzo /

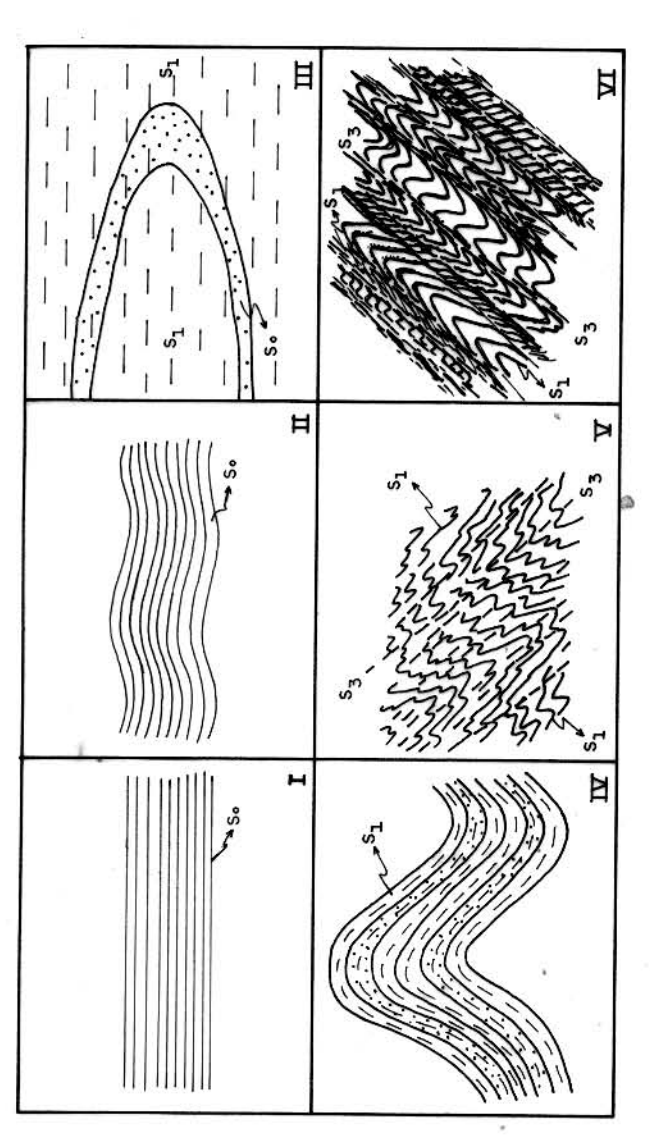
Veios de quartzo de vários tamanhos, desde escalas centimétricas até centena de metros se encontram principalmente nas litologias da Formação Pequizeiro, onde a garimpagem de cristal de rocha foi bastante desenvolvida no pós-guerra, existindo ain da hoje o comércio desse mineral na cidade de Pequizeiro. Algumas vezes formam grandes bolsões com larguras superiores a 500 m constituindo verdadeiros morros. O número de variedades de quart zo é bastante grande: quartzo leitoso, enfumaçado e, frequente mente, quartzo transparente com terminações bem formadas. São tanto concordantes, como discordantes com as estruturas dos metamorfitos, constituindo pelo menos duas gerações.

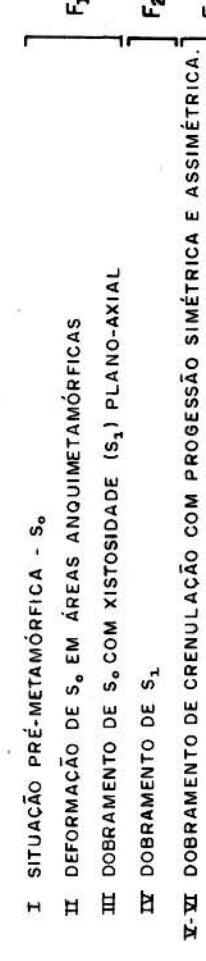
4.4 História Deformacional

Os dados estruturais apresentados permitem estabelecer uma história deformacional para o Grupo Tocantins, representada por três fases de deformação plástica denôminadas F_1 , F_2 e F_3 e uma etapa de tectônica rúptil. As mesmas já foram reconhecidas regionalmente nas litologias do Grupo Estrondo por Abreu (1978).

O primeiro evento deformacional (F_1) , reconhecido nas $1\underline{i}$ tologias da Formação Couto Magalhães é representada por dobras da estratificação com estilos abertos a isoclinais, com ápices espessados (Fig. 27, II e III), reversas e localmente recumbentes. Simultaneamente desenvolveu-se uma xistosidade plano- axial (S_1) e um bandeamento quartzo-micáceo (A_1) penetrativo nas litologias da Formação Pequizeiro. Uma lineação paralela aos eixos das dobras (L_1) foi formada resultante da interseção de So por S_1 , A_1 . Acompanhou esta fase o metamorfismo regional do Grupo Tocantins.

No segundo evento (F_2) , gerou-se dobras da xistosidade, assimétricas, com ápices pouco espessados e dimensões da ordem de dezenas de metros, que no conjunto compõem um dobramento linear (holomórfico) com direções gerais submeridianas e planos a xiais com caimentos para leste. Uma lineação mineral (L_2) foi de senvolvida nos planos de xistosidade paralela aos eixos das dobras.





TRANSPOSICÃO DE S1 COM FORMAÇÃO DA CLIVAGEM DE CRENULAÇÃO (S3)

Figura 27 - Esquema evolutivo da deformação.

Na fase de deformação F3 desenvolveu-se com maior inten sidade nas rochas da Formação Pequizeiro, uma pronunciada crenu lação em que a xistosidade e o bandeamento foram microdobrados e, nos estágios mais evoluídos, formou-se uma forte clivagem de nulação (S3) (Fig. 27.V e VII, com neo-crescimento de micas e for mação de um bandeamento A3, resultante da transposição de S1 e A1. Simultaneamente desenvolveu-se uma lineação de interseção, $(A_1 - S_1 \times S_3 - A_3)$, paralelamente às superfícies da clivagem crenulação. Ainda neste evento, desenvolveu-se nos planos de nulação uma forte lineação mineral (L3') formada exprincipalmente por micas. As últimas deformações, representam uma etapa de tectô nica rúptil, que é responsável por descontinuidades nas gias do Grupo Tocantins. Foram geradas e reativadas falhas e turas. Cizalhamento ao longo dos planos de falhas, resultou no parecimento de "kink bands" e dobras "en chevron" nas rochas ad jacentes. Injeção de material máfico associa-se a uma família de juntas, especialmente aquela de disposição NNW, fechando assim ciclo tectogênico. A fig. 27 resume esta evolução.

5 GEOQUÍMICA

Um total de vinte e seis amostras de rochas metamórficas, foram analisadas quimicamente e plotadas em diagramas ACF e A'KF. Para facilitar as correlações geológicas, foram separadas em três grupos principais: 1) ardósias e filitos da Formação Couto Magalhães, 2) Micaxistos e filitos pertencentes à Formação Pequizeiro e, 3) Metaultramafitos. Foram plotadas ainda, para efeitos de comparação, quatro amostras de micaxistos do Grupo Estrondo da região de Colmeia, adjacente e a leste da área de trabalho, analisadas por Silva (1980).

5.1 Metamorfitos das Formações Pequizeiro e Couto Magalhães

São representados por doze amostras (tabela 1) sendo oito de micaxistos e filitos da Formação Pequizeiro e quatro de sias e filitos da Formação Couto Magalhães e, estão plotados nos diagramas ACF e A'KF da fig. 28. No diagrama ACF, os micaxistos da Formação Pequizeiro situam-se no campo das argilas e lhos ricos em A ℓ definidos por Winkler (1976) (duas amostras),en quanto que as restantes seis amostras, definem um campo que se so brepõe parcialmente ao campo das grauvacas e pelitos com teor em Al. Destas amostras, três plotam no campo das gravaucas, duas no campo das argilas, e uma no limite deste campo com o das gravaucas, definindo assim um quimismo predominante de grauvaca a pelito dado por uma variação relativa de C enquanto os parame tros A e F são aproximadamente constantes. No diagrama A'KF seus comportamentos não sofrem muita variação, situando-se a maioria (5 amostras) no campo das grauvacas embora três amostras, um pou co mais aluminosas, tendam para o vértice A'.

As rochas da Formação Couto Magalhães, ocupam áreas diferentes das anteriores. No diagrama ACF, alinham-se na face AF com valores moderados de A, e valores muito baixos de cálcio com exceção apenas de uma amostra que plota no campo das grauvacas. Já no diagrama A'KF mostram uma dispersão bastante grande, com uma amostra situando-se no campo das grauvacas, duas outras no das argilas e próximas do campo das grauvacas e, uma última aproximando-se do vértice K.

Tabela 1 - Análises Químicas dos Metamorfitos do Grupo Tocantins (% em peso)

MÉDIA*	60,18	0,92	18,86	3,63	2,98	0,07	1,72	1,05	1,81	5,09	0,16	2,52	98,89
8 6-38	94,44	0,19	6,59	1,11	0,18	0,02	0,15	0,07	0,19	1,50	0,01	1,14	105,58
7 6-35	47,70	1,30	26,41	8,00	0,24	90,0	1,07	90,0	0,03	8,72	0,03	4,64	98,28
6-103	54,96	1,04	21,55	3,60	3,91	0,08	2,61	1,45	1,24	6,21	0,23	2,17	30,08
5 6-32	64,94	0,75	15,81	2,19	3,18	80,0	1,53	2,22	2,90	3,43	0,17	1,08	98,28
4 G-79	56,70	06,0	19,60	3,92	4,06	0,08	2,18	0,70	1,13	6,17	0,17	2,93	98,54
3 6-104	60,34	06,0	18,84	2,96	3,90	70,0	1,75	06,0	2,16	4,66	0,20	2,90	83,58
2 G-53	71,41	9,0	13,41	2,15	2,45	90,0	1,19	96,0	2,17	3,20	0,17	2,00	99,72
1 G-100	65,23	06,0	16,43	2,60	3,17	0,07	1,74	1,12	3,10	3,30	0,21	1,94	99,81
AMOSTRAS ÓXIDOS	SiO2	TiO ₂	AR203	Fe ₂ 0 ₃	FeO	MnO	MgO	CaD	Na ₂ O	K20	P ₂ O ₅	H20	TOTAL

(Continua)

(Continuação) Tabela 1

ÓXIDOS	9 G-119	10 G-118	11 G-117	12 G-31.	MÉDIA	13 VII-33	14 IX-33	15 IX-67	16 VII-41
SiO ₂	62,78	59,40	99,56	70,90	65,66	60,91	64.02	64,11	61,64
Ti02	0,87	0,70	1,12	0,70	0,84	0,89	1,22	0,88	0,87
AR203	17,90	14,10	17,55	14,04	15,89	18,43	17,36	18,45	16,36
F ₂ D ₃	3,04	0,50	0,24	00,00	0,94	7,56	8,17	7,18	7,70
FeO	4,19	5,50	1,96	4,51	4,04	:	:	:	:
MnO	0,02	0,13	0,00	00,00	0,03	0,10	0,11	0,07	0,16
MgO	7,31	4,80	1,18	1,96	2,31	3,05	2,29	2,15	3,29
CaO	0,15	4,73	0,06	0,07	1,25	1,63	1,17	99,0	2,71
NazO	0,13	1,14	0,08	0,17	0,38	1,97	2,63	1,51	2,88
K20	4,05	2,70	2,94	2,90	3,14	5,26	4,29	4,83	3,28
P205	0,16	0,16	90,0	0,02	0,10	0,21	0,13	0,13	0,19
H20	5,73	4,30	7,91	4,60	5,40	:	:	:	÷
TOTAL	100,31	98,16	101,76	28,82	99,98	100,01	101,39	28,88	99,08

g a 32 ardósia-filitos - Formação Couto Magalhães 13, 14, 15 e 16 amostras analisadas por Silva (1980). Fe₂O₃ como ferro * Exceto a amostra 8 1 a 6 mica xistos, 7 e 8 filitos da Formação Pequizeiro total. OBS:

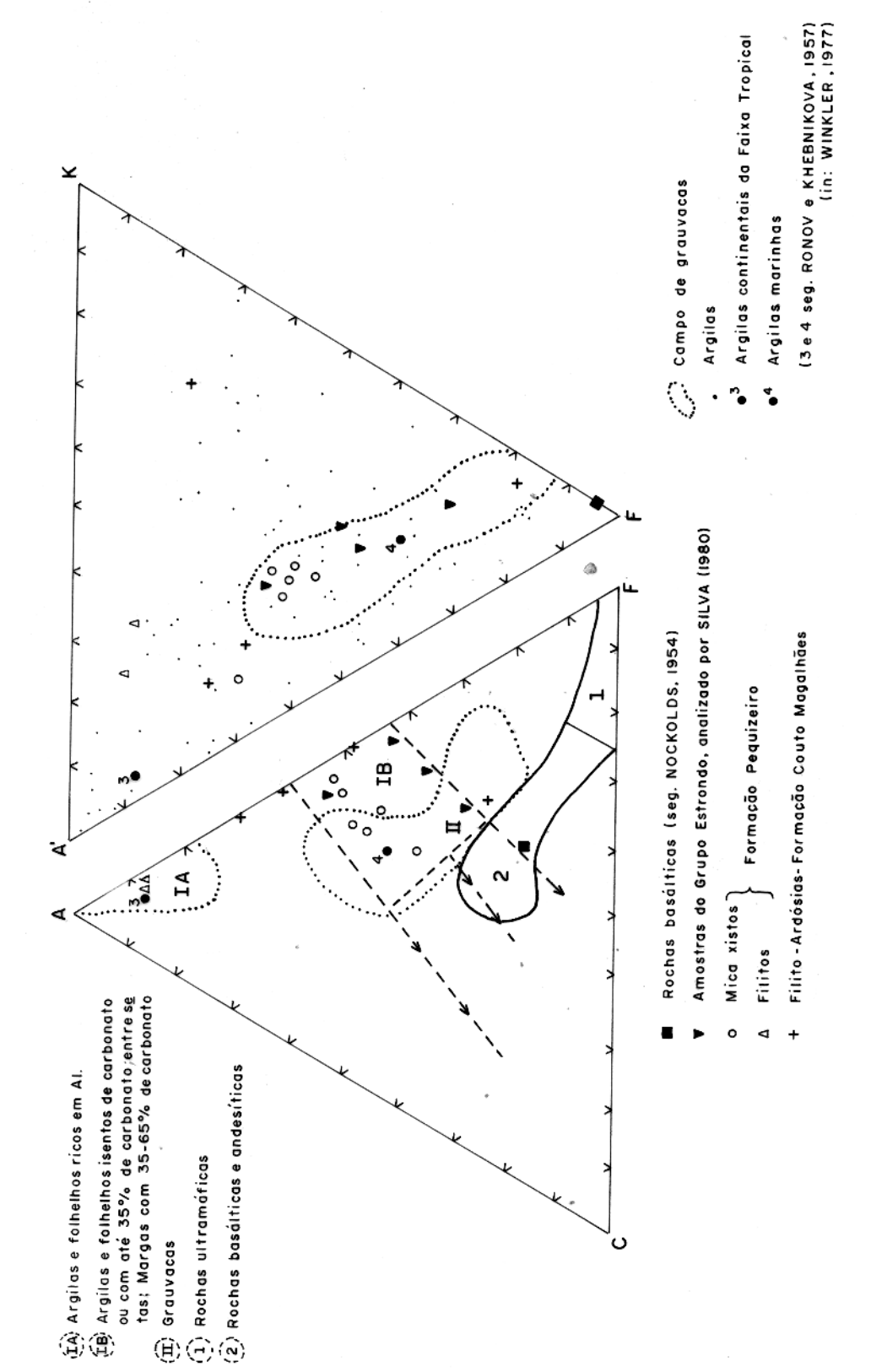


Figura 28 - Metamorfitos do Grupo Tocantins (Tabela 1) projetados em diagramas ACF e A'KF.

5.2 Metaultramafitos

Quatorze amostras foram analisadas (tabela 2) e estão representadas em diagramas ACF e A'KF (fig. 29), incluindo tipos litológicos diferentes mas, intimamente associados no campo, quais sejam: serpentinitos maciços (com feições ígneas reliquiares ou não); talcoxistos e esteatitos; actinolititos e clorititos. Estes três últimos grupos litológicos são claramente meta mórficos, com foliações bem desenvolvidas e ocorrem em faixas mais ou menos concordantes, formando um zoneamento litológico em torno dos núcleos serpentiníticos, dispondo-se grosseiramente nessa ordem para as bordas, com passagens de um litotipo para ou tro. Aspecto semelhante foi reconhecido nos corpos serpentiníticos de Roxbury, Vermont por Jahns (1967).

No diagrama ACF (fig. 29) duas amostras ocupam o campo das rochas ultramáficas (c.f. Winkler, 1976), enquanto as demais se situam ao longo da linha \overline{AF} e, geralmente próximas ao vértice \overline{F} , devido a seus teores muito baixos de calcio e elevados em magnésio. Apesar de ocuparem um campo bem definido, verificam-se variações gradativas definindo certos agrupamentos composicionais. Ao longo da linha \overline{AF} projetam-se as seguintes rochas, em ordem decrescente do valor de \overline{F} :

- a) Serpentinitos quatro amostras $(F \gg 95)$;
- b) talco xisto e esteatito três amostras;
- cl serpentinitos mais ricos em alumínio duas amostras;
- d) cloritito quatro amostras,

No campo das rochas ultramáficas do diagrama ACF definido por Winkler (1976) (fig. 29), plotam um actinolitito (embora bem próximo do campo das rochas máficas)e um serpentinito com textu ra ígnea reliquear que é a amostra de serpentinito com mais ele vado teor de <u>F</u>. Para efeito de comparação foi plotado neste dia grama o hornblenda-piroxênio peridotito não metamorfisado que ocupa uma posição distinta daquela das rochas ultramáficas metamorfisadas, confirmando que os dois grupos não tem uma relação genética.

No diagrama A'KF (fig. 29) são encontradas as mesmas v<u>a</u>riações observadas no diagrama ACF e todas as amostras se proj<u>e</u> tam na margem <u>A'F</u>, devido a seus baixos teores de potássio e co<u>n</u>

Tabela 2 - Análises Químicas das Rochas Ultramáficas da área (% em peso)

8 G-88	53,70	0,02	2,20	8,70	4,42	0,10	26,00	50,0	0,01	0,02	0,01	6,83	90,08
7 G-86	55,71	0,04	2,50	2,00	2,60	0,03	27,50	0,04	0,03	0,02	0,01	6,72	100,20
6 6-85	40,73	0,02	0,70	7,63	0,87	0,04	36,86	0,04	0,03	20,0	0,01	13,28	300,25
5 G-71	46,56	0,02	78,0	59.5	1,88	90,0	34,25	0,04	0,03	0,02	0,01	9,52	99,01
4 G-69	42,38	60,03	0,94	6,22	2,45	90,0	36,61	0,47	© 0,03	0,03	0,01	12,23	101,48
3 G-81	41,22	0,02	0,80	4,28	2,64	0,04	36,87	0,10	80,0	0,02	0,01	13,08	9.9, 16.
2 G-87	56,95	0,02	0,90	2,82	6, 19	0,22	19,42	10,76	0,30	0,04	0,02	2,31	99,95
1 G-122	44,13	1,34	6,25	5,46	10,65	0,18	22,03	5,00	0,32	0,48	0,12	6,75	99,71
AMOSTRAS	SiO2	TiO ₂	AL 203	Fe ₂ 0 ³	FeO	MDO	MgO	CaO	Na ₂ O	K20	P205	H ₂ O	TOTAL
ÓXIDOS													

CONTINUA

CONTINUAÇÃO

ÓXIDOS	AMOSTRA	9 6-75	10 G-66	11 G-89	12 G-111	13 G-72	14 G-68	15 G-65	MEDIA*
	SiO ₂	51,86	32,53	37,65	. 25,20	31,50	28,50	32,18	45,05
	TiO ₂	0,02	0,95	0,78	5,13	0,21	1,56	1,06	0,62
	AL203	0,88	12,11	14,12	15,70	16,52	20,54	22,21	6,61
	Fe203	15,44	7,58	4,38	4,42	4,05	4,51	4,07	5,68
	FeO	2,45	3,04	7,92	21,00	8,50	11,28	7,70	6,14
	Mno	0,04	0,28	0,26	0,13	0,11	0,40	0,08	0,14
	MgO	25,30	32,50	26,18	15,50	27,50	23,12	21,16	24,82
	CaO	0,03	0,05	0,24	2,40	50,0	0,20	0,40	2,92
	Na 20	0,03	0,03	0,01	0,15	0,04	0,05	0,20	0,11
	K20	0,02	0,03	0,03	0,03	0,02	0,03	1,80	0,13
	P205	0,02	0,02	0,16	1,71	0,01	0,14	0,26	0,14
	H ₂ O	4,81	12,22	8,51	9,85	12,30	11,42	9,73	7,13
	TOTAL	99,90	101,34	100,24	101,22	100,81	101,75	100,85	99,49

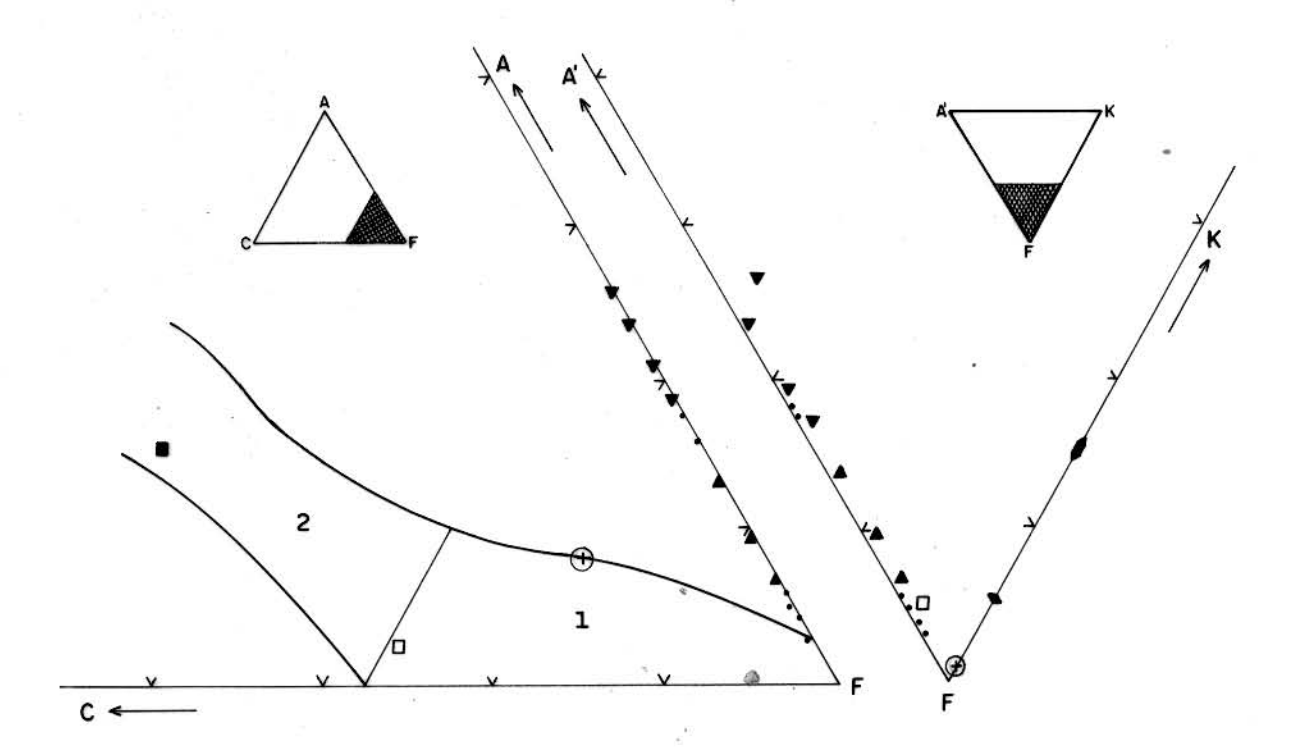
OBS: * Exceto a amostra 1

12 a 15 - Clorititos

^{2.} actinolitito

³ a 6, 10 e 11 - Serpentinitos

⁷ a 9 - Talco xisto e esteatito



- 1 ROCHAS ULTRABÁSICAS
- 2 ROCHAS BASÁLTICASE ANDESÍTICAS
- ROCHAS BASÁLTICAS (Segundo Nockold, 1945)
- TONALITOS

(in: Winkler, 1977)

ROCHAS ULTRAMÁFICAS DA TABELA 2

- . SERPENTINITOS MACIÇOS
- + HORNBLENDA PERIDOTITO
- ▲ TALCO XISTO E ESTEATITOS
- ▼ CLORITITOS
- ACTINOLITITOS

Figura 29 - Rochas ultramáficas da tabela 2 projetadas em diagramas ACF e A'KF.

teúdo, crescentes de alumínio.

Análise para elementos traços efetuadas nessas rochas (ta bela 3), indicam concentrações relativamente elevadas para níquel cromo, cobalto e vanádio. O níquel ocupa um valor médio da ordem de 1900 ppm, sendo que nos serpentinitos, esteatito e talco e alguns clorititos os teores são mais elevados, com um valor nômalo de 7414 ppm em um serpentinito. Estes valores são compará veis com os apresentados por Turekian (1978b) para rochas máficas. O cromo varia de 60 a 1500 ppm nas rochas da área. uma média de 500 ppm. Estas concentrações estão abaixo da média de rochas ultramáficas apresentadas por Shiraki (1978), podendo ser devido ao cromo estar concentrado na cromita ou resultem problemas analíticos (abertura para absorção atômica). O cobalto apresenta-se com um teor médio de 83 ppm, com variações maiores de concentração compatíveis com outras rochas ultramáficas sentadas por Turekian (1978a). A média das concentrações de vaná dio fica em torno de 106 ppm, valor esse muito próximo das chas ultramáficas do tipo alpino analisadas por Landergreen (1974). Esses valores também são compatíveis aos apresentados por (1967) para serpentinitos do tipo alpino.

Tabela 3 - Análise Química dos Elementos Traços das Rochas Ultra máficas (valores em ppml.

			· · · · · · · · · · · · · · · · · · ·	
AMOSTRAS ELEMENTO	Ni	Cr	Со	V
G-122	2.068	633	119	219
G-87	1.293	1.000	132	15
G-81	2.413	345	86	00
G-69	2.500	778	107	30
G-71	7.414	5 <i>7</i> 9	77	15
G-85	2.155	578	91	45
G-86	1.896	356	93	45
G-88	1.810	1.556	136	60
G-75	2.586	711 🌲	16	45
G-66	401	211	45	242
G-89	128	60	61	75
G-111	2.155	178	.2 8	348
G-72	1.380	56.7	99	121
G-68	457	245	59	212
G-65	155	71	<i>7</i> 3	122
MÉDIA	1.910	516	83	106

6 METAMORFISMO

6.1 Distribuição Espacial do Metamorfismo

As rochas do Grupo Tocantins, os corpos ultramáficos, for ram sujeitas a um metamorfismo de caráter regional com grau metamórfico crescente para leste, variando de um metamorfismo incipiente (anquimetamorfismo?) até a fácies xisto-verde. Essa variação do grau de metamorfismo já é do conhecimento de diversos au tores, tendo Silva (1980) delimitado regionalmente três isógradas metamórficas. Na área, distinguem-se quatro zonas metamórficas dispostas submeridianamente que são representadas como isógradas metamórficas no mapa geológico (anexo 2) tendo-se de oeste para leste:

- a) zona de rochas com aspecto predominantemente sedime \underline{n} tar;
 - b) zona da sericita;
 - c) zona da clorita e;
 - d) zona da biotita

A primeira ocorre em uma pequena faixa de poucos quilôme tros de largura na extremidade oeste. As rochas têm caracterís ticas tipicamente sedimentares com estratificações bem preserva das e pouco deformadas, sem evidências metamórficas a vista de sarmada. Estudos mais detidos são necessários para definir suas eventuais recristalizações. Gradualmente transformam-se em chas mais foliadas e, um pouco a leste de Araguacema já ocorrem intercalações de ardósias e metagrauvacas com clivagens nas bem definida e características sedimentares reconhecíveis ao microscópio, iniciando-se o aparecimento de sericita uma zona amplamente distribuída até além da metade da área, quan do as rochas vão tornando-se mais filitícas e homogêneas e a xis tosidade passa a ser bem desenvolvida. A localização precisa limite desta zona com a da clorita, a leste,é dificultada falta de uma amostragem sistemática, devido aos efeitos do intem perismo. As transições para as zonas da clorita e da biotita, são assinaladas respectivamente pelo aparecimento da clorita e tita, que definem as isógradas correspondentes nos domínios te da área. A zona da clorita, estende-se por algumas

de quilômetros e, somente no extremo leste da área constata-se a formação de biotita sem que isso implique no desaparecimento da clorita, que se distribui por quase todo o domínio da Formação Pequizeiro. Existem algumas rochas em que o aparecimento mineral se dá muito antes do seu crescimento regional, como é o caso da biotita na matriz de metagrauvaca ou leitos mais enriquecidos em clorita, parecendo um fenômeno local ligado a fatores composicionais. O próprio aparecimento de clorita definindo uma zona, pode estar condicionado também ao quimismo das rochas.

6.2 Distribuição Temporal

Dois episódios metamórficos aparentemente dentro de um nico ciclo metamórfico afetaram as rochas do Grupo Tocantins. O primeiro tem amplitude regional. Varia progressivamente no sen tido leste, indo de graus anquimetamórficos até atingir a fácies xisto-verde a leste e, é visualizado através das isógradas mórficas (anexo 2). Nos metapelitos das regiões de grau mais bai xo, a paragênese é: sericita+quartzo+pirita+turmalina±carbonato. enquanto que o grau mais elevado é caracterizado pelas paragêneses: quartzo+moscovita+magnetita; quartzo+plagioclásio+moscovita+ clo rita±carbonato+epídoto+magnetita±turmalina; quartzo+plagioclásio+ moscovita+clorita+biotita+carbonato+magnetita+epidoto+turmalina. Nos metaultramafitos encaixados nas rochas do Grupo as parageneses são definidas pelas associações talco+actinolita± antigorita; talco+actinolita±magnetita e clorita+magnetita+turma lina<u>t</u>quartzo. A íntima relação textural desses minerais e desenvolvimentos paralelos a subparalelos, formando a xistosidade, evidenciam crescimentos em um primeiro evento metamórfico (M_1) concomitante ao primeiro evento deformacional (F_1) .

O segundo evento metamórfico (M_2) é definido por uma blas tese em que houve a cristalização e recristalização, principal mente de filossilicatos. É representado pela ocorrência de moscovita, clorita e biotita, cujo crescimento está diretamente relacionado à fase F_3 de deformação. Desenvolvem-se principalmente nos filitos e xistos das regiões de grau metamórfico mais elevado. Estes minerais formam microporfiroblastos e duas gerações são reconhecidas. Uma primeira, $\sin -F_3$, forma cristais com seções retangulares, subidioblásticos e sem efeitos de deformação.

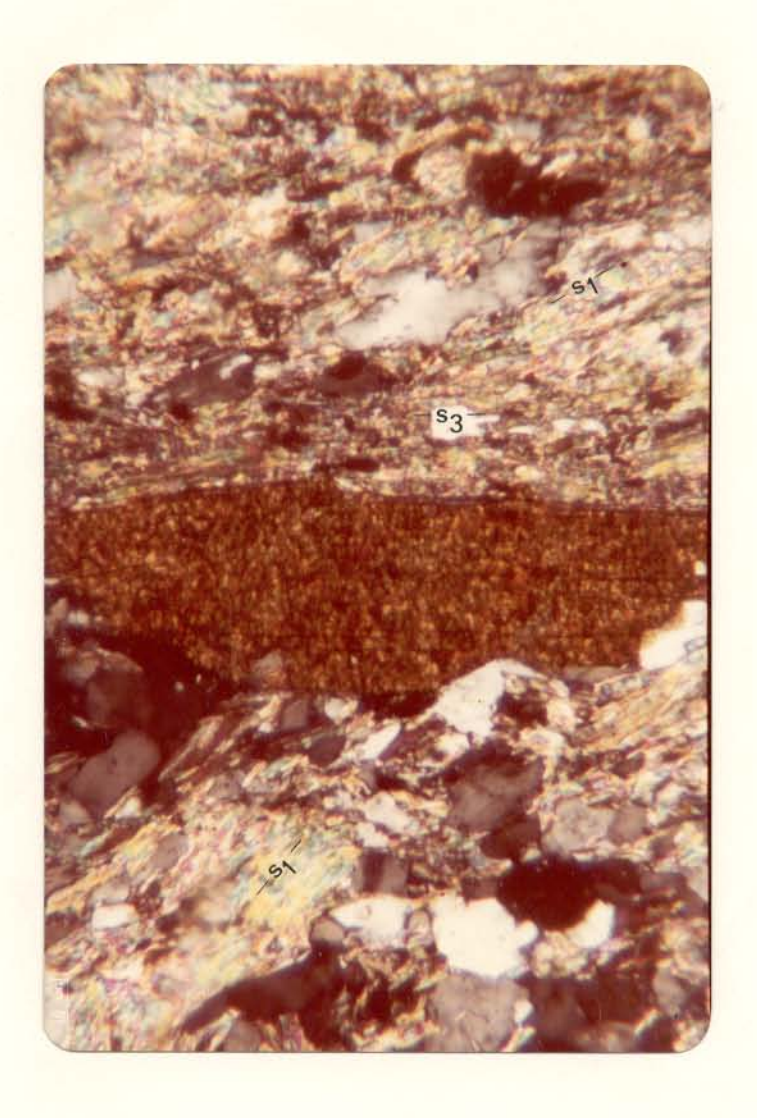


Figura 30 - Fotomicrografia. Porfiroblasto de biotita da segunda fase do metamorfismo (M_2), cristalizado em F3. Vê-se a foliação S_3 , truncando S_1 . (PFO-G-101). NX, 40 X.

mostram intercrescimento paralelo (clorita, biotita e moscovita) e, se orientam subparalelamente, definindo a clivagem de crenu lação (S_3) que trunca a xistosidade (S_1) (fig. 30). A segunda ge ração desenvolvida tardi ou pós- F_3 , é formada por microporfiro blastos de biotita. São cristais maiores, xenoblásticos com contatos irregulares, e não mostram orientação preferencial. É comum nestes porfiroblastos a presença de inúmeras inclusões de minerais da matriz com franjas de alteração (S_1), orientados para lelos à clivagem de crenulação (S_3) (figuras 31, 21 e 33).

6.3 Deformação X Metamorfismo

O estudo da deformação, permitiu compor um quadro de eventos em que se distinguiu três fases de deformação plásticas distintas e uma etapa de tectônica rúptil. Através de observações microtexturais, foram estabelecidas relações entre a cristalização dos minerais e esses eventos deformacionais.

Quartzo, plagioclásio, carbonato, moscovita e clorita, que ocorrem nas rochas da extremidade oes#e como grânulos clásticos (reliquiares), são minerais pré-metamórficos. Estes cristais são predominantemente lentiformes e elongados (fig. 10). Grânulos de quartzo dessas rochas, acham-se micro-fraturados (subgrãos) e com fortes extinção ondulante. O plagioclásio ocorre mente com "kink bands" nas suas geminações e as micas encurva das. Todas essas feições desses minerais evidenciam terem deformados e orientados em F₁, com recristalizações incipientes de vários destes. Concomitantemente a esta fase F1, desenvolveuse o metamorfismo regional (M_1) que, nas regiões de grau relati vamente mais elevado propiciou o crescimento conjunto de moscovi ta, clorita, quartzo, plagioclásio e carbonato como principais e, também epidoto e turmalina. As disposições rais desses minerais (orientação preferencial, bandeamento compo sicional e limites de grão retos) definem a xistosidade (S1) evidenciam cristalização em M1.

Magnetita e pirita iniciaram seu crescimento precocemente a F_1 , sendo definidas durante esta fase franjas de pressão, ao redor de suas formas quadradas (fig. 9), com cristalização de clorita e quartzo. Essas franjas são também desenvolvidas ao redor dos grânulos clásticos nas metagrauvacas.

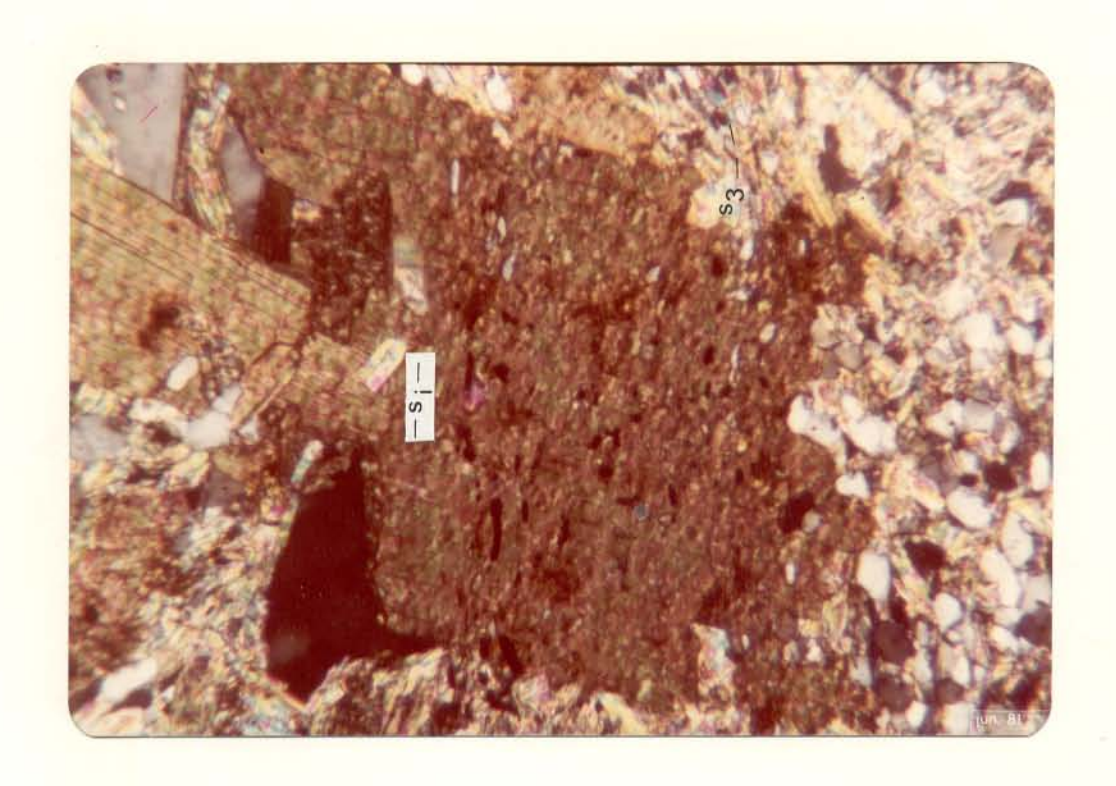


Figura 31 - Porfiroblastos de biotita da segunda fase do metamorfismo (M_2 I, pós- F_3 . Notam-se as inclusões de minerais da matriz, definindo uma foliação (S_i) para lela a S_3 . (PFO-G-32). NX, 40 X.

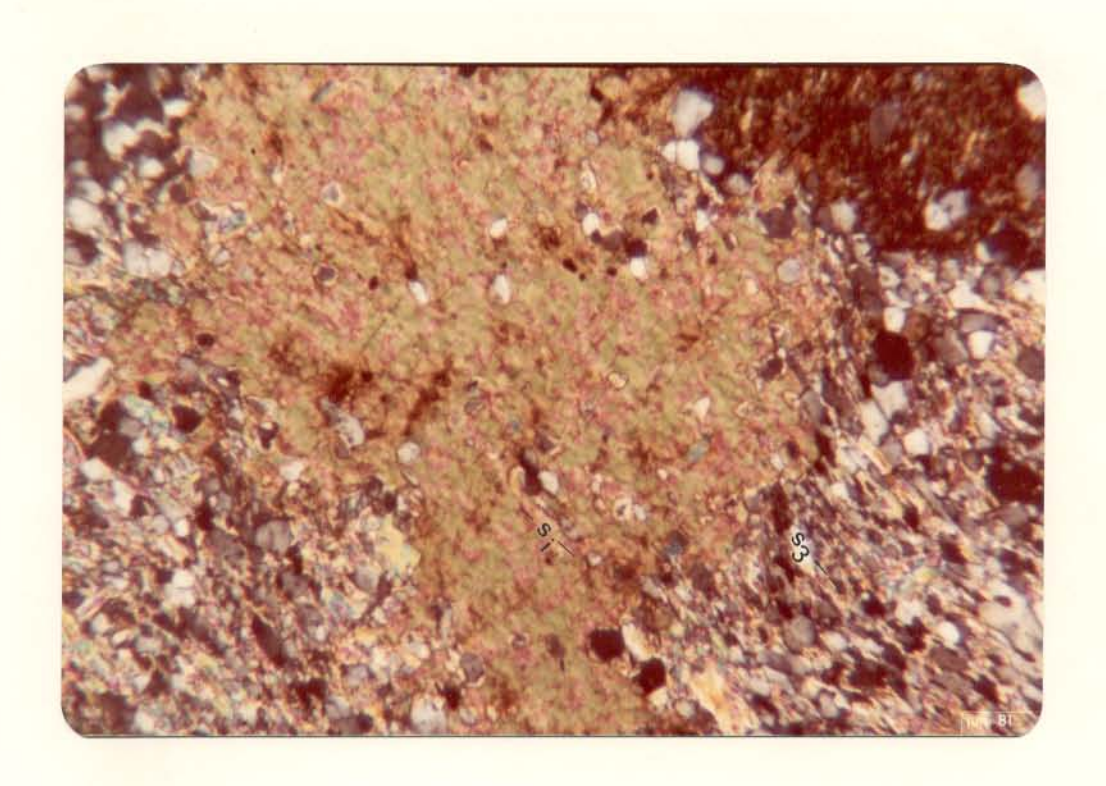


Figura 32 - Porfiroblasto mal formado de biotita da segunda fase do metamorfismo (M_2) , pós- F_3 . Notam- se inclusões de minerais da matriz levemente orientadas (S_1) paralelamente a S_3 . Algumas inclusões (rutilo?) definem franjas de alteração. (PFO-G-32). NX, 40 X.

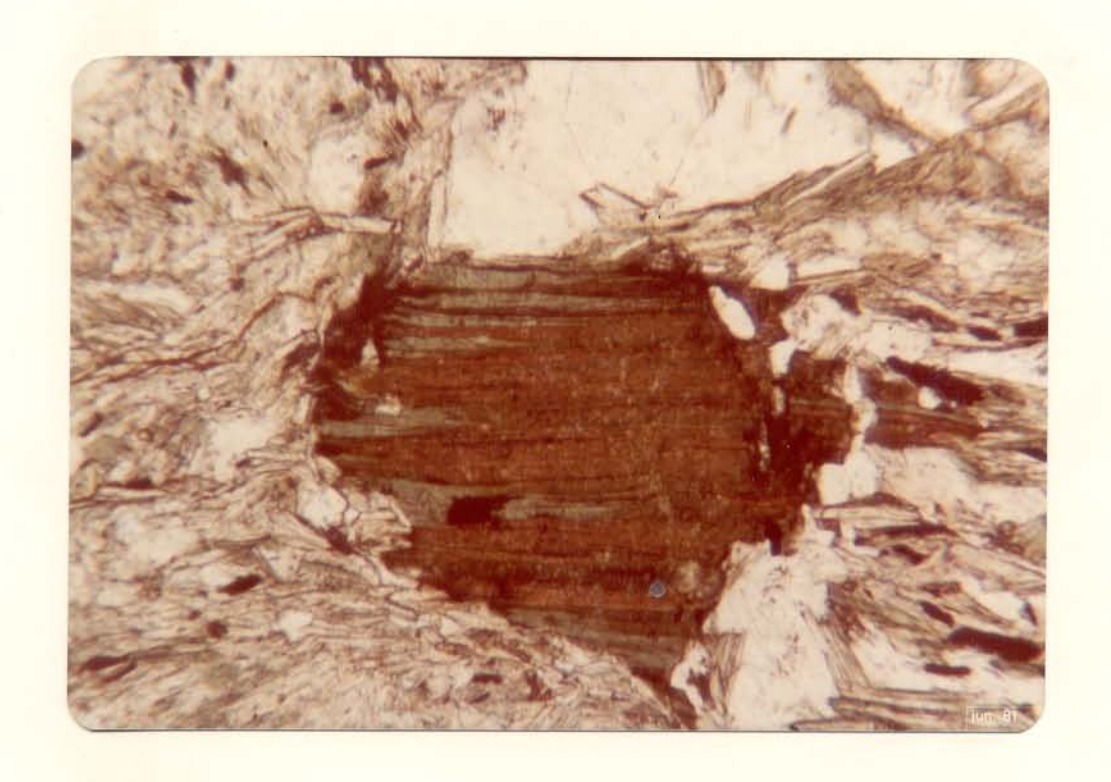


Figura 33 - Intercrescimento porfiroblástico de clorita e biotita da segunda fase do metamorfismo (M2). Intercrescimento semelhante pode ser observado na matriz en tre moscovita e clorita, representando equilíbrio no crescimento desses minerais. Observe ainda, pontos tríplices entre os cristais de quartzo. (PFO-G-105). N//, $40~\rm X$.

Todos esses minerais foram deformados em uma segunda fase (F2) em que a xistosidade foi dobrada, sem no entanto ter reconhecida qualquer e cristalização associada. Uma e deformação mais acentuada esteve, entretanto a cargo da intensa crenulação a que foram sujeitas, principalmente as rochas da Formação Pequi zeiro, na fase de deformação F3. Nesta fase, quartzo, moscovita, clorita, carbonato, plagioclásio e minerais acessórios, dos durante o metamorfismo regional (M_1) , mostram encurvamentos, "kink bands" e extînção ondulante, além de forte poligonização e recristalização, quando situados nos ápices de dobras de crenula ção (fig. 34). Um segundo episódio de metamorfismo está mente ligado a esta fase, tendo ocorrido cristalização de porfiblastos de moscovita, clorita e biotita, orientados subpara lelamente, formando a clivagem de crenulação. Nesta fase ainda recristalização de quartzo, plagioclásio e carbonatos condições de extremo equilíbrio desenvolvendo-se mosáicos blásticos com pontos tríplices.

Silva (1980) define essa blastese de filossilicatos como crescimento estático pós-F3, mas nas sochas da Formação Pequizei ro, verifica-se que moscovita, clorita e biotita iniciaram seu crescimento sin-F3, prolongando-se até a atenuação desta fase. Isso demonstrado pelo fato de que tanto as micas orientam-se sub paralelamente formando a clivagem de crenulação, truncando as foliações pretéritas, quanto dispõem-se ao, acaso, formando cristais maiores xenoblásticos, cujas inclusões internas orientam-se para lelamente à clivagem de crenulação atestando o crescimento poste rior da mica. As figuras 35 e 36 resumem esta evolução.

À uma última etapa deformacional, estão ligadas transfo<u>r</u> mações ao longo de falhas, com desenvolvimento de cizalhamentos, estrias e espelhos de falhas nos serpentinitos e, de "kink bands" na xistosidade, dobras "en chevron" e microcrenulações nos metapelitos.

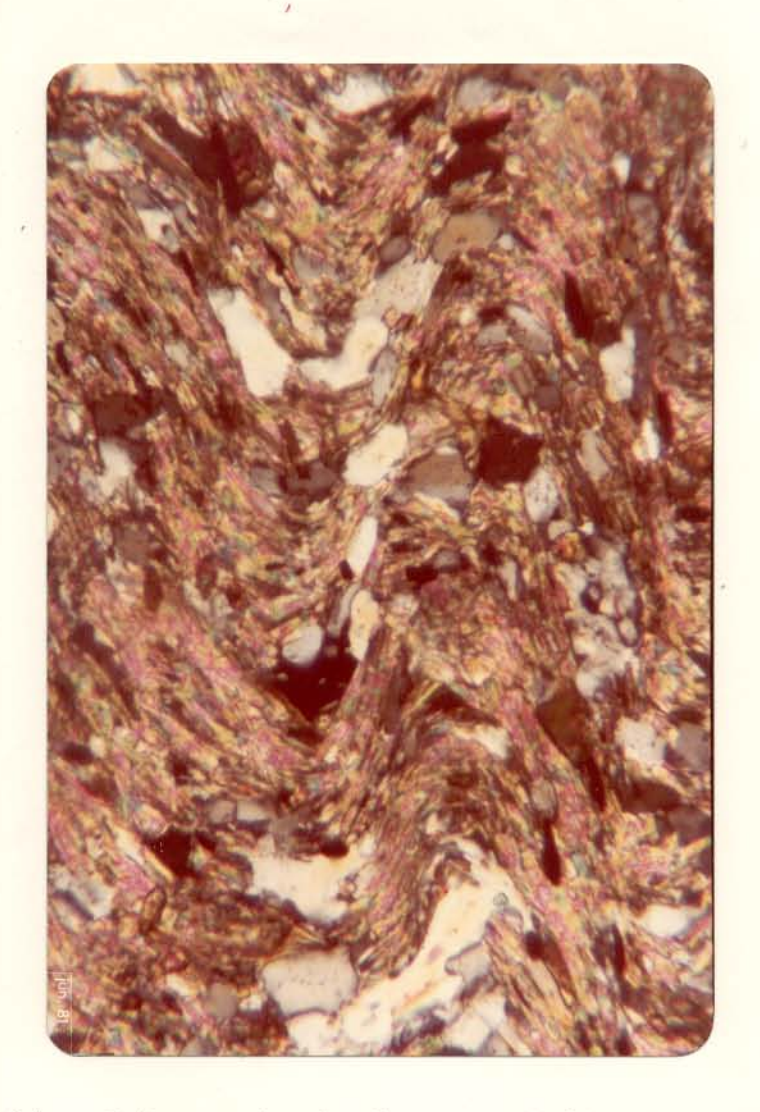
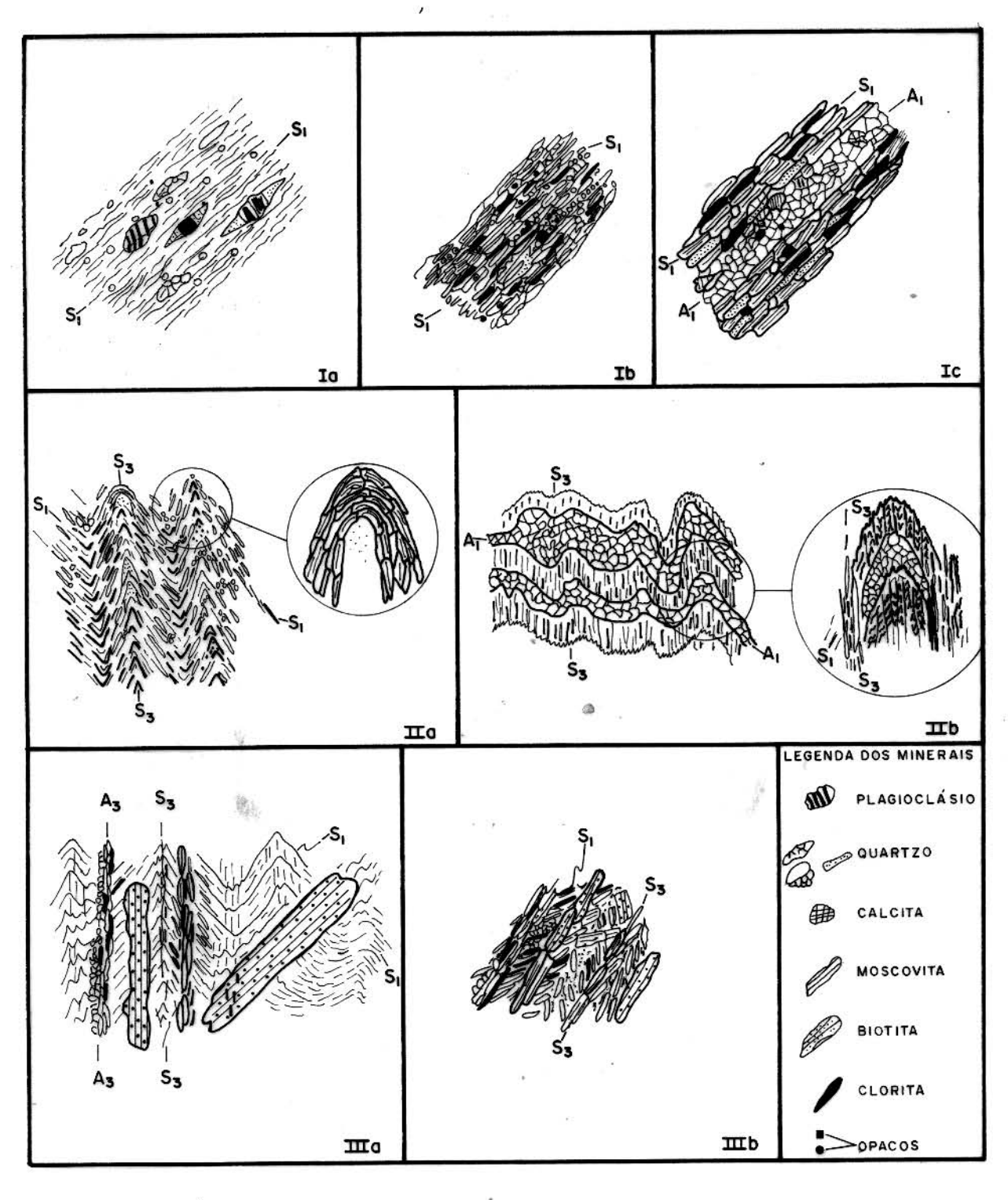


Figura 34 - Dobramento de S₁ por efeito da crenulação. Quartzo, plagioclásio, moscovita, clorita e epidoto que formam a xistosidade, acham-se dobrados, elongados, par cialmente, poligonizados e recristalizados por efeito de F₃. (PFO-G-105). NX, 40 X.



Ia. Clivagem ardosiana com clástos reliqueares

Ib. Xistosidade (S₁)

Ic. Bandeamento (A₁) paralelo a S₁

IIa. Crenulação com poligonização de micas

IIb. Reação dos diferentes leitos composicionais pelo dobramento de crenulação com desenvolvimento de clivagem de crenulação (S₃).

IIIa e IIIb. Crenulação com blastese sin e pós-F₃ de biotita.

Figura 35 - Evolução microtextural das rochas do Grupo Tocantins.

FASES D E DEFORMAÇÃO		F ₁			F ₂			F ₃		
MINERALOGIA	PRÉ	SIN	PÓS	PRÉ	SIN	PÓS	PRÉ	SIN	PÓS	
QUARTZO							-		C.	
PLAGIOCLÁSIO										
MOSCOVITA-SERICITA	-									
BIOTITA							_			
CLORITA			 _			Į.	-		-	
CARBONATO							-			
MAGNETITA			-							
PIRITA										
EPIDOTO										
TURMALINA	_									
FOLIAÇÃO DESENVOLVIDA		S ₁	A ₁		S ₂			s ₃ 4	3	
FOLIAÇÃO DEFORMADA		s _o		so	S ₁	B ₁	so	S ₁	Α1	
METAMORFISMO		М						M ₂		

M₁ - METAMORFISMO REGIONAL

M2 - BLASTESETARDIA

So - ESTRATIFICAÇÃO

S1 - XISTOSIDADE E CLIVAGEM ARDOSIANA

A1 - BANDEAMENTO

S2 - PLANO AXIAL

A3 - BANDEAMENTO

S3 - CLIVAGEM DE CRENULAÇÃO

Figura 36 - Crescimento mineral associado às fases de deformação em rochas do Grupo Tocantins.

7 DISCUSSÃO DOS RESULTADOS

a) A Formação Pequizeiro

A Formação Pequizeiro desde a sua criação, sempre foi tratada pelos vários autores que dela se ocupara, como uma unidade que engloba rochas diversas, incluindo metassedimentos, rochas vulcânicas e plutônicas. Trabalhos como os de Hasui et alii (1977), Abreu (1978), Silva (1980), Hasui et alii (1980) e Hasui et alii (1981) tratam-na sempre dando uma conotação genética magmática, a ponto de Abreu (1978), referir-se a ela como um "conjunto pluto no-vulcano-sedimentar". Na descrição litológica, os clorita xistos são as rochas dominantes, sendo seguidas por talco xistos, talco-actinolita xistos, actinolita xistos, serpentinitos e metabasitos, "essas últimas rochas derivadas possivelmente de pluto nitos máfico-ultramáficos, concordantes e talvez também de derrames" (Abreu, 1978).

As nossas observações mostram, entretanto, que os micaxis tos predominam sobre qualquer outro tipo litológico daqueles des critos e também que a natureza magmática de materiais não confirmada. Os clorita xistos ali ocorrentes (aqui denominados clorititos), ocupam tão somente as extremidades dos corpos ultra máficos, associando-se com actinolititos, talco-actinolita xis tos, talco xistos, esteatitos e serpentinitos que resultam das transformações metamórficas superimpostas a esses corpos ultramá ficos pré ou sin-tectônicos. Essas rochas foram erroneamente in cluídas na Formação Pequizeiro por vários autores, quando foi agora possível determinar que representam um magmatismo de inci dência regional. Atualmente vários desses corpos, com caracterís ticas semelhantes aos da área são encontrados no domínio do po Estrondo (Costa, 1980; M.D.Santos, A.C.Souza, N.P.Teixeira,in formação oral) e particularmente na Formação Couto Magalhães, não se podendo por isso incluir tais corpos como constituintes uma ou outra formação.

A distribuição de litologias verificada a partir dos di<u>a</u> gramas da figura 28, para as rochas da Formação Pequizeiro, mo<u>s</u> tra uma preferência por três grupos composicionais, predominando argilas e grauvacas e, um terceiro que corresponde a argilas al<u>u</u> minosas, sem contar com os calcoxistos (não analisados) que con<u>s</u>

tituiriam um outro grupo. /

As observações de campo, como as variações litológicas nessa formação, sugerem alternância de materiais de origem sedimentar e, os dados petrográfico-mineralógicos e químicos são indicativos de uma natureza pretérita sedimentar para as rochas de Formação Pequizeiro, tratando-se de uma derivação principalmente a partir de grauvacas e pelitos, não sendo portanto possível aventar importantes contribuições magmáticas nesta unidade.

b) Formação Couto Magalhães

As rochas desta formação mostram alguma diferença compos<u>i</u> cional em relação às da Formação Pequizeiro (tabela 1). Nos dia gramas da fig. 20, não há uma distribuição homogênea de suas rochas, situando-se tanto no campo das grauvacas (uma amostra) como no das argilas, ocupando regiões diferentes daquelas da Formação Pequizeiro. Contudo é indicada também uma natureza pretéri ta sedimentar para esta unidade, corroborada pela presença de metagrauvacas, metargilitos, calcários a outros metassedimentos, além de estruturas sedimentares preservadas nos metamorfitos, tratando-se de uma seqüência predominantemente metapelítica.

c) Relações de contato entre formações e estratigrafia

A discussão sobre os contatos entre as diferentes unida des que compõem o Super grupo Baixo Araguaia, remonta à de sessenta, quando Barbosa et alii (1966) advogaram a existência de uma discordância entre as unidades Araxá e Tocantins conhecidas como Estrondo e Tocantins) baseando-se no grau de tamorfismo. Silva et alii (1974) admitem a existência dessa cordância, sem no entanto caracterizá-la, citando o retrometamor fismo (que "levou a fácies filítico rochas de ambos os grupos"), como um obstáculo na sua definição, suspeitando também da tência de falhas de empurrão colocando "rochas do Araxá sobre Grupo Tocantins". Hembold (1960) não admite a existência discordância, admitindo a passagem gradual do metamorfismo, que foi reafirmado por Puty et alii (1972) e Schobbenhaus alii (1975). Hasui et alii (1977) e Abreu (1978) verificaram que, entre as formações Xambioá (Grupo Estrondo) e Pequizeiro (Grupo Tocantins) não há modificações no estilo estrutural e a

ção do metamorfismo se dá de maneira gradual, o mesmo acontecendo na passagem desta para a Formação Couto Magalhães, mas suspe<u>i</u> tam de uma discordância.

O que se nota até o presente, é que esses contatos foram muito mais assumidos do que comprovados, podendo simplesmente não existir discordância entre as unidades. Verificam-se sempre gradações de origem metamórfica sendo que os contrastes litológicos resultam dos diferentes graus de metamorfismo a que foram sujeitas as unidades e, no caso, a Formação Pequizeiro situa- se integralmente na zona de clorita e parcialmente na zona da biotita.

O empilhamento estratigráfico proposto por Abreu para o Grupo Tocantins, posicionando a Formação Couto Magalhães là oestel na porção inferior e, a Formação Pequizeiro (â superiormente é discutível. Nenhuma evidencia indica o posiciona mento superior da Formação Pequizeiro que fora assumida unicamen te por ela diferir das demais do Super grupo Baixo Araguaia base em sua suposta origem magmática. O seu grau metamórfico mais elevado deve refletir um nível estratigráfico mais baixo, a não ser que haja variações locais do gradiente geotérmico. O que não parece provável em vista da regularidade com que se as isógradas metamórficas. Costa (1980) observou a sucessão unidades cada vez mais novas a partir da braquianticlinal de Col méia para oeste e, como a polaridade metamórfica dirige-se o Craton Amazônico o mais lógico seria admitir a Formação zeiro ocupando partes mais profundas da sequência.

Analisando a composição química das rochas das formações Couto Magalhães, Pequizeiro e Xambioá (tabela 1, fig. 28) verifica-se uma certa analogia entre elas, situando-se, de um modo geral, nos campos das grauvacas e pelitos.

Em vista dos dados apresentados nos itens precedentes, o modelo desses autores mostra-se no mínimo discutível e, portan to apresentamos aqui outra possibilidade, a de que a Formação Pe quizeiro representa a unidade inferior, estando sobreposta pela Formação Couto Magalhães compondo assim o Grupo Tocantins. É pos sível ainda que entre essas duas unidades haja também variações laterais (faciológicas) à época da sedimentação que poderia in clusive, englobar parcialmente a Formação Xambioá daí a inexis tência de contatos discordantes entre essas unidades.

dl Rochas de origem magmática, pré-tectônicas, rochas as sociadas e corpos pós-tectônicos

O estudo do magmatismo ocorrente na faixa de Dobramentos Araguaia, sempre fora tratado em largos traços. Os diversos trapeta balhos, desde os tempos de Almeida (1974), nunca se detiveram nas suas particularidades, tratando os corpos ígneos de maneira generalizada englobando eventos e naturezas magmáticas distintos em um único grupo, a exemplo dos chamados corpos "básicos-ultrabásicos".

Foram reconhecidos pelo menos dois eventos magmáticos distintos na área de trabalho: um plutonismo pré-tectônico representado pelos corpos serpentiníticos e pelo menos um evento pós-tectônico de natureza máfica e ultramáfica, que possivelmente poderá ser dividido em dois: um representado por rochas ultramáficas e o outro por rochas máficas (gabros e diabásios).

- Corpos serpentiníticos do Tipo Alpino (ofiolitos)

Formam corpos lentiformes alinhado submeridianamente (à semelhança de "boudins" regionais), dispostos em zonas de falhas. Tipicamente englobam uma associação litológica em que os núcleos desses corpos são ocupados por serpentinitos maciços e cromititos, envolvidos por finas unidades transicionais definindo um zoneamento litológico.

As composições químicas e mineralógicas dessas rochas evidenciam sua natureza ultramáfica. No diagrama ACF (fig. 29) uma amostra (actinolitito) situa-se no campo das rochas ultramáficas embora aproxime-se do campo das rochas máficas, mas esse fato não indica necessariamente uma composição máfica, uma vez que seus teores elevados de MgO (19,42%) e CaO (10,76%), e baixos de $A\ell_2O_3$ e Na_2O , tendem muito mais para uma composição piroxenítica. O fato dos serpentinitos ocuparem uma posição próxima ao vértice F, nos diagramas ACF e A'KF (fig. 29), reflexo de seus altos valores de MgO e extrema pobreza em CaO e $A\ell_2O_3$, evidencia composições originalmente duníticas para a maioria das rochas dos maciços, reforçada ainda pela presença de cromititos nesses núcleos e, pelas concentrações relativamente elevadas de Ni, Cr, Co e V nos serpentinitos (tabela 3), valores esses compatíveis com os apresentados por Goles (1967).

O zongamento litológico desenvolvido nesses corpos, tem

os seguintes aspectos:

- clorititos

Formam faixas mais ou menos contínuas não ultrapassando três metros, dispostas nos limites mais externos dos maciços, em contato direto com filitos metapelíticos. São rochas bastante foliadas, concordantes estruturalmente com as encaixantes. Eles foram formados possivelmente por transformação de filitos metape líticos imediatamente adjacentes aos corpos serpentiníticos por penetração de magnésio associado aos processos de serpentiniza - ção. Seus teores elevados de $A\ell_2O_3$ (não encontrado em qualquer rocha dos maciços) e MgO, além da presença de grânulos de quarto e turmalina, favorecem esta conclusão;

- esteatitos e talco-xistos

Consistem principalmente ou totalmente de agregados de talco, orientados ou não, ocorrendo tipicamente ao longo das mar gens internas da zona cloritizada, formando leitos locais e len tes de espessuras irregulares, não superiores a três metros. Es tão separados dos clorititos por finas unidades transicionais com actinolita, gradando rápida e irregularmente para os serpentinitos do núcleo dos corpos. A semelhança composicional dos esteatitos com os serpentinitos, e a presença de pseudomorfos parciais os completos de talco a partir da antigorita, sugere que os talco xistos se formaram às expensas dos serpentinitos, como resultado de processos metamórfico-metassomáticos.

- serpentinitos

São geralmente rochas maciças e localmente acham-se muito foliadas, devido a falhamentos. Consistem dominantemente de agregados de antigorita e raramente pseudomorfos de olivina e piroxênio, e constituem o tipo litológico predominante, ocupando o interior dos corpos maiores, juntamente com cromititos. Originaram-se a partir de um magma de composição predominantemente dunítica como atestam seus teores elevados de MgO, pobreza em CaO, assim como o fato de se associarem a eles, cromititos e apresentarem remanescentes de olivina e piroxênio;

- metassilexitos

Ocupam frequentemente as cúpulas dos maciços, capeandoos. São rochas estruturalmente complexas, as vezes foliadas, co<u>r</u> tadas por veios irregulares de quartzo. São muitas vezes amôrfas com hematita e magnetita, pigmentadas por garnierita. Aparent \underline{e} mente resultam da liberação de sílica durante o processo de se \underline{r} pentinização que atuou de maneira generalizada nas rochas dos complexos.

A serpentinização envolveu a adição de considerável quantidade de água e mobilização de sílica pré ou sin-metamorfismo, tendo esta sido depositada imediatamente nas adjacências dos corpos serpentiníticos. Foram envolvidas, também, quantidades razoáveis de soluções ricas em ferro, muitas vezes depositada nos silexitos adjacentes ou nas estruturas dos pseudomorfos, constituindo impurezas não admitidas na estrutura de serpentina (Deer et alii, 1967). Foi acompanhada ainda por um metassomatismo magnesiano reduzido, influenciando composicionalmente os filitos metapelíticos encaixantes. Todos esses fenômenos parecem ter antecedido ou acompanhado o metamorfismo já que, a maioria das rochas mostram-se foliadas e, a recristalização é intensa nos silexitos, sendo poupados das deformações apenas os núcleos dos corpos maiores, como se houvessem sido protegidos das deformações.

O processo de serpentinização envolve adição de grande quantidade de água, que deve ter provindo dos sedimentos atraves sados pelo material ultramáfico. Um fato relevante, é a presença de cristais de turmalina nos clorititos e a concentração local de massas desse mineral dentro dos serpentinitos. A turmalina tem distribuição regional, aparecendo acessoriamente nas rochas do Grupo Tocantins e, como acentuam Turner e Verhoogen (1960), há concentração elevada de boro na água marinha. Isso reforça a hipótese enunciada.

A inexistência de efeitos térmicos nas encaixantes, tem sido objeto de controvérsias mas, atualmente admite-se que os corpos serpentiníticos sejam alóctonos, e que a sua localização <u>a</u> tual não representa seus locais de colocação originais. Coleman (1971) interpreta-os como massas cristalinas ou semi-cristalinas, colocadas tectonicamente. As feições gerais desses corpos permite classificá-los como do tipo Alpino mas, a sua intimidade com zonas tectonizadas, e a presença de cherts hematíticos, sugerem seus alojamentos por tectonismo, em que a Geossutura Tocantins-A raguaia (Almeida, 1974), tem papel importante no posicionamento, em vista da distribuição regional submeridiana desses corpos Não se pode descartar a possibilidade de representarem corpos ofiolí

ticos dentro dos conceitos, modernos, embora rochas máficas não tenham sido identificadas, sendo necessário portanto, de estudos mais detalhados desses diversos corpos da Faixa de Dobramento Araguaia.

- Peridotitos e rochas máficas pós-tectônicas

Representam um segundo ou mais eventos magmáticos e estão dispostos nas proximidades do Craton Amazônico, afetando termica mente as rochas da Formação Couto Magalhães. Este evento (ou <u>e</u> ventos), seria responsável pela injeção de enxame de diques de diabásio, "stocks" de gabros e intrusão de corpos maiores de hornblenda peridotitos. Verifica-se no caso desses peridotitos, a feição anômala deixada pela serra de São José isolada em linea mentos submeridianos regionais.

Não foi possível estabelecer as relações entre os corpos máficos e os peridotitos já que, apesar de ocorrerem num mesmo domínio não estão em contato. Apesar de estarem incluídos em um mesmo evento magmático ligado a processos rupturais, suspeitamos tratar-se de eventos distintos em que os peridotitos representariam eventos anteriores às injeções máficas. Datações K-Ar em gabros dessa região indicam idades Brasilianas para esse evento, sendo esta a idade mínima atribuível ao Grupo Tocantins.

8 EVOLUÇÃO GEOLÓGICA

A geologia da região compreendida entre as cidades Araguacema e Pequizeiro, teve sua evolução ligada a eventos pré-Brasilianos e Brasiliano. Possivelmente antes do Ciclo no ou mesmo durante este, na fase de sedimentação, formaram-se as rochas do Grupo Tocantins agora representadas por xistos, litos e ardósias (e provavelmente deu-se a intrusão tectônica dos corpos ultramáficos associados), compondo a parte superior do Su per grupo Baixo Araguaia. Nesta porção ocidental da Faixa de bramento Araguaia, são reconhecidos os seguintes estágios no pro cesso evolutivo: fase de sedimentação com a qual provavelmente se associou o plutonismo ultramáfico; fase tectogenética principal com deformações plásticas ligadas ao Ciclo Brasiliano ou a outro mais antigo; provavel plutonismo ultramáfico e fismo ligado ao Ciclo Brasiliano e; fases finais, com ções rígidas, magmatismo e sedimentação ligadas também ao Brasiliano.

- Sedimentação

A implantação de uma calha isolada na borda leste do Craton Amazônico, propiciou a deposição dos Grupos Estrondos nas porções orientais e Tocantins ocidentalmente. A sedimentação do Grupo Tocantins teve início com o acúmulo de material pelítico com intercalações psamo-pelíticas e localmente níveis psamíticos e finos leitos aluminosos e carbonáticos constituindo a Formação Pequizeiro. As alternâncias quartzíticas e a presença de peque nos teores de carbonato nos micaxistos e lentes de calcoxistos, indicam uma deposição em ambiente não muito profundo, com peque nas variações na energia do meio. A regularidade composicional dos tipos rochosos (vide tabela 1), sugere homogeneidade da área fonte.

A seguir, depositou-se uma seqüência predominantemente pe lítica em cujo topo, intercalam-se os seguintes materiais: calcários, grauvacas, argilitos, quartzitos e chert. O conjunto com põe a Formação Couto Magalhães. Esta sedimentação argilosa evidencia ambientes mais profundos na sedimentação, enquanto que, nos últimos períodos, devem ter variado sucessivamente as condições da energia do meio, alternando-se períodos intranqüilos e

tranquilos na sedimentação ou mesmo modificações da área fonte.

Posteriormente foram introduzidos precoce ou concomitante mente à fase de deformação-metamorfismo, uma série de corpos ul tramáficos, preferencialmente próximos ao limite atual entre as formações Pequizeiro e Couto Magalhães. Esses corpos mostram uma íntima associação com zonas de falha e cherts hematíticos e pos sivelmente, suas colocações estão relacionadas a estas descontinuidades.

- Fase tectogenética principal

Esta fase é caracterizada por deformações intensas das rochas. Num primeiro evento de deformação (F_1) , formaram-se dobras da estratificação, com o desenvolvimento de uma xistosidade pla no-axial. Dobras da xistosidade foram geradas em uma segunda fase deformacional (F_2) envolvendo também o acamamento transposto. A formação de uma crenulação penetrativa, bem evidenciada em rochas da Formação Pequizeiro, está ligada à última fase da deformação plástica (F_3) e nos estágios mais evoluídos, de uma forte clivagem de crenulação.

Durante a fase de deformação (F₁) implantou-se um metamo<u>r</u> fismo regional de grau crescente de oeste para leste onde ati<u>n</u> giu a fácies xisto-verde. Foram afetadas as rochas sedimentares assim como os corpos ultramáficos nelas encaixados. Relações entre o metamorfismo e deformação são observáveis petrograficamente. Assim é que a orientação preferencial de filossilicatos com outros minerais definindo a xistosidade, envolvendo a recristal<u>i</u> zação e cristalização de vários minerais, resultou de um processo sincrônico à fase de deformação F₁. Ao longo dos planos da clivagem de crenulação, recristalizaram uma série de minerais, haven do neo-crescimento porfiroblástico de moscovita, clorita e biot<u>i</u> ta, definindo um segundo evento do ciclo metamórfico, na fase de deformação F₃, com crescimento tardio de biotitas.

Nos corpos duníticos atuou uma série de processos, que se teriam iniciado com a serpentinização desses corpos, pela introdução de grande quantidade de água marinha aprisionada nos sedimentos, processos esses que envolveram ainda liberação de sílica e metassomatismo magnesiano localizado, em direção às encaixantes, com formação de rochas talcíticas, actinolíticas e cloríticas, ligadas aos processos metamórficos. A serpentinização te

ve início precocemente ao metamorfismo regional, prolongando- se ao longo dele, sendo um forte fator que facilitou todos os processos para a geração dos diferentes tipos litológicos.

- Fases Finais

No final do Ciclo Brasiliano, a área apresentou caracte rísticas paraplataformais, sendo atingida por uma tectônica rígida, gerando-se e reativando-se falhamentos e fraturas generalizadas, desenvolvidas principalmente nas rochas da Formação Couto Magalhães. A formação de um pequeno "graben" propiciou o acúmulo de sedimentos relacionados ã Formação Rio das Barreiras, constituída de conglomerados polimíticos, com seixos das rochas adjacentes envoltos em matriz síltico-argilosa, e siltitos predominantes no topo. Suas estratificações horizontais a subhorizon tais, além de outros fatores, sugerem uma ligação com o relevo criado por essa tectônica.

Possivelmente nesta época houve a intrusão de corpos ul tramáficos, localizados na porção oeste da área, dos quais o maior exemplo é a serra de São José. Trata-se de um plutonismo pós-tectônico. Ainda associado a este evento ruptural, houve a injeção de um enxame de diques de diabásio e gabros, ligados a um fraturamento tracional, muito bem caracterizado na porção oeste da área. Suas idades são compatíveis com o Ciclo Brasiliano, descartando-se totalmente a sua correlação com o magmatismo to leítico da Bacia do Parnaíba, de idade Jurássico-Cretácea.

Eventos geológicos finais, em tempos fanerozóicos incluem intensa erosão e intemperismo da área, laterização acentuada e deposição de sedimentos arenosos e argilosos ao longo das ma<u>r</u> gens dos rios principais que drenam a área.

9 CONCLUSÕES

A área compreendida entre as cidades de Araguacema, Pequizeiro e Conceição do Araguaia, compreende rochas Pré-Cambrianas, representadas pelo Grupo Tocantins, com as formações Pequizeiro e Couto Magalhães (metassedimentos com corpos serpentiníticos) e pela Formação Rio das Barreiras, corpos de hornblenda peridotitos e os enxames de diques de diabásio e "stocks" de gabros. As observações e tratamento dos dados obtidos em campo, permitiu com por um quadro geológico evolutivo para a área e, algumas modificações no que se é conhecido até o presente, acham-se adiante:

- al A Formação Pequizeiro representa a porção inferior do Grupo Tocantins, representando uma seqüência com predominância de argilas e grauvacas e localmente intercalações psamíticas, a luminosas e carobonáticas, atestando a ascendência sedimentar de suas rochas.
- b) A Formação Couto Magalhães, ocupa a parte superior do Grupo Tocantins constituindo uma sequência predominantemente me tapelítica, com intercalações localizadas de metapsamitos, meta grauvacas e calcários, de composição grosseiramente diferente das rochas de sequência Pequizeiro. Não é de se excluir variações faciológicas laterais entre as formações Pequizeiro e Couto Magalhães.
- cl As associações minerais e a presença das zonas da sericita, clorita e biotita, atestam um metamorfismo variando de graus anquimetamórficos até a fácies xisto-verde para as rochas do Grupo Tocantins atingindo a isógrada da biotita, com polarida de dirigida ao Craton Amazônico. O metamorfismo foi acompanhado pelos eventos deformacionais, sendo que o metamorfismo regional (M1 implantou-se sincronicamente à fase F1 de deformação, enquanto um segundo evento deste metamorfismo (M2) foi, responsável pelo crescimento blástico de filossilicatos (moscovita, clorita e biotita) e recristalizações em extremo equilíbrio, em uma fase de deformação F3. Moscovita e clorita já iniciam seu crescimento em F1, prolongando-se até F3, enquanto a biotita cresce precocemente e prolonga-se até o esmorecimento de F3.
- dl Pelo menos dois eventos magmáticos são reconhecidos da área: um pré ou sin-tectônico e outros pós-tectônicos. No prime<u>i</u> ro, de natureza dunítica, os corpos foram alojados tectonicame<u>n</u>

te, representados essencialmente por núcleos serpentiníticos e cromíticos envolvidos por actinolititos, talco xistos e esteatitos, talco-actinolita xistos e clorititos definindo um zoneamento litológico. Estão associados com cherts hematíticos e são capeados por silexitos provindos da liberação de sílica durante os processos de serpentinização. Esses corpos são característicos do tipo alpino, ou podem representar corpos oficilíticos alojados por tectonismo nas rochas do Grupo Tocantins. Não se encontrou até o presente nesses corpos, material de natureza máfica. O se gundo evento foi responsável pela intrusão de corpos peridotíticos e injeção de enxames de diques e "stocks" de diabásio e gabros em condições paraplataformais e podem representar eventos distintos.

10 REFERÊNCIAS BIBLIOGRÁFICAS

- ABREU, F.A.M. de 1978 Estratigrafia e Evolução Estrutural do Segmento Setentrional da Faixa de Dobramentos Paraguai-Araguaia; Tese de Mestrado. Belém. Núcleo de Ciências Geofísicas e Geológicas-Universidade Federal do Pará. 90 p.
- ALMEIDA, F.F.M. de 1967a Origem e Evolução da Plataforma Brasileira. Rio de Janeiro. Bol. DGM/DNPM, 241:36 p.
- ALMEIDA, F.F.M. de 1967b Observações sobre o Pré-Cambriano da Região Central de Goiás. Curitiba Bol. Paranaense Geoc<u>i</u>ências. 26:19-22.
- ALMEIDA, F.F.M. de 1974 Sistema Tectônico Marginal do Craton do Guaporé. In: Anais XXVIII Congr.Bras.Geol., Porto Alegre, SBG. 4:9-16.
- BARBOSA, O.; RAMOS, J.R.A. de; GOMES, F.A.; HEMBOLD, R. 1966 Geologia Estratigráfica, Estrutural e Econômica da
 Área do Projeto Araguaia. Rio de Janeiro. Bol. DGM/DNPM.
 19:95 p.
- BERBERT, C.O. 1970 Geologia dos Complexos Básicos-Ultrabásicos de Goiás. In: Anais XXIV Congr.Bras.Geol. Brasília, SBG. 42-50.
- COLEMAN, R.G. 1971 Petrologic and Geophisical Nature of Serpentinites. Geological Society of American Bulletin. 82: 897-917.
- CORDEIRO, A.A.C.; McCANDLESS, G.C. 1976 Maciço Ultramáf<u>i</u> co de Quatipurú. In: Anais XXIX Congr.Bras.Geol. Ouro Preto, SBG. 3:9-15.
- COSTA, J.B.S. 1980 Evolução Geológica da Região de Colméia Goiás. Tese de Mestrado. Belém. Núcleo de Ciências Geofís<u>i</u> cas e Geológicas-Universidade Federal do Pará. 71 p.
- DEER, W.A.; HOWIE, R.A.; ZUSSMAN, J. 1967 An Introduction to the Rock Forming Minerals. London, Longmans Green. 270 p.
- GOLES, G.G. 1967 Trace Elements in Ultramafic Rocks. In: Ultramafic and Related Rocks. Wyllie, P.J. New York, John Wiley. 352-362.

- GUERREIRO, M.G.S.; SILVA, J.M.R. da 1976 Projeto Guaraí-Conceição. Belém. DNPM/UFPa. 50 p.
- HASUI, Y.; ABREU, F.A.M. de; SILVA, J.M.R. da 1977 Estratigrafia da Faixa de Dobramentos Paraguai-Araguaia no Centro Norte do Brasil. São Paulo. Bol.Inst.Geoc. 8:107-188.
- HASUI, Y.; ABREU, F.A.M.de; COSTA, J.B.S.; SILVA, J.M.R. da 1981 A Faixa de Dobramentos Araguaia Estado de Conhecimento. In: 1º Simpósio de Geologia do Centro Oeste. Geologia do Pré-Cambriano. Resumos. Goiânia. SBG. 9-10.
- HASUI, Y.; HENNIES, W.T.; IWANUCH, W. 1975 Idades Potás sio-Argônio do Pré-Cambriano da Região Centro Norte do Brasil. São Paulo. Bol. Inst. Geoc., 6:77-83.
- HASUI, Y.; TASSINARI, C.C.G.; JUNIOR, O.S.; TEIXEIRA, W.; AL MEIDA, F.F.M. de; KAWASHITA, K. 1980 Datações Rb-Sr e K-Ar do Centro Norte do Brasil e seu Significado Geológico-Geotectônico. In: Anais XXXI Congr.Bras.Geologia. Camboriú-Santa Catarina, SBG. 5:2659-2676.
- HEMBOLD, D.R. 1960 In:BRASIL, Departamento Nacional da Prod<u>u</u> ção Mineral. Relatório Anual do Diretor, 1959. Rio de Jane<u>i</u> ro, DGM. 240 p.
- HOBBS, B.E.; MEANS, W.D.; WILLIAMS, P.F. 1976 An Outline of Structural Geology. New York, John Wiley. 517p.
- JAHNS, R.H. 1967 Serpentinites of the Roxbury District, Vermont. In: Ultramáfic and Related Rocks. Wyllie, P.J. New York, John Wiley. 137-160.
- LANDERGREEN, S. 1974 Vanadium. In: Handbook of Geochemistry. WEDEPOHL, K.H. Berlin. Springer-Verlag. Vol. II-2 cap. 23E p. 1-6.
- MORAES REGO, L.F. de 1933 Notas Geográficas e Geológicas sobre o Rio Tocantins. Belém. Bol. Museu Paraense Emilio Goe $\underline{1}$ di. 9:271~288.
- MIYASHIRO, A. 1975 Metamorphism and Metamorphic Belts. London, George Allen & Unwin, 492 p.
- PUTY, C.O.F.; MARTINS, R.C.; MONTALVÃO, R.M.G.; JOÃO, X.S.J.; CARREIRA, J.M.; SILVA, G.H.; NEVES, A.P.; GIFFONI, L.E.; LOURENÇO, R.S.; FRIZZO, S.J. 1972 Projeto Marabá. Relatório Integrado. Belém. CPRM/DNPM. 1:124p.

- SCHOBBENHAUS FILHO, C.; RIBEIRO, C.L.; OLIVA, L.A.; TAKANOHASHI,

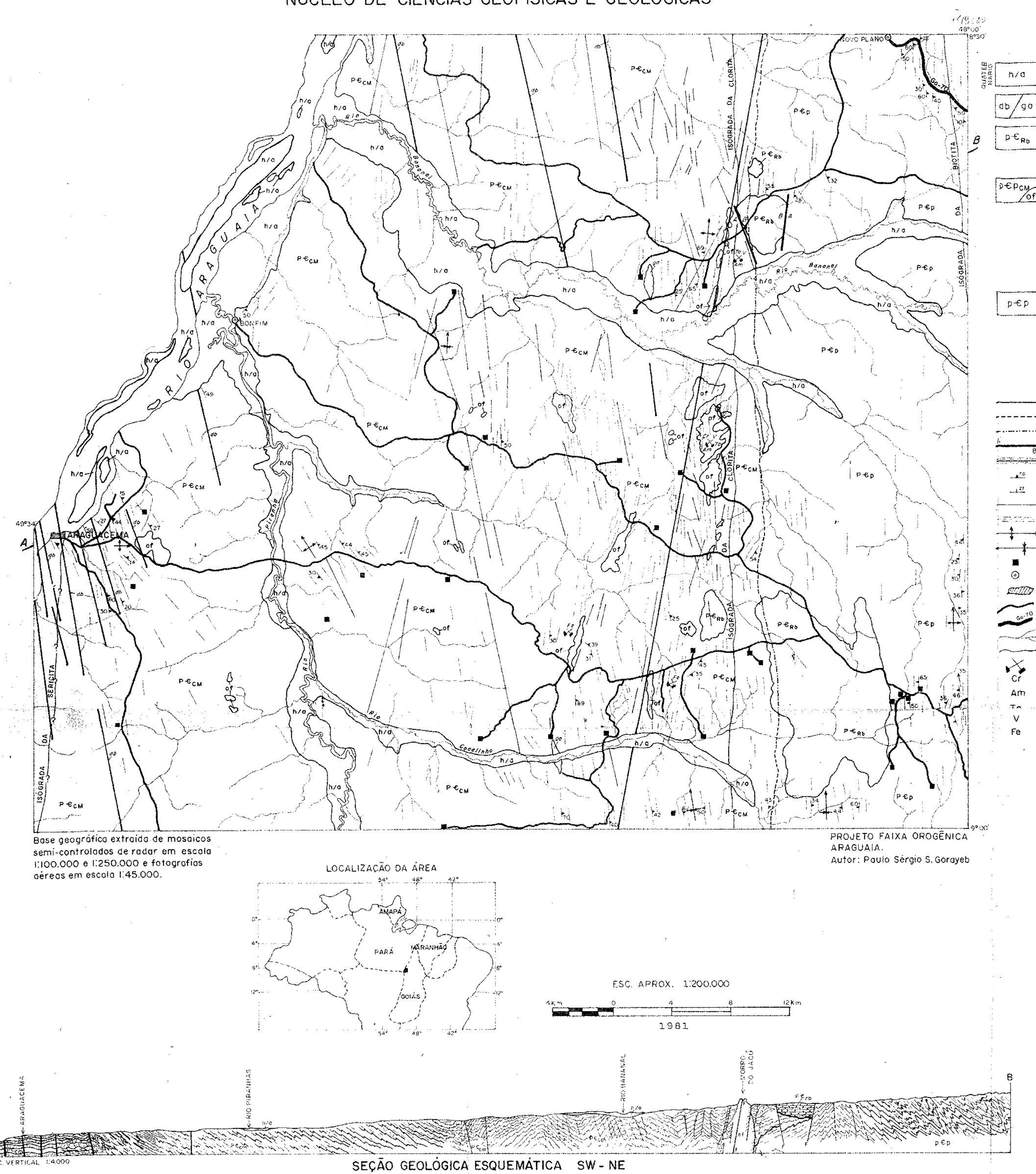
 J.T. 1975 Carta Geológica do Brasil ao Milionésimo; Fo

 lha Tocantins (SC.22). Brasília. DGM/DNPM, 58 p.
- SHIRAKI, K. 1978 CROMIUM. In: Handbook of Geochemistry WEDEPOHL, K.H. Berlin. Springer-Verlag. vol. II-3, Cap. 24E. p. 1-8.
- SILVA, J.M.R. da 1980 Metamorfismo das Rochas Pelíticas do Segmento Setentrional da Faixa Paraguai-Araguaia. Tese de Mestrado. Belém. Núcleo de Ciências Geofísicas e Geológicas Universidade Federal do Pará. 48 p.
- SILVA, G.G. da; LIMA, M.I.C. de; ANDRADE, A.R.F. de; ISSLER, R.S.; GUIMARÃES, G. 1974 Geologia da Folha SB.22 Araguaia e parte da Folha SC.22 Tocantins. In: Projeto RADAM, Rio de Janeiro, Dep.Nac.da Prod.Mineral. 4:1-143 (Parte I).
- SPRY, A. 1969 Metamorphic Textures. Oxford, Pargamon Press. 350 p.
- STRECKEISEN, A. 1973 Plutonic Rocks. Classification and nomenclature recommended by the I.Ü.G.S. Subcommission on the Systematic of Igneous Rocks. Geotimes. 18:26-30.
- STRECKEISEN, A. 1978 Classification and Nomenclature of Volcanic rocks, Lamprophyres, Carbonatites and Melilitic Rocks. N.Jb. Miner. Mh. 134:1-14.
- TROW, R.A.J.; VAZ, L.F.; SLONGO, T.T.; NAKASATO, N. 1976 Geologia da Região de Tucuruí, Baixo Tocantins, Pará. In: XXII Congr. Bras. de Geologia. Resumos. Belo Horizonte, SBG. p. 18.
- TUREKIAN, K.K. 1978a Cobalt. In: Handbook of Geochemistry WEDEPOHL, K.H. Berlin. Springer-Verlag. Vol. II-3 . cap. 27E. p. 1-2.
- TUREKIAN, K.K. 1978b NICKEL. In: Handbook of Geochemistry WEDEPOHL, K.H. Berlin. Springer-Verlag. Vol. II-3 cap.28E p. 1-4.
- TURNER, F.J.; VERHOOGEN, J. 1960 Igneous and Metamorphic Petrology. New York, McGraw Hill. 726 p.
- WILLIAMS, H.; TURNER, F.J.; GILBERT, C.M. 1970 Petrogr<u>a</u> fia, uma Introdução ao Estudo das Rochas em Seções Delgadas. São Paulo, Ed. Poligono. 445 p.

- WINKLER, H.G.F. 1976 Petrogenesis of Metamorphic Rocks.

 New York, Springer-Verlag. 320 p.
- WYLLIE, P.J. 1967 Ultramafic and Related Rocks. New York, John Wiley. 464 p.

MINISTÉRIO DA EDUCAÇÃO E CULTURA UNIVERSIDADE FEDERAL DO PARÁ NÚCLEO DE CIÊNCIAS GEOFÍSICAS E GEOLÓGICAS



LEGENDA

Aluviões: areia, cascalho e sedimentos argilosos.

Rochas Máficas: Díques de diabásio (db) e gabros (ga).

Formação Rio das Barreiros: Conglomerados polimíticos com matriz 😤 siltico-argilosa, siltitos conglomeráticos. (Seixos de quartzo de veio, quartzito, silexito ferruginosos e de filitos crenulados) e siltitos in

<u>Formação Couto Magalhães</u>: Filitos, ardósias, metargilitos, metagrau vacas, calcários subordinados, intercalações de quartzitos. Sedime<u>n</u> tos anquimetamorfizados e silexitos bem estratificados, suavemente dobrados. Dunitos serpentinizados, serpentinitos maciços e niveis lo cais de cromititos. Actinolítitos, talco-actinolíta-xistos, esteatitos e ciorititos cortados por veios de quartzo e crisotilas. Metachertaver melhados ricos em Fe, às vezes itabiríticos bem estratificados, silexi tos vermelhos, negros, rozados e esbranquicados com estruturas complexas microvenuladas (Stock Work) e cataclasitos.

Formação Pequizeiro: Micaxistos (clorita-moscovita quartzoxisto, clo rita-quartzo-moscovita-xisto com biotita, biotita-clorita - moscovita quartzo-xisto, calcita-ctorita-biotita-moscovita-quartzo-xistos inten samente crenulados, intercalações de calco xistos, magnetita - mos covita filitos e quartzitos).

Diques (db-diabásio; ga-gabro) Contato definido

Contato aproximado

Contato encoberto

Falha normal, blocos alto (A) e baixo (B) Zona de falha

Atitude de xistosidade

Atitude de camada Fraturas

Alinhamentos estruturais (foliações)

Anticlinal com caimento

Sinclinal com caimento Fazenda

Povoado

Cidade

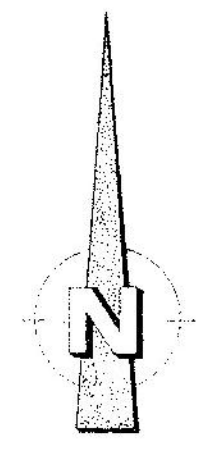
Estrada secundária Rodovia Estadual

Limite aproximado de isógradas metamórficas

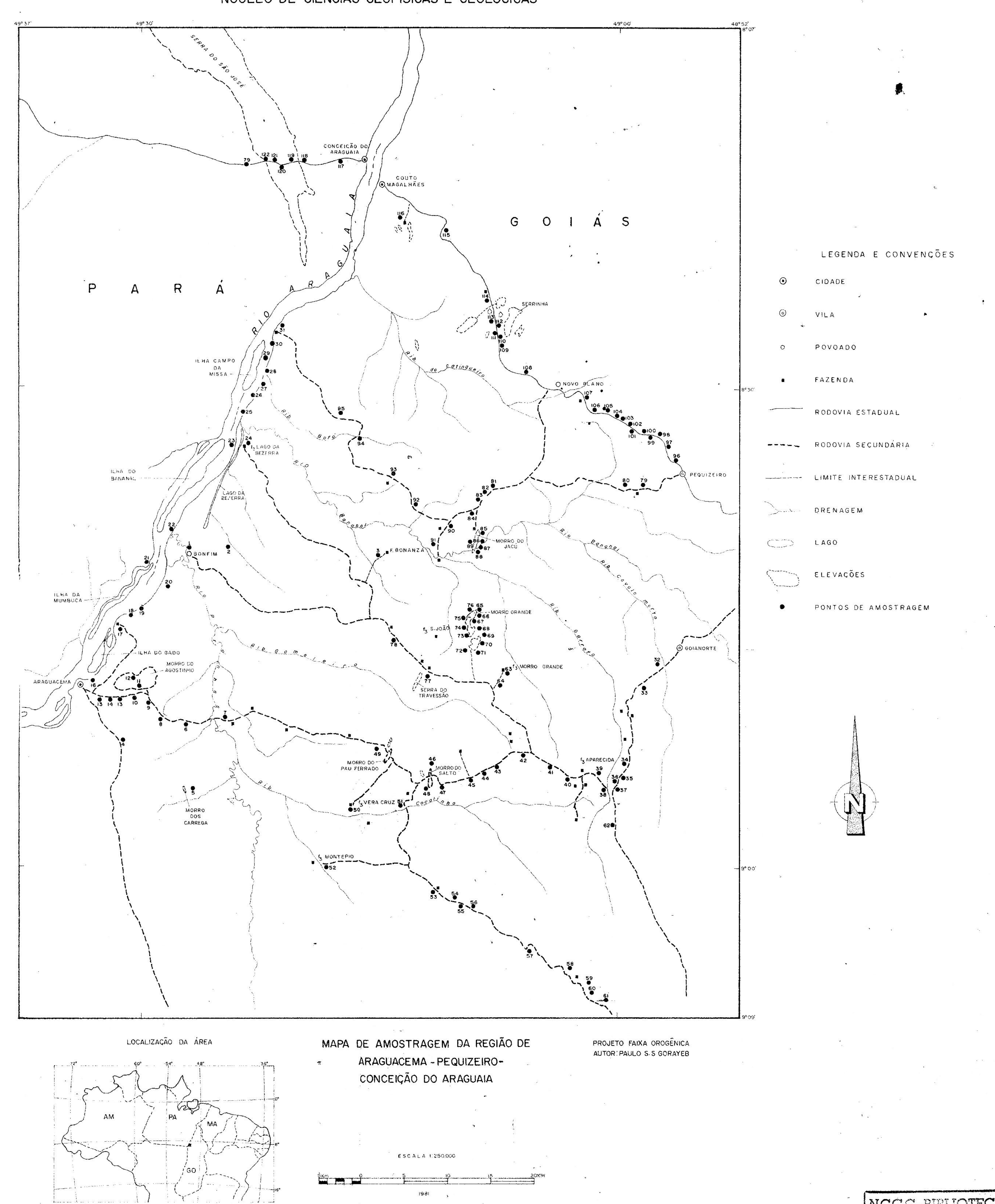
Ocorrência mineral Cromita.

Amianto crisotilico

Vanádio Hematita



MINISTÉRIO DA EDUCAÇÃO E CULTURA UNIVERSIDADE FEDERAL DO PARÁ NÚCLEO DE CIÊNCIAS GEOFÍSICAS E GEOLÓGICAS



NCGG-BIBLIOTECA